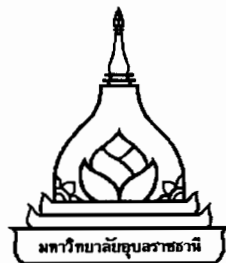


## การศึกษาการกระจายตัวของอุณหภูมิในเหล็กที่เขื่อมด้วยวินิจฉัยดาน

ปกรณ์ อุ่นไชสง

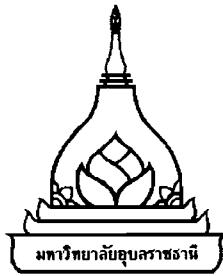
วิทยานิพนธ์นี้เป็นส่วนหนึ่งของการศึกษาตามหลักสูตรปริญญาวิศวกรรมศาสตรมหาบัณฑิต  
สาขาวิชาวิศวกรรมเครื่องกล คณะวิศวกรรมศาสตร์  
มหาวิทยาลัยอุบลราชธานี  
ปีการศึกษา 2557  
ลิขสิทธิ์เป็นของมหาวิทยาลัยอุบลราชธานี



**THE STUDY OF TEMPERATURE DISTRIBUTION IN STEEL RODS  
WELDED BY FRICTION WELDING**

**PAKORN AUNTAISONG**

**A THESIS SUBMITTED IN PARTIAL FULFILLMENT OF THE REQUIREMENTS  
FOR THE DEGREE OF MASTER OF ENGINEERING  
MAJOR IN MECHANICAL ENGINEERING  
FACULTY OF ENGINEERING  
UBON RATCHATHANI UNIVERSITY  
ACADAMIC YEAR 2014  
COPYRIGHT OF UBON RATCHATHANI UNIVERSITY**



ใบรับรองวิทยานิพนธ์  
มหาวิทยาลัยอุบลราชธานี  
ปริญญาวิศวกรรมศาสตรมหาบัณฑิต  
สาขาวิชาวิศวกรรมเครื่องกล คณะวิศวกรรมศาสตร์

เรื่อง การศึกษาการกระจายตัวของอุณหภูมิในเหล็กที่เชื่อมด้วยวิธีเสียดทาน

ผู้วิจัย นายปกรณ์ อุ่นไชสง

คณะกรรมการสอบ

ผู้ช่วยศาสตราจารย์ ดร.เกียรติพีชา ตั้งใจจิต ประธานกรรมการ

ผู้ช่วยศาสตราจารย์ เรือโท ดร.สมญา ภูนทะ กรรมการ

ผู้ช่วยศาสตราจารย์ ดร.ชวลิต ถินวงศ์พิทักษ์ กรรมการ

ดร.รังสรรค์ โสภาคะยัง กรรมการ

อาจารย์ที่ปรึกษา

(ผู้ช่วยศาสตราจารย์ เรือโท ดร.สมญา ภูนทะ)

(ผู้ช่วยศาสตราจารย์ ดร.นพ แสงเทียน)

รักษาการแทนคอมบดีคณะวิศวกรรมศาสตร์

(ผู้ช่วยศาสตราจารย์ ดร.อริยากร พงษ์รัตน์)

รักษาการแทนรองอธิการบดีฝ่ายวิชาการ

ลิขสิทธิ์ของมหาวิทยาลัยอุบลราชธานี  
ปีการศึกษา 2557

## กิตติกรรมประกาศ

ผู้ทำวิจัยขอทราบขอบพระคุณ ผู้ช่วยศาสตราจารย์ ดร. สมญา ภูนະยา ซึ่งเป็นอาจารย์ที่ปรึกษาผู้ช่วยศาสตราจารย์ ดร. ชวิต ถินวงศ์พิทักษ์ และ ดร. รัชดา โสภาคะยัง ซึ่งเป็นอาจารย์ที่ปรึกษาร่วม ที่กรุณาให้คำแนะนำ ข้อคิดเห็นต่างๆ รวมถึงสร้างกำลังใจในการทำวิทยานิพนธ์ตลอดระยะเวลาของการศึกษา ซึ่งส่งผลให้งานวิจัยนี้บรรลุผลและสำเร็จตามวัตถุประสงค์

ขอขอบพระคุณ ผู้ช่วยศาสตราจารย์ ดร. เกียรติพิชา ตั้งใจจิต อาจารย์ประจำภาควิชา วิศวกรรมเครื่องกล คณะวิศวกรรมศาสตร์ มหาวิทยาลัยขอนแก่น ซึ่งให้เกียรติเป็นประธานกรรมการสอบเค้าโครงวิทยานิพนธ์และสอบป้องกันวิทยานิพนธ์ ที่กรุณาให้คำแนะนำและความคิดเห็นที่เป็นประโยชน์ต่อวิทยานิพนธ์ ขอขอบคุณนักวิจัยทุกท่านที่มีส่วนเกี่ยวข้องกับเครื่องเชื่อมด้วยวิธีเสียง ท่านที่ใช้ในการศึกษา ซึ่งได้ร่วมกันสร้าง และปรับปรุงพัฒนาเครื่องเชื่อมให้สามารถทำงานได้อย่างมีประสิทธิภาพ ทำให้การทดลองประสบผลสำเร็จ และขอขอบคุณ นาย วีระพงษ์ จงวัฒน์ เพื่อนร่วมรุ่นวิศวกรรมเครื่องกล รุ่นที่ 19 มหาวิทยาลัยอุบลราชธานี ที่ให้คำแนะนำและให้ความรู้เกี่ยวกับการสร้างแบบจำลองทางคอมพิวเตอร์ ที่ใช้จำลองการเชื่อมด้วยวิธีเสียงด้าน

สุดท้ายนี้ ขอขอบพระคุณ ครอบครัว อุ่นไชสง ที่เป็นกำลังใจและเป็นแรงผลักดันที่สำคัญต่อการศึกษาและการทำวิทยานิพนธ์ และที่สำคัญเป็นอย่างยิ่ง ขอทราบขอบพระคุณ คุณแม่ พิไลวรรณ อุ่นไชสง ผู้ล่วงลับ ซึ่งเป็นผู้วางแผนทางและเห็นถึงความสำคัญของการศึกษา คุณประโยชน์โดยอันเกิดจากการวิจัยนี้ ย้อมเป็นผลจากความเมตตาและกรุณาของท่านทั้งหลายที่ได้กล่าวไปในเมืองต้น ผู้ทำวิจัยจึงได้ขอขอบพระคุณเป็นอย่างสูงไว้ ณ โอกาสนี้

ม.ก.น.

(นายปกรณ์ อุ่นไชสง)

ผู้ทำวิจัย

## บทคัดย่อ

ชื่อเรื่อง : การศึกษาการกระจายตัวของอุณหภูมิในเหล็กที่เชื่อมด้วยวิธีเสียดทาน

โดย : ปกรณ์ อุ่นไชสง

ชื่อปริญญา : วิศวกรรมศาสตรมหาบัณฑิต

สาขาวิชา : วิศวกรรมเครื่องกล

ประธานกรรมการที่ปรึกษา : ผู้ช่วยศาสตราจารย์ รท. ดร. สมญา ภูนทะยา

ศักดิ์สำคัญ : การกระจายตัวของอุณหภูมิ เชื่อมด้วยวิธีเสียดทาน เหล็กcarbонตัว  
ระเบียบวิธีไฟไนต์อลิเมนต์

งานวิจัยนี้มีวัตถุประสงค์เพื่อ ศึกษาการกระจายตัวของอุณหภูมิในเหล็กที่ถูกเชื่อมด้วยวิธีเสียดทาน โดยใช้การสร้างแบบจำลองทางคอมพิวเตอร์ด้วยระเบียบวิธีไฟไนต์อลิเมนต์ (FEA) ซึ่งผลที่ได้จากการทำงานของแบบจำลองจะใช้เทียบผลกับการทำทดลอง วัสดุที่ใช้ในการทดลองเป็นเหล็กcarbонตัวขนาดเส้นผ่าศูนย์กลาง 15 mm. ยาว 80 mm. ทำการทดลองวัดอุณหภูมิโดยใช้เทอร์โมคัปเปิล Type - K วัดอุณหภูมิห่างจากพื้นที่หน้าตัดเสียดทานเป็นระยะ 3 mm., 6 mm. และ 9 mm. ตามลำดับ ชิ้นงานถูกเชื่อมภายใต้เงื่อนไขที่แตกต่างกัน 3 ชุด ได้แก่  $P_1 = 20, 30$  และ  $40 \text{ bar}$ ,  $T_1 = 15, 18$  และ  $21 \text{ sec.}$ ,  $P_2 = 60 \text{ bar}$ ,  $T_2 = 5 \text{ sec.}$  และความเร็วรอบ (Speed) =  $1,300 \text{ rpm}$  เพื่อให้ผลการทำทดลองมีความหลากหลาย

ส่วนในแบบจำลอง FEA ใช้การจำลองในแบบ 2D โดยกำหนดคุณสมบัติวัสดุ และเงื่อนไขเหมือนกับการทำทดลองทุกประการ จากการเปรียบเทียบผลการทำทดลองและการทำงานของแบบจำลองพบว่า ผลจากการทดลองในช่วงแรกอุณหภูมิที่วัดได้มีค่าน้อยกว่าค่าจากแบบจำลองเนื่องจากในการทดลองเครื่องจักรต้องการเวลาในการสร้างแรงบิด แต่เมื่อเครื่องทำงานเข้าสู่สภาวะปกติ ผลการทำทดลองมีค่าใกล้เคียงกับผลการทำนายของแบบจำลอง ซึ่งอาจกล่าวได้ว่า แบบจำลอง FEA ที่ใช้สามารถทำนายการกระจายตัวของอุณหภูมิได้อย่างแม่นยำ และยังพบอีกว่า เมื่อมีการเพิ่มแรงดันเสียดทานและเวลาเสียดทานขึ้น ค่าอุณหภูมิของรอยเชื่อมจะมีการเพิ่มขึ้นอย่างรวดเร็ว

นอกจากนี้ ได้นำเอาแบบจำลองที่พัฒนาขึ้นไปใช้ในการศึกษาอิทธิพลของตัวแปรแรงดันเสียดทาน ( $P_1$ ) และอิทธิพลของตัวแปรเวลาเสียดทาน ( $T_1$ ) ที่มีผลต่อการกระจายตัวของอุณหภูมิ ผลพบว่า การเพิ่มขึ้นของค่า  $P_1$  จะส่งผลให้ชิ้นงานมีอัตราการเพิ่มขึ้นของอุณหภูมิมากขึ้น โดยจะสูงขึ้นอย่างรวดเร็วในช่วงต้นของการเชื่อม และอัตราการเพิ่มขึ้นจะลดลงเมื่ออุณหภูมิของ

ชีนงานสูงกว่า  $1,000^{\circ}\text{C}$  ส่วนในกรณี  $T_1$  พนว่า  $T_1$  มีอิทธิพลมากในกรณีของการเชื่อมที่มีค่า  $P_1$  น้อยๆ แต่อิทธิพลของ  $T_1$  จะลดลงเมื่อ  $P_1$  มีค่าสูงขึ้น

## **ABSTRACT**

TITLE : THE STUDY OF TEMPERATURE DISTRIBUTION IN STEEL RODS  
WELDED BY FRICTION WELDING

BY : PAKORN AUNTAISONG

DEGREE : MASTER OF ENGINEERING

MAJOR : MECHANICAL ENGINEERING

CHAIR : ASST. PROF. SOMYA POONAYA, Ph.D.

KEYWORDS : TEMPERATURE DISTRIBUTION / FINITE ELEMENT ANALYSIS /  
FRICTION WELDING / LOW CARBON STEEL

This research is aimed to investigate the temperature distribution in steel rods welded by friction welding technique. The study was conducted using experiment and FEA simulation. The experiment was conducted with a number of specimens made from low carbon steel rods with 15 mm diameter and 80 mm long. The temperature in rod was measured by K-type thermocouple, measure at distance of 3, 6 and 9 mm from interface. The welding conditions were  $P_1 = 20, 30$  and 40 bar,  $T_1 = 15, 18$  and 21 sec.,  $P_2 = 60$  bar,  $T_2 = 5$  sec. and rotation Speed = 1,300 rpm. The results from FEA and experiment were compared.

The result shown that at the beginning of friction process, the temperature rise from experiment is much lower than that of FEA. This is because the friction welding machine needs time to improve it's speed at the early step. After the welding process undergoes steady the result from FEA is going well with experiment. This implies that the FEA can be used to predict the temperature distribution on specimen.

In addition, the FEA was, alone, used to study further on the effect of  $P_1$  and  $T_1$ . The results indicated that  $P_1$  and  $T_1$  highly affect to the increment of temperature in specimens. The increment of  $P_1$  leads to high temperature rise in specimens, especially in the early step of welding. Considering the effect of  $T_1$ , it was found that  $T_1$  has high influence on temperature rise when  $P_1$  is low. For high value of  $P_1$  the influence of  $T_1$  seems to be reduced.

## สารบัญ

	หน้า
<b>กิตติกรรมประกาศ</b>	<b>ก</b>
<b>บทคัดย่อภาษาไทย</b>	<b>ข</b>
<b>บทคัดย่อภาษาอังกฤษ</b>	<b>ง</b>
<b>สารบัญ</b>	<b>จ</b>
<b>สารบัญตาราง</b>	<b>ช</b>
<b>สารบัญภาพ</b>	<b>ซ</b>
<b>บทที่</b>	
<b>1 บทนำ</b>	
1.1 ที่มาและความสำคัญ	1
1.2 วัตถุประสงค์การวิจัย	2
1.3 ขอบเขตการศึกษา	2
1.4 ประโยชน์ที่จะได้รับจากการศึกษา	3
<b>2 ทฤษฎีและงานวิจัยที่เกี่ยวข้อง</b>	
2.1 การเชื่อมด้วยวิธีเสียดทาน (Friction Welding)	4
2.2 หลักการเชื่อมด้วยวิธีเสียดทาน	5
2.3 อิทธิพลของตัวแปรที่มีความสัมพันธ์ต่ออุณหภูมิ	6
2.4 การเชื่อมด้วยวิธีเสียดทานในแบบต่างๆ	11
2.5 เหล็กкар์บอน (Plain carbon steels)	14
2.6 ระเบียบวิธีไฟไนต์อลิเมนต์ (Finite Element Analysis, FEA)	15
2.7 หลักการเบื้องต้นเกี่ยวกับการถ่ายเทความร้อน	17
2.8 งานวิจัยที่เกี่ยวข้อง	22
<b>3 อุปกรณ์และวิธีการทดลอง</b>	
3.1 อุปกรณ์การทดลอง	28
3.2 วิธีการทดลอง	31
3.3 การสร้างแบบจำลองโดยระเบียบวิธีไฟไนต์อลิเมนต์	40

## สารบัญ (ต่อ)

หน้า

### **4 ผลการทดลองและการอภิปรายผล**

4.1 การวิเคราะห์ผลการทดลองกับแบบจำลองโดย	
ระเบียบวิธีไฟไนต์อเลิมเนต์	49

4.2 การศึกษาอิทธิพลของตัวแปร โดยใช้แบบจำลองโดยระเบียบวิธี	
ไฟไนต์อเลิมเนต์	55

### **5 สรุปผลและข้อเสนอแนะ**

5.1 การกระจายตัวของอุณหภูมิจากการทดลองและแบบจำลอง	
โดยระเบียบวิธีไฟไนต์อเลิมเนต์	64

5.2 การศึกษาอิทธิพลของตัวแปร โดยใช้แบบจำลองโดยระเบียบวิธี	
ไฟไนต์อเลิมเนต์	65

5.3 ข้อเสนอแนะ	66
----------------	----

เอกสารอ้างอิง	67
---------------	----

ภาคผนวก	73
---------	----

ประวัติผู้วิจัย	95
-----------------	----

## สารบัญตาราง

ตารางที่	หน้า
3.1 ส่วนประกอบทางเคมีของเหล็กคาร์บอนตัว (wt %)	32
3.2 คุณสมบัติทางความร้อนของเหล็กคาร์บอนตัว	33
3.3 เงื่อนไขที่ใช้ทดสอบการวัดอุณหภูมิ	34
3.4 เงื่อนไขการทดลอง	38
3.5 สัมประสิทธิ์แรงเสียดทานที่ใช้ในแบบจำลอง	48
4.1 การเทียบผลอุณหภูมิสูงสุดของเงื่อนไขชุดที่ 1 ชุดที่ 2 และชุดที่ 3	52
4.2 เงื่อนไขแบบจำลอง	55
4.3 ค่าความแตกต่างของอุณหภูมิสูงสุด ( $^{\circ}\text{C}$ ) จากการเพิ่มตัวแปรแรงดันเสียดทาน ( $P_1$ ) และเวลาเสียดทาน ( $T_1$ )	59

## สารบัญภาพ

สภาพที่	หน้า
2.1 ความสัมพันธ์ของตัวแปรที่เกี่ยวข้องในการเขื่อมด้วยวิธีเสียดทาน	4
2.2 หลักการเขื่อมด้วยวิธีเสียดทานที่ใช้ในการศึกษา	5
2.3 (A) อิทธิพลของความเร็วรอบที่ส่งผลต่อลักษณะของรอยเขื่อม	
(B) อิทธิพลของแรงในแนวแกนที่ส่งผลต่อลักษณะของรอยเขื่อม	7
2.4 ลักษณะความชันของอุณหภูมิที่เกิดจากอิทธิพลของแรงในแนวแกน	7
2.5 ลักษณะของเกรนตรงรอบเขื่อมและบริเวณใกล้เคียงที่เกิดจากแรงดันอัด	8
2.6 อิทธิพลระหว่างความเร็วรอบกับแรงดันที่ส่งผลต่อกำลังบิด (Torque)	9
2.7 ความสัมพันธ์ระหว่างสัมประสิทธิ์แรงเสียดทานกับแรงดันในแนวแกน	10
2.8 การเขื่อมด้วยวิธีเสียดทานแบบธรรมชาติ	11
2.9 การเขื่อมด้วยวิธีเสียดทานแบบเจือย	12
2.10 การเขื่อมด้วยวิธีเสียดทานแบบกวน	13
2.11 การเขื่อมด้วยวิธีเสียดทานแบบเชิงเด่น	14
2.12 (A) แผ่นอะลูมิเนียมประกอบด้วยขอบโถงและขอบตรงรวมทั้งรูกลมสองขนาดภายใน	
(B) การวิเคราะห์ผลเฉลยบนแผ่นอะลูมิเนียมด้วยระเบียบวิธีผลต่างสืบเนื่อง (FDM)	
(C) การวิเคราะห์ผลเฉลยบนแผ่นอะลูมิเนียมด้วยระเบียบวิธีไฟไนต์เอลิเมนต์ (FEA)	16
3.1 เครื่องเขื่อมด้วยวิธีเสียดทานที่ใช้ในการทดลอง	29
3.2 เครื่องบันทึกอุณหภูมิ (Data logger) ยี่ห้อ Supcon รุ่น R 3000	30
3.3 หลักการทำงานของสายวัดอุณหภูมิ	30
3.4 สายวัดอุณหภูมิ ชนิด K-Type	31
3.5 ขนาดของเหล็กการนองตัวที่ใช้ในการทดลอง	32
3.6 ลักษณะชิ้นงานที่ผ่านการกลึงผิวน้ำสัมผัส	33
3.7 การทดสอบวิธีการวัดอุณหภูมิ	34
3.8 ผลการวัดอุณหภูมิก่อนทำการทดลองจริง (เงื่อนไขชุดที่ 1)	35
3.9 ผลการวัดอุณหภูมิก่อนทำการทดลองจริง (เงื่อนไขชุดที่ 2)	35
3.10 เจาะรูเพื่อกำหนดจุดวัดอุณหภูมิที่ระยะ 3 mm., 6 mm. และ 9 mm.	36
3.11 แนวการเจาะรูรอบชิ้นงาน (A, B และ C)	36

## สารบัญภาพ (ต่อ)

ภาพที่	หน้า
3.12 การเชื่อมต่อสายวัดอุณหภูมิกับชิ้นงาน	37
3.13 การติดตั้งชิ้นงานที่เชื่อมสายวัดอุณหภูมิเข้ากับเครื่องเชื่อมด้วยวิธีเสียดทาน	37
3.14 ชุดควบคุมเวลา (Timer)	38
3.15 ชุดควบคุมแรงดัน (Electric solenoid valve)	39
3.16 เครื่องควบคุมความเร็วอบ (Inverter)	39
3.17 การแบ่งส่วนที่แข็ง (Rigid zone) และส่วนที่เสียรูป (Plastic zone)	40
3.18 ลักษณะแรงเฉือนบริเวณส่วน Plastic zone	41
3.19 ขั้นตอนการวิเคราะห์ของซอฟแวร์ CAE	41
3.20 ลักษณะการสร้างแบบจำลองทางคอมพิวเตอร์ (CAD)	42
3.21 การกำหนดขนาดของэлемент (Element size)	43
3.22 การกำหนดจุดวัดอุณหภูมิในแบบจำลอง	44
3.23 ลักษณะการกำหนดเงื่อนไขขอบเขต (BC)	45
3.24 พฤติกรรมของแรงดันและพฤติกรรมการนำความร้อนบริเวณผิวสัมผัส	48
4.1 การเปรียบเทียบผลการกระจายตัวของอุณหภูมิโดยเงื่อนไขชุดที่ 1 : $T_1 = 15 \text{ sec.}, P_1 = 20 \text{ bar}$	51
4.2 การเปรียบเทียบผลการกระจายตัวของอุณหภูมิโดยเงื่อนไขชุดที่ 2 : $T_1 = 18 \text{ sec.}, P_1 = 30 \text{ bar}$	52
4.3 การเปรียบเทียบผลการกระจายตัวของอุณหภูมิโดยเงื่อนไขชุดที่ 3 : $T_1 = 21 \text{ sec.}, P_1 = 40 \text{ bar}$	52
4.4 การกระจายตัวของอุณหภูมิในแบบจำลองโดยเงื่อนไขชุดที่ 1 : $T_1 = 15 \text{ sec.}, P_1 = 20 \text{ bar}$	54
4.5 การกระจายตัวของอุณหภูมิในแบบจำลองโดยเงื่อนไขชุดที่ 2 : $T_1 = 18 \text{ sec.}, P_1 = 30 \text{ bar}$	55
4.6 การกระจายตัวของอุณหภูมิในแบบจำลองโดยเงื่อนไขชุดที่ 3 : $T_1 = 21 \text{ sec.}, P_1 = 40 \text{ bar}$	55
4.7 กราฟอิทธิพลของแรงดันเสียดทานที่ส่งผลต่อการกระจายตัวของอุณหภูมิ ( $T_1 = 12 \text{ sec.}$ )	57

## สารบัญภาพ (ต่อ)

ภาพที่	หน้า
4.8 ภาพอิทธิพลของแรงดันเสียดทานที่ส่งผลต่อการกระจายตัวของอุณหภูมิ ( $T_1=15$ sec.)	58
4.9 ภาพอิทธิพลของแรงดันเสียดทานที่ส่งผลต่อการกระจายตัวของอุณหภูมิ ( $T_1=18$ sec.)	58
4.10 ภาพอิทธิพลของแรงดันเสียดทานที่ส่งผลต่อการกระจายตัวของอุณหภูมิ ( $T_1=21$ sec.)	59
4.11 ภาพอิทธิพลของแรงดันเสียดทานที่ส่งผลต่อการกระจายตัวของอุณหภูมิ ( $T_1=25$ sec.)	59
4.12 ภาพอิทธิพลของเวลาเสียดทานที่ส่งผลต่อการกระจายตัวของอุณหภูมิ ( $P_1=10$ bar)	62
4.13 ภาพอิทธิพลของเวลาเสียดทานที่ส่งผลต่อการกระจายตัวของอุณหภูมิ ( $P_1=20$ bar)	62
4.14 ภาพอิทธิพลของเวลาเสียดทานที่ส่งผลต่อการกระจายตัวของอุณหภูมิ ( $P_1=30$ bar)	63
4.15 ภาพอิทธิพลของเวลาเสียดทานที่ส่งผลต่อการกระจายตัวของอุณหภูมิ ( $P_1=40$ bar)	63
4.16 ภาพอิทธิพลของเวลาเสียดทานที่ส่งผลต่อการกระจายตัวของอุณหภูมิ ( $P_1=50$ bar)	64

## บทที่ 1

### บทนำ

#### 1.1 ที่มาและความสำคัญ

ปัจจุบันภาคอุตสาหกรรมได้มีการนำเอากระบวนการเชื่อมที่มีความหลากหลายมาใช้ในกรรมวิธีการผลิต เพื่อตอบสนองต่อตลาดอุตสาหกรรมที่กำลังเติบโตมากขึ้น ได้แก่ การเชื่อมไฟฟ้า (Shield Metal Arc Welding: SMAW) การเชื่อมแก๊ส (Oxy-acetylene Gas Welding) การเชื่อมอาร์คด้วยลวดเชื่อมไส้ฟลักซ์ (Flux-cored Arc Welding) การเชื่อมอาร์คด้วยทั้งสแตน (Gas Tungsten Arc Welding) การเชื่อมอาร์คพลาสม่า (Plasma Arc Welding) การเชื่อมอาร์คคาร์บอน (Carbon Arc Welding) การเชื่อมอาร์คสตั๊ด (Stud Arc Welding) และการเชื่อมด้วยวิธีเสียดทาน (Friction Welding) เป็นต้น

การเชื่อมด้วยวิธีเสียดทาน เป็นกระบวนการเชื่อมที่อาศัยการเสียดทานระหว่างชิ้นงานสองชิ้น โดยการให้ชิ้นงานหนึ่งหมุนด้วยความเร็วคงที่ (Rotation) อีกชิ้นงานหนึ่งอยู่กับที่ (Static) จากนั้นทำการเพิ่มแรงดันให้กับชิ้นงานที่อยู่กับที่ จนทำให้ชิ้นงานทั้งสองเกิดแรงเสียดทานที่สูงมาก และเปลี่ยนเป็นพลังงานความร้อนที่ทำให้โลหะทั้งสองมีอุณหภูมิที่สูง ซึ่งอุณหภูมิจะอยู่ในช่วงที่ต่ำกว่าจุดหลอมเหลว จากนั้นจึงหยุดหมุนพร้อมทั้งใช้แรงดันอัดชิ้นงานทั้งสองให้ติดกัน การเชื่อมด้วยวิธีเสียดทานเป็นกระบวนการเชื่อมที่สามารถสร้างรอยเชื่อมใหม่มีความแข็งแรงและมีเอกลักษณ์เฉพาะในทางการเชื่อม จึงทำให้เกิดการพัฒนาและคิดค้นวิธีการเชื่อมด้วยวิธีเสียดทานใหม่มีประสิทธิภาพมากยิ่งขึ้น เพื่อตอบสนองต้องการภาคอุตสาหกรรมที่มีความหลากหลาย สำหรับการเชื่อมด้วยวิธีเสียดทาน เป็นรูปแบบการเชื่อมที่ได้รับความนิยมมากขึ้นในปัจจุบัน เนื่องจากมีข้อดีในการเชื่อมอยู่หลายประการ เช่น สามารถเชื่อมวัสดุที่ต่างชนิดกันได้ ไม่ใช้วัสดุที่เป็นตัวช่วยประสานไม่ต้องใช้ช่างฝีมือในการเชื่อม เป็นการเชื่อมที่รวดเร็ว ช่วยประหยัดเวลา เป็นมิตรต่อสิ่งแวดล้อม และให้ผลตอบแทนที่คุ้นค่าต่อการลงทุน จากข้อดีดังๆเหล่านี้ จึงทำให้เกิดงานวิจัยที่ศึกษาเกี่ยวกับการเชื่อมด้วยวิธีเสียดทานมากมายทั้งในประเทศและต่างประเทศ เพื่อที่จะพัฒนาการเชื่อมด้วยวิธีเสียดทานใหม่มีประสิทธิภาพมากยิ่งขึ้น

ในกระบวนการเชื่อมด้วยวิธีเสียดทานนั้น มีตัวแปรที่เกี่ยวข้องจำนวนมากโดยตัวแปรทุกตัวมีผลทำให้อุณหภูมิของชิ้นงานเปลี่ยนไป และส่งผลต่อโครงสร้างและคุณภาพของรอยเชื่อม โดยความร้อนจะถูกสร้างขึ้นจากแรงเสียดทานระหว่างพื้นชิ้นงานสองชิ้นซึ่งเกิดที่บริเวณพื้นที่เสียด

ทาน แล้วจะระจาดตัวจากบริเวณพื้นที่เสียดทานหรือบริเวณรอยเชื่อมออกไปตามความยาวของแท่งเหล็ก ซึ่งปัจจุบันถูกกล่าวถึงว่าเป็นปัจจัยหลักที่มีความสำคัญ เพราะการกระจายตัวของอุณหภูมิในเหล็กที่เชื่อมคือวิธีเสียดทานนั้น ส่งผลโดยตรงต่อการเปลี่ยนแปลงโครงสร้างของเหล็กที่ทำการเชื่อมดังกล่าวมาแล้ว

ปัจจุบันการนำเอาโปรแกรมคอมพิวเตอร์มาใช้จำลองพฤติกรรมและปรากฏการณ์ต่างๆ ในงานทางวิศวกรรมนั้นกำลังเป็นที่นิยมและเป็นที่แพร่หลาย ในการศึกษานี้ก็เช่นเดียวกัน คือ เป็นการนำเอาโปรแกรมมาช่วยวิเคราะห์และศึกษากระบวนการทางความร้อนที่เกิดจากการเชื่อม เนื่องจากการศึกษาพฤติกรรมทางความร้อนที่เกิดจากการเชื่อมจริงๆนั้นทำได้ยากด้วยการทดลอง จึงทำให้เกิดการนำเอาโปรแกรมที่ทันสมัยและสามารถวิเคราะห์พฤติกรรมทางความร้อนได้มาประยุกต์ใช้กับงานวิจัยนี้ จากที่กล่าวมาทั้งหมดในข้างต้น เป็นที่มาของวัตถุประสงค์งานวิจัย คือ เพื่อศึกษาการกระจายตัวของอุณหภูมิในเหล็กที่เชื่อมด้วยวิธีเสียดทาน โดยใช้โปรแกรมทางคอมพิวเตอร์ช่วยสร้างแบบจำลอง (Computer Aided Engineering, CAE) จากนั้นจะนำอะไหล่เข้าไปในตัวจำลอง (Finite Element analysis, FEA) มาช่วยในการวิเคราะห์ปัญหาและนำผลที่เกิดขึ้นในกระบวนการ โดยจะทำการทดลองวัดอุณหภูมิขณะทำการเชื่อมเพื่อทำการเปรียบเทียบผล

## 1.2 วัตถุประสงค์การวิจัย

เพื่อศึกษาการกระจายตัวของอุณหภูมิในเหล็กที่เชื่อมด้วยวิธีเสียดทาน โดยใช้การจำลองทางคอมพิวเตอร์เป็นเครื่องมือในการศึกษาและเปรียบเทียบผลกับการทดลอง

## 1.3 ขอบเขตการศึกษา

งานวิจัยนี้เป็นการศึกษาการกระจายตัวของอุณหภูมิในเหล็กที่เชื่อมด้วยวิธีเสียดทาน โดยทำการทดลองวัดอุณหภูมิขณะทำการเชื่อม และสร้างแบบจำลองโดยระบบเครื่องคอมพิวเตอร์ช่วย ใจกลางของงานวิจัย ประกอบไปด้วย

### 1.3.1 การทดลองวัดอุณหภูมิ

1.3.1.1 วัสดุที่ใช้ในการทดลอง คือ เหล็กคาร์บอนต่ำ เส้นผ่าศูนย์กลาง 15 mm. ยาว 80 mm.

1.3.1.2 วัดการกระจายตัวของอุณหภูมิในเหล็กจากการเชื่อมด้วยวิธีเสียดทาน

1.3.1.3 ทำการทดลองภายใต้เงื่อนไขการเชื่อมที่แตกต่างกัน 3 ชุด เพื่อให้เกิดแหล่งความร้อนที่แตกต่างกัน

### 1.3.2 การสร้างแบบจำลองโดยระเบียบวิธีไฟไนต์อเลิมเม้นต์

1.3.2.1 วัสดุที่ใช้ในการสร้างแบบจำลอง เป็นเหล็กคาร์บอนต่ำซึ่งมีคุณสมบัติเหมือนกัน (Homogenous) ทั้งสองชิ้นงาน

1.3.2.2 ใช้เงื่อนไขเดียวกันกับการทดลองในการทำนายผลการกระจายตัวของอุณหภูมิจากการเชื่อมด้วยวิธีเสียดทาน

## 1.4 ประโยชน์ที่จะได้รับจากการศึกษา

1.4.1 ทราบผลการกระจายตัวของอุณหภูมิในเหล็กที่เชื่อมด้วยวิธีเสียดทาน ซึ่งได้จาก การทดลองและการสร้างแบบจำลองโดยระเบียบวิธีไฟไนต์อเลิมเม้นต์

1.4.2 สามารถประยุกต์ใช้โปรแกรมทำนายผลงานประเภทอื่นๆ ได้

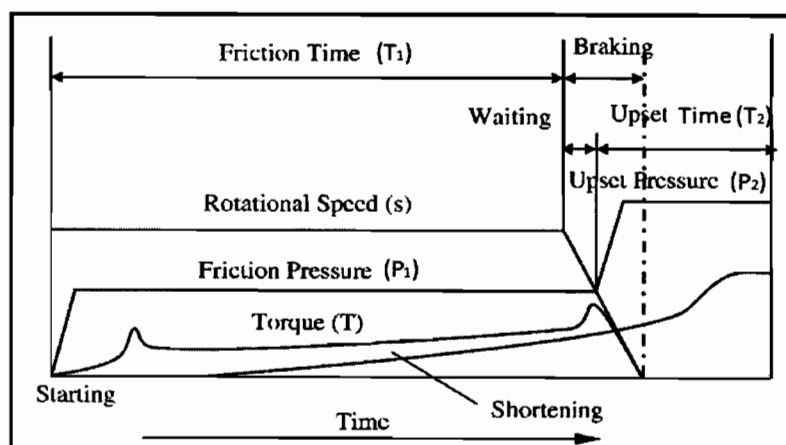
## บทที่ 2

### กลยุทธ์และงานวิจัยที่เกี่ยวข้อง

#### 2.1 การเชื่อมด้วยวิธีเสียดทาน (Friction welding)

ในกระบวนการเชื่อม โดยทั่วไปจะอาศัยความร้อนในการหลอมโลหะหรือทำให้โลหะมีอุณหภูมิที่อยู่ในสภาวะที่ต่ำกว่าจุดหลอมเหลวเพื่อเชื่อมโลหะให้ติดกัน กระบวนการดังกล่าวจะเปลี่ยนแปลงคุณสมบัติของโลหะบริเวณรอยเชื่อม จึงกล่าวได้ว่าความร้อนหรืออุณหภูมิที่เกิดขึ้นขณะทำการเชื่อมมีความสำคัญเป็นอย่างยิ่งต่อกระบวนการเชื่อมโลหะ ดังนั้นความร้อนในการเชื่อม จึงเป็นปัจจัยที่ผู้วิจัยต้องการที่จะศึกษา

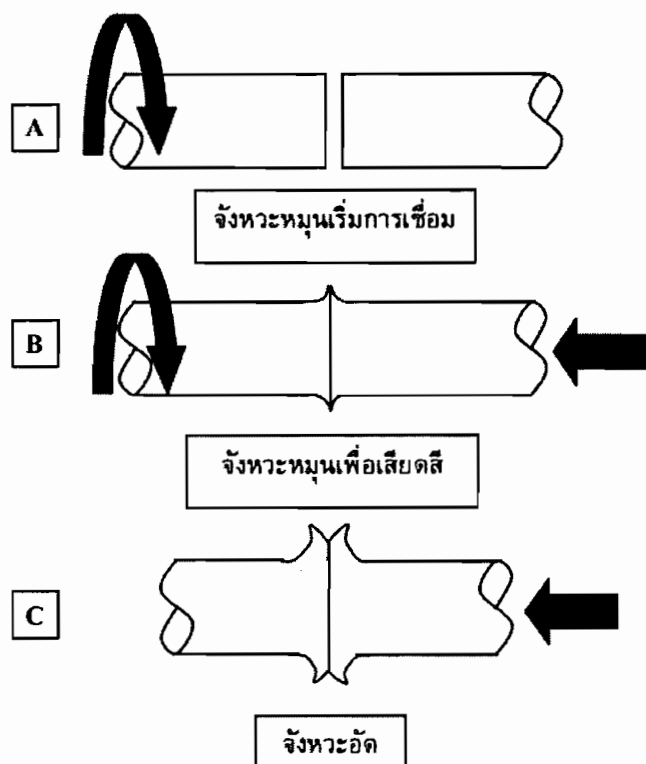
การเชื่อมด้วยวิธีเสียดทานจัดเป็นกระบวนการเชื่อมชั้นงานที่อยู่ในสภาวะกึ่งของแข็ง (Semi-solid state) คือ เป็นการเชื่อมต่อโลหะสองชั้นเข้าด้วยกัน โดยอาศัยแรงเสียดทานที่เกิดจาก การหมุนชั้นงานแล้วใช้แรงดันในแนวแกนอัดชั้นงาน ซึ่งใช้เนื้อของชั้นงานเป็นตัวประสานกันเอง วัสดุที่ใช้เชื่อมจะเป็นโลหะชนิดเดียวกัน มีคุณสมบัติที่ใกล้เคียงกันหรือต่างชนิดกันก็ได้ การเชื่อมด้วยวิธีเสียดทานนั้นจะต้องอาศัยตัวแปรที่มีความสัมพันธ์กันในการทำงาน และตัวแปรเหล่านั้นมี ความสัมพันธ์ที่ซับซ้อนอยู่พอสมควร ซึ่งได้แก่ เวลาเสียดทาน ( $T_1$ ) เวลาอัด ( $T_2$ ) แรงดันเสียดทาน ( $P_1$ ) แรงดันอัด ( $P_2$ ) ความเร็วรอบ ( $S$ ) และแรงบิด ( $T$ ) โดยทุกตัวแปรจะทำงานภายใต้เวลาที่มี ความเหมาะสม ลดความต้องซึ่งกันและกัน ดังความสัมพันธ์ที่แสดงในภาพที่ 2.1



ภาพที่ 2.1 ความสัมพันธ์ของตัวแปรในการเชื่อมด้วยวิธีเสียดทาน [39]

## 2.2 หลักการเชื่อมด้วยวิธีเสียดทาน

การเชื่อมด้วยวิธีเสียดทานเป็นกระบวนการเชื่อมที่เปลี่ยนพลังงานกลเป็นพลังงานความร้อน ซึ่งจะใช้เนื้อของวัสดุประธานกันเอง หลักการเชื่อมเบื้องต้นทำได้โดยการนำเอาโลหะสองชิ้นมาเสียดทานกันด้วยความเร็วและแรงดันในแนวแกนที่คงที่ค่าหนึ่ง โดยชิ้นงานชิ้นหนึ่งจะอยู่กับที่ อีกชิ้นหนึ่งจะหมุนด้วยความเร็วที่คงที่ (ภาพที่ 2.2 A) จากนั้นใช้แรงดันในแนวแกนดันชิ้นงานให้เสียดทานซึ่งกันและกัน ในขั้นตอนนี้ความร้อนที่เกิดจากแรงเสียดทาน จะทำให้พื้นที่หน้าตัดเกิดความร้อนและเกิดอุณหภูมิที่ต่ำกว่าจุดหลอมเหลว (ภาพที่ 2.2 B) เมื่อชิ้นงานเกิดการเสียดทานภายในช่วงเวลาที่เหมาะสม จึงทำการหยุดหมุนพร้อมทั้งให้แรงดันในแนวแกนที่มากกว่าเดิม ดันอัดชิ้นงานเข้าหากันเพื่อให้ชิ้นงานติดกัน ในช่วงนี้ชิ้นงานจะเกิดการเสียรูปอ่อน塑形 หรือการเสียรูปแบบพลาสติก (Plastic deformation) ดังแสดงในภาพที่ 2.2 C



ภาพที่ 2.2 หลักการเชื่อมด้วยวิธีเสียดทานที่ใช้ในการศึกษา [4]

## 2.3 อิทธิพลของตัวแปรที่มีความสัมพันธ์ต่ออุณหภูมิ

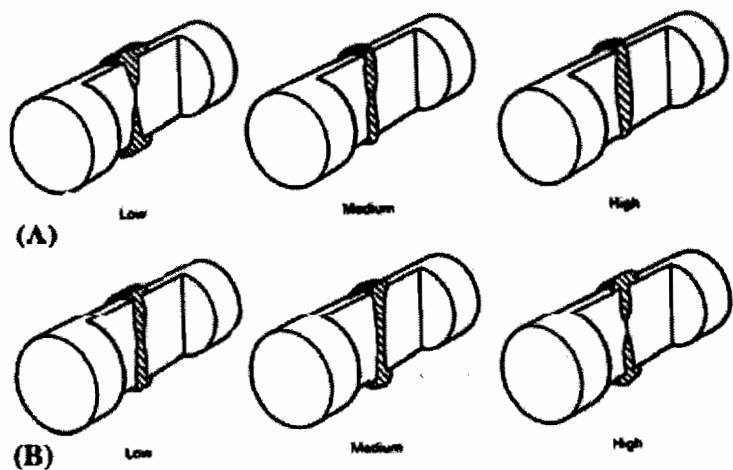
เนื่องจากอิทธิพลของตัวแปรต่างๆ ในกระบวนการเชื่อมตัวยังเสียค่าหนึ่งนี้มีความเกี่ยวข้องที่ชับช้อนกันอยู่พอสมควร ดังนั้นเพื่อให้เกิดความเข้าใจและเห็นภาพอิทธิพลของตัวแปรต่างๆ เหล่านี้ซึ่งมีความสัมพันธ์ต่ออุณหภูมิชัดเจนยิ่งขึ้น จึงได้ทำการแบ่งอิทธิพลของตัวแปรเหล่านี้ออกเป็นหัวข้อย่อย เพื่ออธิบายหน้าที่ของตัวแปรรวมถึงความสัมพันธ์ระหว่างอิทธิพลของตัวแปรเหล่านี้กับอุณหภูมิที่เกิดขึ้น ซึ่งจะได้อธิบายดังต่อไปนี้

### 2.3.1 อิทธิพลของเวลาเสียค่าหนึ่ง (T)

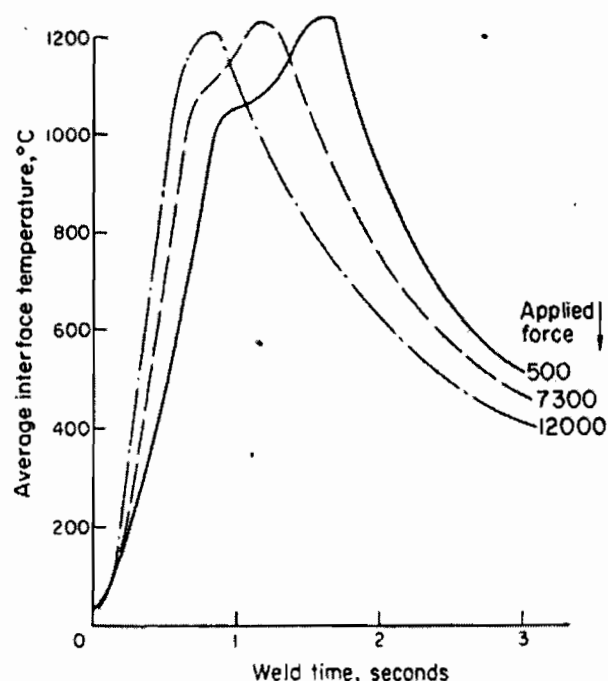
เวลาเสียค่าหนึ่งเป็นตัวแปรที่ทำหน้าที่ในช่วงเริ่มต้นของการคำนวณ มีหน้าที่ควบคุมตัวแปรแรงดันเสียค่าหนึ่งให้เสียค่าหนึ่งภายในช่วงเวลาที่เหมาะสม หรืออาจกล่าวได้ว่าเป็นตัวแปรที่กำหนดค่าภาวะอุณหภูมิที่เหมาะสมต่อการเพิ่มแรงดันอัดในแนวแกนเพื่ออัดชิ้นงานให้ติดกัน เมื่อชิ้นงานเริ่มเกิดการสัมผัสหรือเริ่มเสียค่าหนึ่ง บริเวณผิวสัมผัสจะเกิดความร้อนซึ่งจะทำให้เกิดแรงยึดเหนี่ยวระหว่างเนื้อของวัสดุ และเนื้อของวัสดุจะเกิดการเกาะติดกันเป็นชั้นบางๆ จากการเชื่อมตัวยังเสียค่าหนึ่งภายในระยะเวลาที่กำหนด จะทำให้เกิดแรงบิดและความเก็บเสื่อมลงเร็ว ผิวสัมผัสซึ่งเป็นผลมาจากการร้อนที่เกิดขึ้นสูง ในทางตรงกันข้ามถ้าเวลาในการเสียค่าหนึ่งเกินไป จะทำให้รอยเชื่อมมีความร้อนที่ไม่สม่ำเสมอ ทำให้เนื้อของวัสดุไม่เกิดการเกาะติดกันและรอยเชื่อมจะไม่มีความแข็งแรง โดยเฉพาะที่บริเวณจุดศูนย์กลาง ดังนั้นเวลาเสียค่าหนึ่งมีความสำคัญต่อการกำหนดอุณหภูมิในช่วงแรกเริ่ม เพราะเปรียบเสมือนเป็นการอุ่นชิ้นงานให้เกิดความร้อน สังเกตได้เมื่อชิ้นงานเริ่มเกิดการเสียรูป [32]

### 2.3.2 อิทธิพลของแรงดันเสียค่าหนึ่ง (P<sub>T</sub>)

แรงดันเสียค่าหนึ่งจะทำงานควบคู่กับเวลาเสียค่าหนึ่ง เป็นการทำงานในช่วงแรกของการคำนวณ ตัวแปรแรงดันเสียค่าหนึ่งจะเป็นตัวกำหนดอัตราของแรงบิดและความเก็บเสื่อมที่มีต่อพื้นที่หน้าตัดเสียค่าหนึ่ง ซึ่งถ้าให้แรงดันเสียค่าหนึ่งมากลักษณะการเสียรูปของวัสดุก็จะมากตามแรงบิดและความเก็บเสื่อมที่มีผลตามแรงดัน แต่บริเวณจุดศูนย์กลางจะไม่เกิดการเชื่อมต่อ หรือถ้าเชื่อมต่อ ก็จะเกิดการเชื่อมต่อเพียงเล็กน้อย ดังแสดงในภาพที่ 2.3 (B) นอกจากนี้ยังมีอิทธิพลต่อความชันของอุณหภูมิ กล่าวคือ เมื่อทำการเพิ่มแรงดันในแนวแกนจะส่งผลให้อุณหภูมิบริเวณพื้นที่เสียค่าหนึ่งมีความชันที่สูงขึ้นตามแรงดันในแนวแกนที่เพิ่มขึ้น ดังแสดงในภาพที่ 2.4 ดังนั้นจึงถือได้ว่าตัวแปรแรงดันเสียค่าหนึ่งมีความสำคัญต่อการกำหนดอัตราความชันของเส้นอุณหภูมิที่จะส่งผลกระทบต่อการใช้แรงดันอัดในช่วงต่อไป



ภาพที่ 2.3 (A) อิทธิพลของความเร็วอบที่ส่งผลต่อลักษณะของรอยเชื่อม  
(B) อิทธิพลของแรงในแนวแกนที่ส่งผลต่อลักษณะของรอยเชื่อม [20]



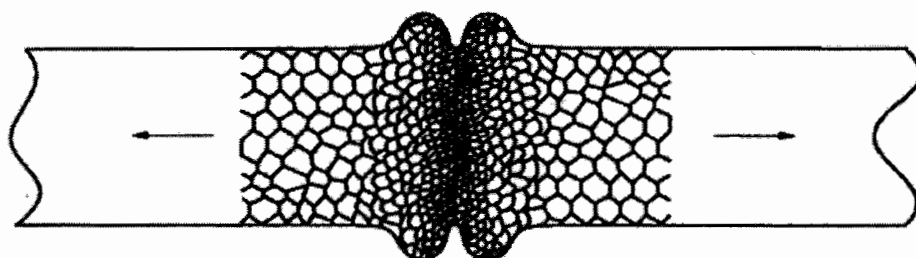
ภาพที่ 2.4 ลักษณะความชันของอุณหภูมิที่เกิดจากอิทธิพลของแรงในแนวแกน [23]

### 2.3.3 อิทธิพลของเวลาอัด ( $T_2$ )

เมื่อชิ้นงานเริ่มมีการเสียดทาน โดยแรงในแนวแกนภายในให้เวลาเสียดทานที่เหมาะสมแล้ว งานนั้นจะเป็นหน้าที่ของเวลาอัด คือ ทำหน้าที่ควบคุมแรงดันอัดในแนวแกนให้อยู่ภายในช่วงเวลาที่เหมาะสม ซึ่งการใช้เวลาและแรงดันอัดให้เหมาะสมนั้นจะต้องคำนึงถึงสภาพของอุณหภูมิในช่วงเสียดทาน เพราะถ้าชิ้นงานมีอุณหภูมิที่ไม่เพียงพอต่อการหลอมโลหะถึงแม้จะใช้เวลาอัดมากเพียงใดชิ้นงานก็จะไม่เกิดการเสียรูป แต่ถ้าหากอุณหภูมิถึงจุดที่เหมาะสม การใช้เวลาอัดชิ้นงานเพียงเล็กน้อยชิ้นงานก็จะเกิดการเสียรูป ซึ่งหมายถึง ความร้อนจากการเสียดทานทำให้ความแข็งแรงของวัสดุลดลง จากนั้นเพิ่มแรงดันในแนวแกนให้มีค่ามากกว่าความแข็งแรงของวัสดุดันอัดชิ้นงานให้ติดกันภายในช่วงเวลาที่เหมาะสม จึงถือว่ากระบวนการของเวลาอัดเสร็จสิ้นอย่างสมบูรณ์

### 2.3.4 อิทธิพลของแรงดันอัด ( $P_2$ )

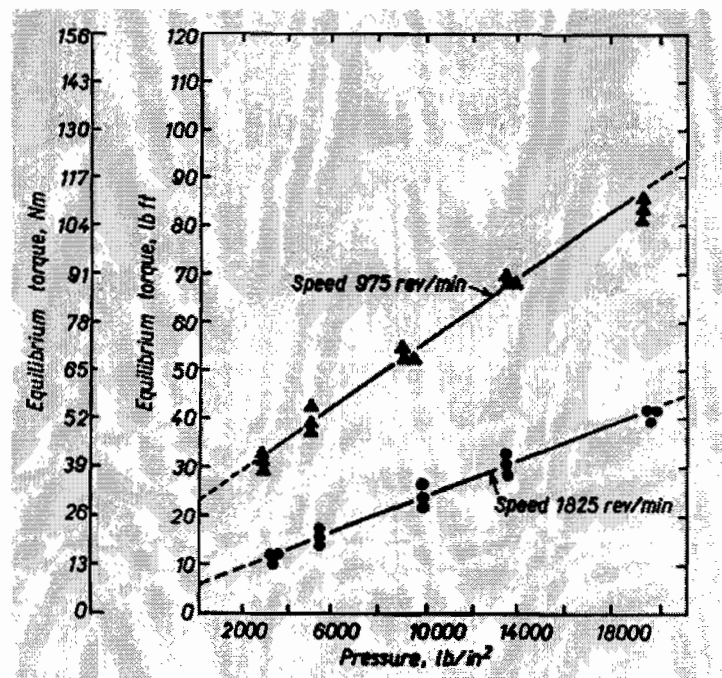
แรงดันอัด คือ กระบวนการอัดชิ้นงานให้ติดกัน ซึ่งจะใช้แรงดันที่มากกว่าเดิมดันอัดชิ้นงานให้ติดกัน สำหรับความสัมพันธ์ต่ออุณหภูมิ แรงดันอัดเป็นตัวกำหนดลักษณะความซันของอุณหภูมิบริเวณรอยเชื่อม หรือกล่าวได้ว่าการใช้แรงดันอัดเสมือนเป็นการรีดอุณหภูมิให้สูงขึ้น และอุณหภูมิจะมีการกระจายตัวออกไปตามครึ่งของการเสียรูปที่เกิดจากแรงดันนั้น งานนี้อุณหภูมิบริเวณรอยเชื่อมจะลดลงอย่างรวดเร็ว และถ้าใช้แรงดันอัดที่มากหรือเหมาะสมชิ้นงานจะเกิดการเสียรูปมาก แต่ถ้าหากแรงดันอัดมีค่าน้อย ความร้อนที่บริเวณรอยเชื่อมจะเกิดขึ้นอย่างจำกัด และจะกระทำการอัดตัวจะเกิดขึ้นเพียงเล็กน้อยหรืออาจจะไม่เกิดขึ้นเลย ซึ่งกล่าวได้ว่าคุณภาพรอยเชื่อมของโลหะทุกชนิดจะขึ้นอยู่กับตัวแปรแรงดันอัด ผลจากการใช้แรงดันเสียดทานแล้วใช้แรงดันอัดอัดให้ชิ้นงานติดกันนั้น จะทำให้โครงสร้างระดับจุลภาคของวัสดุบริเวณรอยเชื่อมนั้นเปลี่ยนไป (Recrystallisation) คือ ทำให้เกรนตรงรอยเชื่อมและบริเวณใกล้เคียงที่เกิดจากแรงดันอัด [20]



ภาพที่ 2.5 ลักษณะของเกรนตรงรอยเชื่อมและบริเวณใกล้เคียงที่เกิดจากแรงดันอัด [20]

### 2.3.5 อิทธิพลของความเร็วรอบ (S)

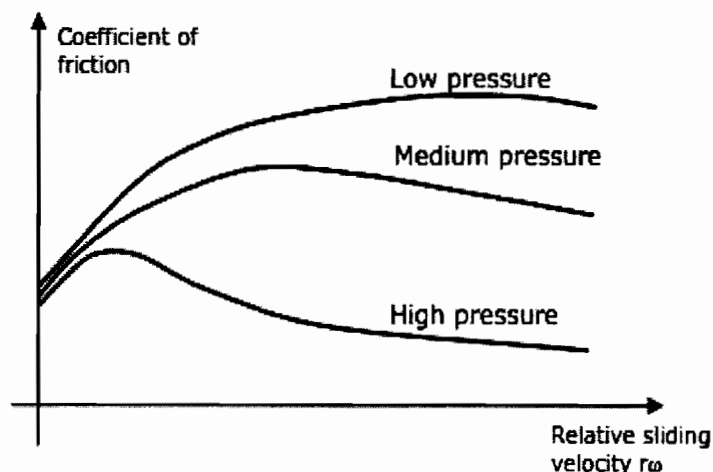
ความเร็วรอบมีความสำคัญมากต่อการควบคุมคุณภาพของรอยเชื่อม และความเร็วรอบจะมีผลอย่างมากต่อการเชื่อมวัสดุที่ต่างชนิดกัน นอกจากนี้ความเร็วรอบยังเป็นตัวแปรที่ช่วยควบคุมสารประกอบเชิงโลหะ โดยความเร็วรอบที่ต่ำจะสามารถลดสารประกอบเชิงโลหะได้ จากภาพที่ 2.6 เป็นการเชื่อมเหล็กคาร์บอนต่ำที่มีขนาดเส้นผ่าศูนย์กลาง 25 mm. ซึ่งแสดงให้เห็นว่า ความเร็วรอบที่ต่ำจะมีกำลังบิดหรือทอร์ค (Torque) สูงกว่าความเร็วรอบที่สูงเมื่อเทียบกันที่แรงดันเท่ากัน นอกจากนี้ในภาพที่ 2.3 (A) ยังแสดงให้เห็นว่า ที่ความเร็วรอบต่ำการเชื่อมจะเกิดขึ้นที่บริเวณขอบของชิ้นงานเท่านั้น และที่ความเร็วรอบสูงจะเกิดการเชื่อมกันตลอดทั้งพื้นที่หน้าตัด คือ จากจุดศูนย์กลางถึงขอบของชิ้นงาน ซึ่งหมายความว่า การใช้ความเร็วรอบที่สูงนั้นจะให้ความร้อนที่มากกว่า และอุณหภูมิเกิดการกระจายตัวทั่วทั้งพื้นที่เสียดทาน ได้ดีกว่าความเร็วรอบต่ำ



ภาพที่ 2.6 อิทธิพลระหว่างความเร็วรอบกับแรงดันที่ส่งผลต่อกำลังบิด (Torque) [22]

### 2.3.6 สัมประสิทธิ์แรงเสียดทาน

สัมประสิทธิ์แรงเสียดทานเป็นอีกตัวแปรหนึ่งที่มีความสำคัญเป็นอย่างยิ่งต่อกระบวนการเชื่อมด้วยวิธีเสียดทาน และมีผลที่เปลี่ยนแปลงตามเวลา ซึ่งสัมประสิทธิ์แรงเสียดทาน จะเกิดขึ้นที่บริเวณพื้นที่เสียดทาน แล้วส่งผลต่อปัจจัยอื่นๆ เช่น การกระจายตัวของอุณหภูมิ ลักษณะการเสียรูปของวัสดุ ความเก็บ ความเครียด เป็นต้น ซึ่งปัจจัยเหล่านี้เกิดจากแรงดันในแนวแกนและความเร็วรอบ จากภาพที่ 2.7 แสดงให้เห็นว่า ถ้าแรงดันในแนวแกนมีค่าต่ำ ชิ้นงานที่เชื่อมจะมีค่าสัมประสิทธิ์แรงเสียดทานที่ค่อนข้างสูงหรือมีความผิดมาก ชิ้นงานจะเสียรูปน้อย แต่ถ้าแรงในแนวแกนมีค่าสูงชิ้นงานที่เชื่อมจะมีค่าสัมประสิทธิ์แรงเสียดทานที่ค่อนข้างต่ำ หรือมีความผิดน้อย ชิ้นงานจะเสียรูปมาก สำหรับแรงดันสูงความผิดจะเกิดขึ้นเฉพาะในช่วงแรกของการเสียดทาน เท่านั้น หลังจากนั้นความผิดหรือค่าสัมประสิทธิ์แรงเสียดทานจะลดลง เนื่องจากความแข็งแรงของวัสดุมีค่าน้อยกว่าแรงในแนวแกน ซึ่งจะเป็นผลแปรผันกันระหว่างแรงดันสูงกับแรงดันต่ำ ส่วนแรงดันที่อยู่ในระดับกลางค่าสัมประสิทธิ์แรงเสียดทานจะอยู่ในระดับปานกลาง



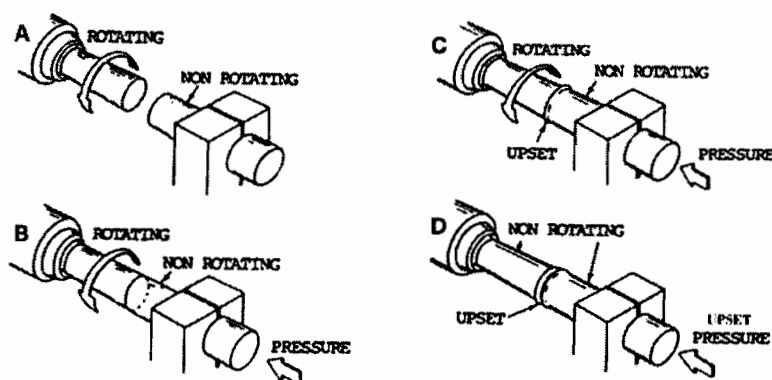
ภาพที่ 2.7 ความสัมพันธ์ระหว่างสัมประสิทธิ์แรงเสียดทานกับแรงดันในแนวแกน [17]

## 2.4 การเชื่อมด้วยวิธีเสียดทานแบบต่างๆ

การเชื่อมด้วยวิธีเสียดทานในปัจจุบันนั้นมีด้วยกันอยู่หลายแบบ ซึ่งเป็นการเชื่อมวัสดุในสภาพกึ่งของแข็ง (Semi-solid state) กล่าวคือ เป็นการเชื่อมต่อวัสดุสองชิ้นเข้าด้วยกัน โดยโลหะบริเวณรอยต่อของวัสดุทั้งสองชิ้นไม่เกิดการหลอมละลาย หรืออุณหภูมิของรอยเชื่อมต่อมีค่าต่ำกว่า จุดหลอมเหลวของวัสดุที่ทำการเชื่อม โดยปกติอยู่ต่อของวัสดุเกิดจากการเชื่อมยึดกันได้ด้วยแรงทางกลหรือแรงเสียดทาน รูปแบบการเชื่อมในสภาพกึ่งของแข็งประกอบไปด้วยการเชื่อมชนิดต่างๆ เช่น การเชื่อมด้วยการแพรว (Diffusion welding) การเชื่อมด้วยแรงต้านทานแบบจุด (Resistance spot welding) การเชื่อมด้วยอัลตร้าโซนิก (Ultrasonic welding) การเชื่อมด้วยแรงเสียดทานแบบจุด (Friction spot joint) หรือการเชื่อมด้วยแรงเสียดทานแบบวง (Friction stir welding) เป็นต้น แต่ในปัจจุบันการศึกษาและวิจัยที่เกี่ยวกับการเชื่อมด้วยวิธีเสียดทานที่แพร่หลายมีด้วยกันอยู่ 4 แบบ ดังนี้

### 2.4.1 การเชื่อมด้วยวิธีเสียดทานแบบธรรมชาติ

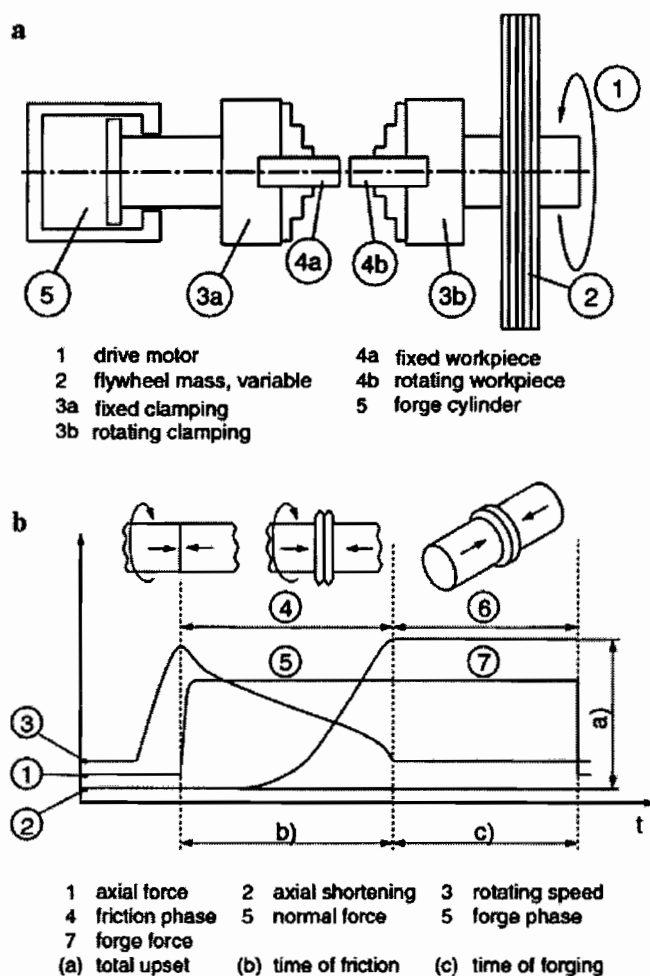
การเชื่อมด้วยวิธีเสียดทานแบบธรรมชาติ หรือ Conventional friction welding เป็นการนำเอาโลหะสองชิ้นมาเชื่อมต่อกันโดยการเสียดสีและเกิดเป็นแรงเสียดทาน โดยนำโลหะชิ้นหนึ่งมาหมุนด้วยความเร็วคงที่ แสดงในภาพที่ 2.8 (A) จากนั้นนำโลหะอีกชิ้นหนึ่งมาต้านทานการหมุนโดยเพิ่มแรงในแนวแกน ดังภาพที่ 2.8 (B) กระทำทั้งวัตถุทั้งสองเกิดการเสียดทานและเกิดความร้อนที่บริเวณผิวสัมผัส ในขั้นตอนนี้ชิ้นงานทั้งสองจะเกิดการเสียรูปเล็กน้อย ดังภาพที่ 2.8 (C) และเมื่อบริเวณพื้นผิวสัมผัสเกิดความร้อนที่เหมาะสมต่อการเชื่อมจึงหยุดการหมุนพร้อมทั้งเพิ่มแรงดันที่มากกว่าเดิม ดังภาพที่ 2.8 (D) ดันอัดชิ้นงานเข้าหากัน ในขั้นตอนนี้ชิ้นงานจะเชื่อมติดกันและเกิดการเสียรูปแบบพลาสติก (Plastic deformation)



ภาพที่ 2.8 การเชื่อมด้วยวิธีเสียดทานแบบธรรมชาติ [43]

#### 2.4.2 การเชื่อมด้วยวิธีเสียดทานแบบเนื้อย

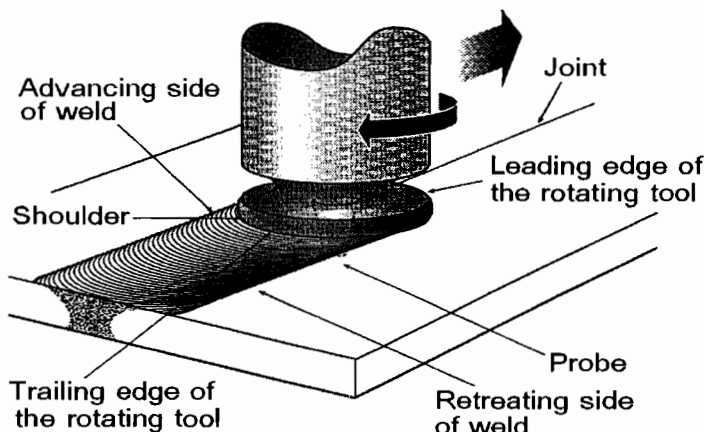
การเชื่อมด้วยวิธีเสียดทานแบบเนื้อย หรือ Inertia friction welding มีลักษณะการเชื่อมที่คล้ายกันกับการเชื่อมด้วยวิธีเสียดทานแบบธรรมชาติ แต่จะมีอุปกรณ์เพิ่มเติม คือ ล้อช่วยแรง (flywheel, 2) ทำหน้าที่รับแรงต่อจากมอเตอร์ (drive motor, 1) และทำการหมุนด้วยตัวองค์วิ่งด้วยแรงเนื้อย จากนั้นนำชิ้นงาน (fixed work piece, 4a) ที่จับยึดอยู่กับหัวจับ (fixed clamping, 3a) มาเสียดทานกับชิ้นงานที่หมุน (rotating work piece, 4b) ที่จับยึดอยู่กับหัวจับที่หมุนได้ (rotating clamping, 3b) ภายใต้แรงดันคงที่ (axial force, 5) ทำการเสียดทานที่เวลาค่าหนึ่ง (time of friction) จึงหยุดหมุนแล้วใช้แรงดันที่คงที่ดันชิ้นงานให้เขื่อมติดกัน ซึ่งอาจกล่าวได้ว่าหลักการเสียดทานแบบเนื้อยมีความคล้ายคลึงกับการเชื่อมเสียดทานแบบธรรมชาติ แต่ต่างกันที่การเสียดทานแบบเนื้อยใช้แรงดันคงที่ ไม่มีการเพิ่มแรงดันอัด หลักการเบื้องต้นแสดงในภาพที่ 2.9 a และ b



ภาพที่ 2.9 การเชื่อมด้วยแรงเสียดทานแบบเนื้อย [45]

### 2.4.3 การเชื่อมด้วยวิธีเสียดทานแบบกวน

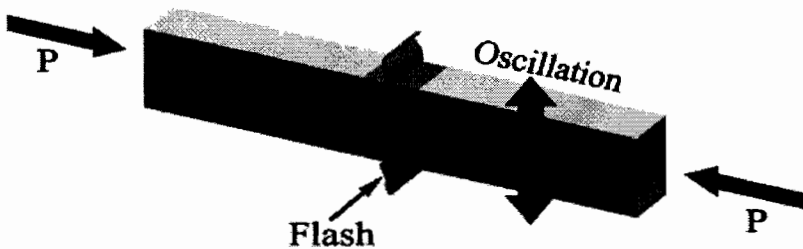
การเชื่อมด้วยวิธีเสียดทานแบบกวน หรือ Friction stir welding เป็นกระบวนการเชื่อมที่ถูกคิดค้นโดยสถาบันการเชื่อมประเทคโนโลยี TWI (The Welding Institute) เพื่อเชื่อมวัสดุที่มีความยากต่อการเชื่อมแบบหลอมละลาย (Conventional fusion welding) การเชื่อมด้วยวิธีเสียดทานแบบกวนนี้ เป็นกระบวนการเชื่อมในสภาพวัสดุของแข็งที่มีการใช้งานอย่างแพร่หลายในงานอุตสาหกรรม ลักษณะการเชื่อมโดยสังเขปแสดงไว้ในภาพที่ 2.10 ซึ่งแสดงตัวกวน (Probe or stirrer) ที่เป็นส่วนประกอบของเครื่องเชื่อม (Rotating tool) สอดลงไปในรอยต่อของวัสดุจนกระแทกหัว (Shoulder) ของเครื่องมือเชื่อมสัมผัสกับผิวของรอยต่อ ความร้อนที่เกิดจากการเสียดทานระหว่างเครื่องมือกับวัสดุ ทำให้วัสดุเกิดการอ่อนตัวอยู่ในสภาพคล้ายของไอล (Plastic fluid-like state) และเคลื่อนที่รอบตัวกวนภายใต้บ่าของเครื่องมือเชื่อม เมื่อเครื่องมือเชื่อมเริ่มเคลื่อนที่วัสดุในสภาพคล้ายของไอลจะเคลื่อนที่เข้ามาร่วมตัวกันและบ่าเครื่องมือด้านหลัง (Trailing edge of the rotating tool) จะกดอัดและพสมวัสดุทำให้เกิดการรวมตัวกันขึ้นเป็นแนวเชื่อม



ภาพที่ 2.10 การเชื่อมด้วยวิธีเสียดทานแบบกวน [10]

### 2.4.4 การเชื่อมด้วยวิธีเสียดทานแบบเชิงเส้น

การเชื่อมด้วยวิธีเสียดทานแบบเชิงเส้น หรือ Linear friction welding การเชื่อมด้วยวิธีเสียดทานในลักษณะนี้จะอาศัยการสั่นของชิ้นงานสั่นขัดสีกันในแนวระนาบ ในระหว่างการเสียดทานนี้จะต้องใช้ความถี่และแรงที่เหมาะสมในแนวแกนดันชิ้นงานทั้งสองเข้าหากัน กระแทกผิวสัมผัสของชิ้นงานเสียดสีกันจนเกิดความร้อนที่เหมาะสมต่อการเชื่อมวัสดุให้ติดกันจึงหยุดการสั่นแล้วใช้แรงดันอัดชิ้นงานเพื่อดันอัดชิ้นงานทั้งสองชิ้นให้ติดกัน ลักษณะการเชื่อมแสดงในภาพที่ 2.11



ภาพที่ 2.11 การเชื่อมด้วยวิธีเสียดทานแบบเชิงเดือน [29]

## 2.5 เหล็กกล้าคาร์บอน (Plain Carbon Steels)

เหล็กกล้าคาร์บอน คือ เหล็กกล้าที่มีคาร์บอนเป็นธาตุพสมหลัก และมีปริมาณธาตุอื่นๆ ผสมอยู่ในปริมาณน้อย ตามนิยามของ AISI (American Iron and Steel Institute) มีปริมาณธาตุพสม ดังนี้ แมงกานีส ไม่เกิน 1.65% ซิลิคอน ไม่เกิน 0.60% ทองแดง ไม่เกิน 0.60% และปริมาณของ ฟอสฟอรัสรวมกับกำมะถัน ไม่เกิน 0.50% โดยทั่วไปถือได้ว่า เฉพาะธาตุคาร์บอนเท่านั้นที่มีอิทธิพล ต่อคุณสมบัติของเหล็กกล้าชนิดนี้ ธาตุพสมในเหล็กกล้าประเภทนี้ นอกจากจะมีคาร์บอนแล้วยังมี ซิลิคอนและแมงกานีส ส่วนกำมะถันและฟอสฟอรัสจะอยู่ในรูปของสารมลทิน เราสามารถแบ่ง ชนิดของเหล็กกล้าคาร์บอนตามเปอร์เซ็นต์ของคาร์บอนที่อยู่ในเหล็กได้ ดังนี้

เหล็กกล้าคาร์บอนต่ำ (Mild steel หรือ Low carbon steel) เป็นเหล็กที่มีปริมาณธาตุ คาร์บอนผสมอยู่น้อย ( $C < 0.25\%$ ) โครงสร้างจะประกอบไปด้วยเฟอร์ไรท์เป็นส่วนใหญ่ โดยมีความ เชื้งแรงไม่สูงนักแต่ยึดตัวได้ดี

เหล็กกล้าคาร์บอนปานกลาง (Medium carbon steel) เมื่อปริมาณคาร์บอนเพิ่มขึ้นความ เชื้งจะเพิ่มขึ้น โดยมีคาร์บอนอยู่ในระดับปานกลาง ( $0.25\% \leq C < 0.60\%$ ) สามารถใช้ทำชิ้นส่วน เครื่องจักรกล เช่น เหล็กกล้าที่มีคาร์บอน 0.45% ซึ่งมีโครงสร้างเฟอร์ไรท์-เพรลไลท์ และสามารถ ปรับเปลี่ยนโครงสร้างจุลภาคให้แข็งเพิ่มขึ้นได้โดยการอบชุบทาความร้อน

เหล็กกล้าคาร์บอนสูง (High carbon steel) มีปริมาณคาร์บอนสูง ( $C \geq 0.60\%$ ) มากใช้ผลิต เครื่องมือหรืออุปกรณ์ที่ต้องการความแข็งแรงสูง หรือความต้านทานการสึกหรอ เช่น เหล็กกล้า คาร์บอน 1.4% ซึ่งมีโครงสร้างเป็นเพรลไลท์ผสมกับซีเมนタイト์ ซึ่งสามารถใช้ทำพากเลือยหรือ ใบมีดที่ต้องการความแข็งแรง



## 2.6 ระเบียบวิธีไฟนิตต์อเลมเนต์ (Finite Element Analysis : FEA)

การออกแบบงานทางวิศวกรรมด้วยวิธีการคำนวณในปัจจุบันส่วนมากต้องอาศัยโปรแกรมทาง Computer-Aided Engineering หรือ CAE โปรแกรมเหล่านี้ใช้ระเบียบวิธีในการคำนวณขั้นสูง เช่น Finite Difference Method (FDM), Finite Element Method (FEM) หรือ Finite Element Analysis (FEA) และ Finite Volume Method (FVM) เป็นต้น ซึ่งวิธีต่างๆเหล่านี้ล้วนตั้งอยู่บนพื้นฐานขององค์ความรู้ทางระเบียบวิธีเชิงตัวเลข (Numerical methods) ทำให้ความรู้ความเข้าใจในระเบียบวิธีเชิงตัวเลขหลายเป็นสิ่งที่จำเป็น เพื่อให้สามารถใช้โปรแกรมต่างๆในการคำนวณได้อย่างมีประสิทธิภาพ และเกิดความเข้าใจในกระบวนการที่เราศึกษา

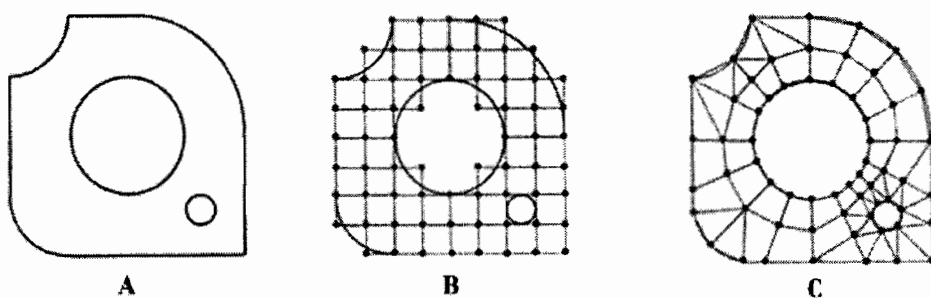
การนำเอาสมการเชิงอนุพันธ์ (Differential equation) หรือ สมการอินทิเกรต (Integral equation) มาอธิบายปรากฏการณ์ต่างๆที่เกิดขึ้นตามธรรมชาติ โดยใช้กฎเกณฑ์ทางฟิสิกส์มาช่วยในการอธิบาย และการสร้างนวัตกรรมสิ่งประดิษฐ์ใหม่ๆ ในทางวิศวกรรมศาสตร์และวิทยาศาสตร์นั้น ก็สามารถทำได้ เช่น การนำเอาสมการเชิงอนุพันธ์ย่อที่สอดคล้องกับมหาวิเคราะห์การถ่ายเทความร้อนและอุณหภูมิ ณ จุดต่างๆในสูญญากาศได้ [6] การศึกษาความแข็งแรงของพระพุทธรูปขนาดใหญ่ โดยใช้สมการเชิงอนุพันธ์ย่ออธิบายความแข็งแรงของโครงสร้าง ภายใต้แรงลมที่มาปะทะ รวมถึงการทำนายที่เกี่ยวกับของไหล โดยเริ่มจากการใช้สมการเชิงอนุพันธ์ที่สามารถอธิบายลักษณะความสมดุลและสถานะภาพของของไหล [11] เป็นต้น จากการยกตัวอย่างเบื้องต้นจะเห็นว่า ระเบียบวิธีเชิงตัวเลขนั้นมีความหลากหลาย ซึ่งสามารถเลือกและประยุกต์ใช้สมการเชิงอนุพันธ์ให้เหมาะสม และสอดคล้องกับปัญหานั้นๆได้ ปกติจะประดิษฐ์ขึ้นได้โดยไม่ยาก แต่ผลเฉลยแม่นตรง (Exact solution) ที่ต้องการจะจำเป็นต้องประดิษฐ์ขึ้นโดยระเบียบวิธีวิเคราะห์ (Analytical method) นั้นทำได้ยากมากหรือทำไม่ได้เลยก็ได้ เหตุผลดังกล่าวทำให้เกิดวิธีการหาผลเฉลยโดยประมาณขึ้น (Approximate solution) ระเบียบวิธีการหาผลเฉลยโดยประมาณนั้นมีหลายวิธี ซึ่งวิธีที่ได้รับความนิยมอย่างกว้างขวางในอดีตที่ผ่านมา คือ ระเบียบวิธีผลต่างสี่เหลี่ยม (Finite Difference Method, FDM)

หลักการที่สำคัญของระเบียบวิธีผลต่างสี่เหลี่ยม คือ การหาค่าผลเฉลยโดยประมาณ โดยเริ่มจากการแปลงสมการเชิงอนุพันธ์ให้อยู่ในรูปแบบของระบบสมการผลต่างสี่เหลี่ยม (System of difference equation) ที่ประกอบด้วยการ บวก ลบ คูณ และหาร ข้อดีของระเบียบวิธีผลต่างสี่เหลี่ยมนั่นคือ เป็นวิธีที่ง่ายต่อการศึกษาและทำความเข้าใจ รวมไปถึงความสะดวกในการประดิษฐ์ขึ้นเป็นโปรแกรมคอมพิวเตอร์เพื่อใช้ในการคำนวณ ส่วนข้อเสียของระเบียบวิธีผลต่างสี่เหลี่ยมนี้ก็มีหลายประการ เช่น ความไม่สะดวกในการกำหนดเงื่อนไขขอบเขต (Application of boundary condition) และที่สำคัญที่สุด คือ ความยากลำบากในการประยุกต์ระเบียบวิธีนี้เข้ามาวิเคราะห์ปัญหาที่มีรูปร่าง

ลักษณะซับซ้อน ซึ่งการออกแบบชิ้นงานที่มีรูปร่างลักษณะที่ซับซ้อนนั้นถูกลายเป็นลิสต์ที่สำคัญและเป็นลิสต์ที่จำเป็นต้องพัฒนาเพื่อให้สามารถแก้ไขปัญหานั้นๆได้ [7]

ต่อไปนี้จะเป็นการยกตัวอย่างการแก้ปัญหาที่มีความซับซ้อนที่ระเบียบวิธีผลิต่างสืบเนื่องไม่สามารถหาผลเฉลยที่มีความซับซ้อนนั้นได้ ซึ่งเป็นการนำเอาระเบียบวิธีไปไฟไนต์อเลิเมนต์มาใช้ในการวิเคราะห์ปัญหา ดังแสดงในภาพที่ 2.12 จากภาพที่ 2.12 (A) แสดงลักษณะแผ่นโลหะอะลูมิเนียมที่ใช้เสริมความแข็งแรงของโครงสร้างภายใต้ปีกของเครื่องบิน โดยแผ่นโลหะนี้ประกอบด้วยขอบรอบนอกที่มีขอบโค้งและขอบตรง ภายใต้รูรุกลมสองขนาดในตำแหน่งต่างกัน เป็นการวิเคราะห์ทำการกระจายของความเค้น (Stress distribution) บนแผ่นอะลูมิเนียมภายใต้แรงกระทำโดยใช้ระเบียบวิธีผลิต่างสืบเนื่อง (FDM) เริ่มจากการแบ่งแพนอะลูมิเนียมออกเป็นช่องตารางสี่เหลี่ยมดังแสดงในภาพที่ 2.12 (B) โดยตารางสี่เหลี่ยมเหล่านี้ต่อ กันที่จุดต่อ (Grid point) ตามหัวนมของสี่เหลี่ยมต่างๆ ซึ่งขนาดของปัญหารือจำนวนตัวไม่รู้ค่า (Number of unknowns) จะขึ้นอยู่กับจำนวนของจุดต่อนี้เอง

ภาพที่ 2.12 (B) แสดงให้เห็นว่า ตารางสี่เหลี่ยมที่ใช้ในระเบียบวิธีผลิต่างสืบเนื่อง ไม่สามารถจำลองรูปร่างลักษณะดังเดิมที่แท้จริงของแผ่นอะลูมิเนียมดังกล่าวได้อย่างเที่ยงตรง หากจะลดขนาดของแพนสี่เหลี่ยมให้ละเอียดหรือเล็กลงก็หมายถึงต้องเพิ่มจำนวนสี่เหลี่ยมให้มากขึ้น ถึงจะสามารถจำลองรูปร่างลักษณะได้ใกล้เคียงกับลักษณะเดิม แต่ในขณะเดียวกันจำนวนจุดต่อที่เพิ่มมากขึ้นจะทำให้จำนวนสมการผลิต่างสืบเนื่องมากตามไปด้วย รวมถึงระยะเวลาในการคำนวณก็จะมากตามไปด้วยเช่นกัน [8]



ภาพที่ 2.12 (A) แพนอะลูมิเนียมที่ประกอบด้วยขอบโค้งและขอบตรงรวมทั้งรูรุกลมสองขนาดภายใต้รูรุกลมสองขนาด  
 (B) การวิเคราะห์หาผลเฉลยบนแพนอะลูมิเนียมด้วยระเบียบวิธีผลิต่างสืบเนื่อง (FDM)  
 (C) การวิเคราะห์หาผลเฉลยบนแพนอะลูมิเนียมด้วยระเบียบวิธีไฟไนต์อเลิเมนต์ (FEA)

อุปสรรคและความไม่เหมาะสมดังกล่าวทำให้เกิดระเบียบวิธีหาผลเฉลยโดยประมาณอีกวิธีหนึ่ง เรียกว่า ระเบียบวิธีไฟไนต์อเลิมเม้นต์ (Finite Element Analysis, FEA) ระเบียบวิธีไฟไนต์อเลิมเม้นต์ (FEA) นี้สามารถนำมาใช้กับปัญหาที่มีรูปร่างลักษณะที่ซับซ้อน ได้เป็นอย่างดี สามารถจำลองรูปร่างลักษณะเดิมที่แท้จริง ได้เทียบตรงกว่า กล่าวคือ หลักการในขั้นต้นก็คือลักษณะที่ต้องการในรูปแบบของสามเหลี่ยมหรือสี่เหลี่ยมด้าน ไม่เท่ากัน ได้ดังแสดงในภาพที่ 2.12 (C) ซึ่งแสดงให้เห็นว่า ระเบียบวิธีไฟไนต์อเลิมเม้นต์ (FEA) สามารถหาผลเฉลยโดยประมาณได้ใกล้เคียงกับของจริงกว่า มีความเทียบตรงและแม่นยำสูง

## 2.7 หลักการเบื้องต้นเกี่ยวกับการถ่ายเทความร้อน

การถ่ายเทความร้อนตามธรรมชาตินั้นจะเกิดขึ้น ได้ก็ต่อเมื่ออุณหภูมิระหว่างตำแหน่งสองตำแหน่งมีค่าต่างกัน โดยความร้อนจะมีการถ่ายเทจากบริเวณที่มีอุณหภูมิสูงไปยังบริเวณที่มีอุณหภูมิต่ำลง สำหรับการเชื่อมด้วยวิธีเสียดทานนี้ก็เช่นเดียวกัน ถือว่าเป็นการถ่ายเทความร้อนในอิกลักษณะหนึ่ง คือ เป็นการให้ความร้อนกับชิ้นงานที่เป็นโลหะ โดยการนำโลหะสองชิ้นมาเสียดสีชิ้นกันและกัน โดยชิ้นหนึ่งอยู่กับท่ออีกชิ้นหนึ่งหมุน จากนั้นเพิ่มแรงในแนวแกนกับชิ้นงานที่อยู่กับที่ เพื่อให้เกิดแรงเสียดทานระหว่างพื้นที่สัมผัสของทั้งสองชิ้นงาน ในกระบวนการนี้ชิ้นงานจะเกิดความร้อนและเกิดการถ่ายเทความร้อนในแท่งเหล็กจนเกิดเป็นโซนความร้อนที่มีอุณหภูมิสูง แล้วเกิดการถ่ายเทออกไปตามความยาวของแท่งโลหะและความร้อนบางส่วนถูกถ่ายเทออกที่อุณหภูมิห้อง สำหรับงานทางโลหะวิทยามีการศึกษาและประยุกต์ใช้อย่างกว้างขวาง เพราะกระบวนการทางโลหะวิทยาต้องอาศัยหลักการถ่ายเทความร้อนในการเปลี่ยนแปลงโครงสร้างของโลหะ ซึ่งเมื่ออุณหภูมิของโลหะเปลี่ยนไปถึงจุดวิกฤตค่าหนึ่งจะทำให้เฟสในเนื้อโลหะเกิดการเปลี่ยนแปลงคุณสมบัติ หรือเกิดการเปลี่ยนแปลงเฟส เช่น กระบวนการอบชุบเหล็กกล้า การอบชุบโลหะผสมอะลูมิเนียม หรือการเปลี่ยนแปลงเฟสระหว่างเหลวกับของแข็ง เป็นต้น

การถ่ายเทความร้อนที่เกิดขึ้นตามธรรมชาติที่มีการศึกษามีอยู่ 3 วิธี คือ การนำความร้อน (Conduction) การพากความร้อน (Convection) และการแผรังสี (Radiation) ซึ่งในส่วนของกระบวนการเชื่อมด้วยวิธีเสียดทานนั้น ถือว่าเป็นกระบวนการการนำความร้อน ซึ่งจะได้อธิบายหลักการและการประยุกต์ใช้สมการความร้อน ดังต่อไปนี้

### 2.7.1 การนำความร้อน (Heat Conduction)

การนำความร้อนเป็นปรากฏการณ์ส่งผ่านความร้อนของวัสดุจากบริเวณที่มีอุณหภูมิสูงไปยังบริเวณที่มีอุณหภูมิต่ำ สมบัติที่แสดงถึงความสามารถในการส่งผ่านความร้อนของวัสดุนี้เรียกว่า การนำความร้อน (Heat Conduction) โดยสมการแสดงพฤติกรรมการนำความร้อนนั้นได้ถูกนำเสนอโดยฟูเรียร์ (Fourier's law) และรู้จักกันในนาม กฎข้อที่ 1 ของฟูเรียร์ สำหรับการนำความร้อน สามารถเขียนเป็นสมการนำความร้อนในแกนเดียวได้ ดังสมการ (2.1)

$$q = -k \frac{\partial T}{\partial X} \quad (2.1)$$

เมื่อ	$q$	คือ	ค่าการถ่ายเทความร้อน , $W / m^2$
	$k$	คือ	ค่าการนำความร้อน (Thermal conductivity), $W / m^\circ C$
	$\frac{\partial T}{\partial X}$	คือ	เกรเดียนท์ของอุณหภูมิในแนวแกน $x$ , $^\circ C / m$

ซึ่งค่าทั้งสามในสมการสามารถเปลี่ยนแปลงได้ตามหน่วยการวัด ที่ใช้วัดความร้อน อุณหภูมิ และความยาว นอกจากนี้ในระบบพิกัดจากสามารถหาอัตราการถ่ายเทความร้อนโดยการนำความร้อนต่อพื้นที่ แบบ 3 มิติ ทั่วๆไปตามกฎของข้อที่ 1 ของ Fourier ได้ดังนี้ แสดงในสมการที่ (2.2)

$$q = -k \left( \frac{\partial T}{\partial X} + \frac{\partial T}{\partial Y} + \frac{\partial T}{\partial Z} \right) = -k \nabla T \quad (2.2)$$

โดยที่

$$q_x = -k \frac{\partial T}{\partial X}$$

$$q_y = -k \frac{\partial T}{\partial Y}$$

$$q_z = -k \frac{\partial T}{\partial Z}$$

เมื่อทำการประยุกต์รวมกฎข้อที่ 1 ของ Fourier สำหรับการนำความร้อน เข้ากับกฎข้อที่ 1 ของเทอร์โน ไคนามิกส์ ซึ่งกล่าวไว้ว่าพลังงานในจักรวาลนี้เป็นปริมาณคงที่ และสมนติให้ทำการศึกษาการถ่ายเทความร้อนที่เกิดขึ้นโดยการนำความร้อนเท่านั้น ทำให้เกิดสมการสำหรับกรณี

การนำความร้อนในแกนเดียว ซึ่งเรียกสมการดังกล่าวว่า กฎข้อที่ 2 ของ Fourier สำหรับการนำความร้อน แสดงในสมการ (2.3)

$$\frac{\partial T}{\partial t} = \alpha \frac{\partial^2 T}{\partial X^2} \quad (2.3)$$

เมื่อ	$\frac{\partial T}{\partial t}$	คือ อัตราการเปลี่ยนแปลงอุณหภูมิ, $^{\circ}\text{C/sec.}$
	$\alpha = \frac{k}{\rho C_p}$	คือ ความสามารถในการกระจายความร้อน
เมื่อ	$\rho$	ความหนาแน่น, $\text{kg/m}^3$
	$C_p$	ความจุความร้อนจำเพาะเมื่อความคันคงที่, $\text{kJ/kg}\cdot\text{K}$

### 2.7.2 ความเค้นจากความร้อน (Thermal stress)

ความเค้นจากความร้อนเป็นความเค้นในวัสดุที่มีผลมาจากการเปลี่ยนแปลงของอุณหภูมิ เมื่อพิจารณาเท่ากับวัสดุของแข็งที่เป็นเนื้อเดียวกันและมีการขยายตัวแบบเดียวกัน ซึ่งได้รับความร้อนและการเย็นตัวแบบสม่ำเสมอ ในการนี้จะไม่เกิดความแตกต่างของอุณหภูมิระหว่างสองบริเวณ ทำให้เกิดการหดและขยายตัวได้อย่างอิสระส่งผลให้วัสดุปราศจากความเค้นจากความร้อน แต่ในส่วนของการเชื่อมตัวขึ้นเสียดทาน ได้ทำการขัดปลาญด้านหนึ่งต่ำกว่าเดิมเพื่อยืดด้านเคลื่อนที่ด้วยความฝึกค่าหนึ่ง ก่อให้เกิดความผิดค่าหนึ่ง กล่าวคือ การเพิ่มแรงในแนวแกนให้ชื่นงานได้รับการเสียดทานจนเกิดความผิดค่าหนึ่ง ทำให้เกิดความร้อนที่พื้นที่หน้าตัด โดยขนาดของความเค้น ( $\sigma$ ) ที่เกิดจาก การเปลี่ยนแปลงของอุณหภูมิสามารถหาได้จากสมการ (2.4)

$$\sigma = E \alpha_i (T_0 - T_f) = E \alpha_i \Delta T \quad (2.4)$$

เมื่อ	$E$	คือ โมดูลัสความยืดหยุ่น
$\alpha_i$	คือ สัมประสิทธิ์การขยายตัวเชิงเส้นทางความร้อนเมื่อให้ความร้อนกับเท่ากับวัสดุของแข็ง คือ $T_f$ สูงกว่า $T_0$ ความเค้นที่เกิดขึ้นจะเป็นความเค้นอัด	
เมื่อ	$T_0$	คือ อุณหภูมิเริ่มต้น
	$T_f$	คือ อุณหภูมิสุดท้าย

$\Delta T$  คือ ความต่างของอุณหภูมิ

### 2.7.3 ทฤษฎีการถ่ายเทความร้อนกับการเชื่อมด้วยวิธีเสียดทาน

ตามทฤษฎีถ่ายเทความร้อนที่สภาวะกึ่งคงที่ของของแข็ง (Semi-Infinite Solid) เป็นการวิเคราะห์ปัญหาทางความร้อนอิควิชันนิ่ง กล่าวคือ เป็นการวิเคราะห์ปัญหาสำหรับของแข็งที่มีความยาว ยกเว้นด้านหนึ่งของระบบที่สามารถกำหนดเป็นพื้นผิวความร้อนໄicide และเกิดการถ่ายเทความร้อนไปยังปลายอีกด้านหนึ่ง ซึ่งที่ผิวสัมผัสจะเกิดการนำความร้อนที่ไม่คงที่ (Transient heat conduction) ซึ่งจะส่งผลต่อระยะ  $x$  เพื่อประมาณค่าโซนความร้อนที่ได้รับผลกระทบ ดังสมการ (2.5)

$$x = 4\sqrt{at} \quad (2.5)$$

เมื่อ	$a$	คือ	สัมประสิทธิ์การถ่ายเทความร้อน
	$t$	คือ	เวลา

การเกิดความร้อนในระหว่างการเสียดทาน จะทำให้เกิดการเสียรูปแบบพลาสติก (Plastic deformation) บริเวณรอยต่อ ซึ่งสามารถคำนวณได้จากสมการการกระจายตัวของความร้อน (Heat flux) บริเวณพื้นที่หน้าตัด แสดงไว้ในสมการ (2.6)

$$q = \frac{\eta \tau \omega r^2}{R} + (1 + \eta) \tau \omega R \quad (2.6)$$

เมื่อ	$q$	คือ	พลักซ์ความร้อนบริเวณพื้นที่หน้าตัด
	$\eta$	คือ	สัมประสิทธิ์ที่มีความสัมพันธ์ต่อการกระจายตัวของแรงดันบริเวณพื้นที่หน้าตัด
	$\tau$	คือ	ความเคี้นเฉือน
	$\omega$	คือ	ความเร็วรอบ
	$r$	คือ	ระยะจากจุดศูนย์กลางถึงขอบของชิ้นงาน
	$R$	คือ	รัศมีของชิ้นงาน

ในช่วงแรกของการเสียดทาน เนื่องจากความแข็งแรงของวัสดุมีค่าสูง ทำให้ อุณหภูมิบริเวณพื้นที่หน้าตัดยังไม่เพิ่มขึ้นมากนัก จากทฤษฎีแรงเสียดทานของคูลอมบ์ สามารถ คำนวณหาความร้อนและความเกินเฉือน ( $\tau$ ) ได้ ซึ่งจะถูกกำหนดให้เป็น  $\tau_f$  และคงในสมการ (2.7)

$$\tau_f = P / \sqrt{3} \quad (2.7)$$

เมื่อ	$P$	คือ	แรงในแนวแกน
	$1/\sqrt{3}$	คือ	ค่าคงที่สัมประสิทธิ์แรงเสียดทาน

ด้วยแรงเสียดทานที่เกิดขึ้นเสมือนเป็นการอุ่นชื้นงานหรือสะสมความร้อน ส่งผล ให้อุณหภูมิบริเวณพื้นที่เสียดทานเพิ่มขึ้นอย่างรวดเร็ว และความแข็งแรงของวัสดุก็ลดลงอย่าง รวดเร็ว เช่นเดียวกัน ดังอธิบายไว้ในกระบวนการเบื้องต้น เมื่อแรงในแนวแกนมีค่ามากกว่าความ แข็งแรงของวัสดุ ( $\sigma_y$ ) ที่บริเวณผิวสัมผัส สามารถคำนวณหาความเกินเฉือนได้ ตามทฤษฎีของ Von Mises ในสมการ (2.8)

$$\tau_y = \sigma_y / \sqrt{3} \quad (2.8)$$

## 2.8 งานวิจัยที่เกี่ยวข้อง

การศึกษางานวิจัยที่เกี่ยวกับความร้อนและอุณหภูมิ ถือเป็นประเด็นที่สำคัญของ การศึกษาในงานวิจัยนี้ รวมถึงประเด็นที่เกี่ยวข้องอื่นๆ ที่มีความสำคัญและแตกต่างกันตามลำดับ ใน กระบวนการเชื่อมด้วยวิธีเสียดทานนั้น ได้มีการศึกษาทดลองอย่างแพร่หลายทั้งในประเทศและ ต่างประเทศ โดยมีการนำเอาทฤษฎีทางค้านความร้อนมาประยุกต์ใช้ให้สอดคล้องและเหมาะสมสมดุล การเชื่อมด้วยวิธีเสียดทาน ซึ่งเป็นประโยชน์อย่างมากสำหรับงานวิจัยนี้ โดยจะทำการศึกษาให้ทราบ ถึงหลักการทำงานทฤษฎีค่างๆ และเทคนิควิธีการนำไปใช้ ซึ่งจะส่งผลให้การวิเคราะห์ การปฏิบัติการ ทดลองที่เป็นขั้นตอนและมีประสิทธิภาพ ซึ่งงานวิจัยที่เกี่ยวข้องมีดังต่อไปนี้

### 2.8.1 งานวิจัยที่เกี่ยวกับการวัดอุณหภูมิการเชื่อมด้วยวิธีเสียดทาน

Celik and Ersozlu (2009) [19] ได้ทดลองวัดอุณหภูมิระหว่างทำการเชื่อมด้วยวิธี เสียดทาน โดยใช้เหล็กเบอร์ AISI 4140 และ AISI 1050 ขนาดเส้นผ่าศูนย์กลาง 10 mm. ยาว 80 mm. ทำการวัดอุณหภูมิโดยใช้กล้องอินฟราเรดวัดขณะทำการเชื่อมด้วยวิธีเสียดทาน โดยใช้เวลาในการ เสียดทาน 4, 6 และ 8 sec. ผลการทดลองพบว่า ที่เวลา 0-2 sec. อุณหภูมิเพิ่มขึ้นอย่างรวดเร็ว ประมาณ 800-900 °C และสูงสุดในเหล็กเบอร์ AISI 1050 อุณหภูมิประมาณ 1,100 °C ที่ 10 sec. หลังจากนั้นอุณหภูมิเริ่มลดลงอย่างรวดเร็วตามลำดับ

Hazman *et al.* (2010) [25] ได้ทดลองวัดอุณหภูมิการเชื่อมด้วยวิธีเสียดทานและการ คำนวณ โดยใช้โปรแกรม Matlab ระหว่างเหล็กกล้าคาร์บอนต่อกับอุลูมิเนียม ทำการทดลอง โดยใช้ สายวัดอุณหภูมิ ชนิด K (Thermo couple Type-K) โดยเชื่อมสายวัดอุณหภูมิติดกับชิ้นงานที่อยู่กับที่ (อุลูมิเนียม) โดยจุดที่เชื่อมสายวัดมีระยะห่างจากพื้นที่เสียดทาน 2 mm. และ 10 mm. เนื่องไปในการ เชื่อมด้วยวิธีเสียดทานมี ความเร็วรอบ 900 rpm แรงดันในการเสียดทาน 15 MPa เวลาในการเสียด ทาน 3.15 sec. เวลาในการอัด 0.86 sec. แรงดันในการอัด 25 MPa ผลการทดลองพบว่า การถ่ายเท ความร้อนจากการเชื่อมด้วยวิธีเสียดทานมีอุณหภูมิเพิ่มขึ้นสูงสุด 568 °C ที่เวลา 3.15 sec. ระยะ 2 mm. และ อุณหภูมิลดลงเหลือ 112 °C ที่เวลา 6.3 sec. ในระยะ 10 mm.

Eder *et al.* (2012) [21] ได้ทดลองวัดอุณหภูมิในระหว่างการเชื่อมด้วยวิธีเสียดทาน ระหว่างอุลูมิเนียม (AA1050) กับ สแตนเลส (AISI 304) เครื่องเชื่อมด้วยวิธีเสียดทานที่ใช้เป็นเครื่อง ขึ้ห้อ GATWIK ความเร็วรอบ 3,200 rpm แรงดันเสียดทาน 2.1 MPa เวลาเสียดทาน 32 sec. แรงดัน อัด 1.4 MPa เวลาเสียดทาน 2 sec. วัดอุณหภูมิโดยใช้สายวัดอุณหภูมิ (Type-k) ต่อเข้ากับเครื่อง บันทึกอุณหภูมิ (Data logger) และคอมพิวเตอร์ โดยเจาะรูที่สแตนเลส (AISI 304) ที่จุดศูนย์กลาง ตามความยาวของแท่งสแตนเลส ซึ่งจะเจาะให้เหลือระยะ ໄว้ประมาณ 1.2 mm. เพื่อสอดสายวัด อุณหภูมิทำการวัดอุณหภูมิ ผลการทดลองพบว่า ที่เวลา 0-10 sec. อุณหภูมิยังไม่เพิ่มขึ้นมาก แต่

หลังจากนั้นอุณหภูมิค่อยๆเพิ่มขึ้น และสูงสุดที่เวลา 32 sec. อุณหภูมิ  $392^{\circ}\text{C}$  จากนั้นอุณหภูมิลดลงตามลำดับ

Rud-di *et al.* (2012) [36] ได้ศึกษาและทดลองเกี่ยวกับความร้อนที่เกิดขึ้นจากการเชื่อมด้วยวิธีเสียดทานระหว่างแมกนีเซียม (Mg) และไทเทเนียม (Ti) วัดความร้อนโดยใช้กล้องอินฟารेड (Infrared, VarioCAM® hr head-HS) การทดลองถูกแบ่งออกเป็น 4 สถานะ เวลาทดลองเชื่อม 6 sec. สถานะที่ 1 เป็นสถานะเริ่มต้นของการอุณหภูมิขึ้นไม่เพิ่มขึ้นสูงมากนัก สถานะที่ 2 เป็นช่วงที่ชิ้นงานสัมผัสกันมากขึ้น สัมประสิทธิ์แรงเสียดทานคงที่ อุณหภูมิเพิ่มขึ้น ชิ้นงานยังไม่เสียรูป (0 sec. - 1.5 sec.) สถานะที่ 3 ชิ้นงานสัมผัสกันมากขึ้นจากการเพิ่มแรง สัมประสิทธิ์แรงเสียดทานเพิ่มมากขึ้น อุณหภูมิเพิ่มขึ้นถึงจุดคงที่และชิ้นงานเริ่มเสียรูปมากขึ้น (1.5 sec. - 2.5 sec.) สถานะที่ 4 ภาพถ่ายอุณหภูมิเริ่มเห็นการเกิดและกระจายตัวของอุณหภูมิอย่างชัดเจน สัมประสิทธิ์แรงเสียดทานคงที่ ชิ้นงานเริ่มน้ำมีการเสียรูปมากขึ้น (2.5 sec. - 6 sec.)

Sirajuddin *et al.* (2012) [40] ได้ทดลองวัดอุณหภูมิการเชื่อมด้วยวิธีเสียดทานระหว่างเหล็กเบอร์ 304 steel และเหล็กยูท็อกทอยด์ (Eutectoid steel) ขนาดเส้นผ่าศูนย์กลาง 15 mm. ยาว 80 mm. ทำการวัดโดยใช้สายวัดอุณหภูมิ ชนิด K (Thermo Couple Type-K) ที่เหล็กเบอร์ 304 steel วัดห่างจากรอยเชื่อมเป็นระยะ 7 mm., 14 mm. และ 21 mm. ใช้ความเร็วรอบ 900 rpm แรงดันเสียดทาน 20 bar แรงดันอัด 30 bar ใช้เวลาเชื่อม 2 sec. เวลาในการอัด 0.5 sec. ทำการทดลองควบคู่กับการใช้โปรแกรมคอมพิวเตอร์ในการคำนวณหาอุณหภูมิที่เกิดขึ้น เพื่อทำการเปรียบเทียบค่า จากผลการทดลองพบว่า ผลการทดลองและผลการคำนวณจากโปรแกรมมีแนวโน้มที่มีค่าใกล้เคียงกัน

### 2.8.2 งานวิจัยที่เกี่ยวกับการสร้างแบบจำลองการเชื่อมด้วยวิธีเสียดทาน

Alvise *et al.* (2002) [16] ได้ทดลองการเชื่อมด้วยวิธีเสียดทาน โดยได้ทำการทดลองเชื่อมและสร้างแบบจำลองทางคณิตศาสตร์ โดยการจำลองด้วยวิธีไฟไนต์элементเพื่อทำการเปรียบเทียบค่าจากผลการทดลองและแบบจำลอง จากผลการทดลอง พบว่า แนวโน้มของอุณหภูมิที่เกิดขึ้นในการทดลองทั้งสองแบบ มีค่าที่ใกล้เคียงกัน และมีความคาดเดล่อนเล็กน้อย ซึ่งค่าจากผลการทดลองมีค่าสูงกว่าเล็กน้อยและยอมรับได้

Sahin (2004) [37] ได้สร้างแบบจำลองการเชื่อมด้วยวิธีเสียดทาน เพื่อหาค่าการเสียรูปของวัสดุจากการเชื่อมเหล็กคาร์บอนปานกลางเบอร์ AISI 1040 ที่มีขนาดพื้นที่หน้าตัดที่เท่ากัน และไม่เท่ากัน โปรแกรมที่ใช้เป็นโปรแกรมที่สร้างขึ้นสำหรับงานเชื่อมด้วยวิธีเสียดทานโดยเฉพาะ (Friction Welding Simulation V 1.0) แบบจำลองเป็นแบบ 3 มิติ โดยมีเงื่อนไขดังนี้ คือ เวลาในการเสียดทาน 5 sec. แรงดันในการเสียดทาน 30 MPa เวลาในการอัด 20 sec. แรงดันในการเสียดทาน 110 MPa และชิ้นงานที่มีขนาดเล็กที่สุดมีเส้นผ่าศูนย์กลาง 10 mm. นอกจากนี้ยังได้อธิบายการป้อน

ค่าคุณสมบัติต่างๆที่ใช้ในโปรแกรม เช่น ค่าสัมประสิทธิ์ความเสียดทาน (Friction Coefficient) คือ 0.1 เมื่อนำไข่ขوبเขตของอุณหภูมิ (Boundary condition of Temperature) คือ  $20^{\circ}\text{C}$  และ  $1,200^{\circ}\text{C}$  ผลการทดลองพบว่า ขนาดพื้นที่หน้าตัดและความยาวที่มีผลต่อการเชื่อม โดยอัตราส่วน D/d ที่เพิ่มขึ้นทำให้ความด้านทานแรงดึงของรอยเชื่อมลดลง และตัวแปรที่เหมาะสมที่สุดของการเชื่อมได้จากอัตราส่วน D/d ที่เท่ากัน

Can *et al.* (2009) [18] ได้สร้างแบบจำลองทางคณิตศาสตร์ เพื่อจำลองการเชื่อมด้วยวิธีเสียดทาน โดยวัสดุที่ใช้ คือ เหล็กเบอร์ AISI 1040 ทำการจำลองชิ้นงานสองชิ้นที่มีขนาดไม่เท่ากัน มีขนาดเส้นผ่าศูนย์กลาง  $20\text{ mm}$ . และ  $10\text{ mm}$ . เวลาเสียดทาน  $5\text{ sec}$ . แรงดันเสียดทาน  $30\text{ MPa}$  เวลาอัด  $20\text{ sec}$ . แรงดันอัด  $110\text{ MPa}$  และความเร็วรอบ  $1,410\text{ rpm}$  โปรแกรมที่ใช้ในการสร้างแบบจำลอง คือ Quick-Field V 4.2T และ Auto CAD in DXF ผลการทดลองพบว่า อุณหภูมิที่เกิดขึ้นบริเวณผิวสัมผัสประมาณ  $920^{\circ}\text{C} - 930^{\circ}\text{C}$  และกระจายตัวออกไปซึ่งอยู่ในระดับสูงเป็นระยะ  $4\text{ mm}$ .

Li and Wang (2011) [28] ได้ศึกษาและสร้างแบบจำลองการเชื่อมด้วยวิธีเสียดทาน โดยใช้โปรแกรมABAQUS ช่วยสร้างแบบจำลอง และใช้ระบบวิธีไฟนาต์เอลิเมนต์ (FEM) ในการวิเคราะห์ วัสดุที่ใช้จำลองเป็นเหล็กกล้าคาร์บอนต่ำ จำลองในแบบ 2 มิติ มีเงื่อนไขดังนี้ คือ เวลาในการเสียดทาน  $3.5\text{ sec}$ . เวลาในการอัด  $0.1\text{ sec}$ . แรงดันในการเสียดทาน  $200\text{ MPa}$  แรงดันในการอัด  $400\text{ MPa}$  และความเร็วรอบในการหมุนเสียดทาน  $1,200\text{ rpm}$  ผลการทดลองพบว่า อุณหภูมิเพิ่มขึ้นอย่างรวดเร็วตั้งแต่เริ่มกระบวนการเชื่อม โดยที่เวลา  $0.1 - 1.5\text{ sec}$ . อุณหภูมิอยู่ที่ประมาณ  $1,000^{\circ}\text{C}$  และเพิ่มขึ้นถึงประมาณ  $1,200^{\circ}\text{C}$  ที่เวลา  $3.5\text{ sec}$ . ตามลำดับ

Takeshi *et al.* (2012) [41] ได้สร้างแบบจำลองทางคณิตศาสตร์ (FEM) ของกระบวนการเชื่อมด้วยวิธีเสียดทานเพื่อกำนวนการกระจายตัวของอุณหภูมิ (Stefan-Boltzman) และการเสียรูปของวัสดุ (Newton-Raphson) ของวัสดุสองชนิด ระหว่างเหล็กเบอร์ S50C แผ่นสี่เหลี่ยม กับ อลูมิเนียมอัลลอยด์ เบอร์ A2017 ขนาดพื้นที่หน้าตัด  $11.6\text{ mm}$ . ยาว  $50\text{ mm}$ . โดยใช้โปรแกรม安东ซีส (Ansys Mechanical) ในการคำนวณ ทำการเชื่อมด้วยแรงดันเสียดทาน  $45.8\text{ MPa}$  ใช้ความเร็วรอบ  $5,000\text{ rpm}$  เก็บผลการทดลอง ที่เวลา  $1\text{ sec}$ ,  $2\text{ sec}$ . และ  $3\text{ sec}$ . ตามลำดับ ผลการคำนวณที่แรงดันเสียดทาน  $45.8\text{ MPa}$  พบว่า เหล็กเบอร์ S50C อุณหภูมิอยู่ที่  $438^{\circ}\text{C}$ ,  $785^{\circ}\text{C}$ ,  $989^{\circ}\text{C}$  และอลูมิเนียมอัลลอยด์ เบอร์ A2017 อุณหภูมิอยู่ที่  $281^{\circ}\text{C}$ ,  $521^{\circ}\text{C}$ ,  $640^{\circ}\text{C}$  ตามลำดับ

### 2.8.3 งานวิจัยที่เกี่ยวกับการเชื่อมด้วยวิธีเสียดทานอื่นๆ

Ramadhan and Kako (2013) [34] ได้ทำการศึกษาประสิทธิภาพของรอยเชื่อมในกระบวนการเชื่อมด้วยวิธีเสียดทานระหว่าง สแตนเลส เบอร์ SAF 2507 กับเหล็กкар์บอนต่ำ (Mild Steel) ขนาดเส้นผ่าศูนย์กลาง 20 mm. ยาว 60 mm. ทดสอบหาส่วนประกอบทางเคมีของวัสดุโดยเครื่องสเปกตรومิเตอร์ (Spectrometer) ซึ่งแบ่งการทดลองออกเป็น 3 ชุด เงื่อนไขการทดลองได้แก่ แรงดันเสียดทาน 33 MPa, 53 MPa และ 80 MPa แรงดันอัด 80 MPa, 90 MPa และ 134 MPa เวลาเสียดทาน 20 sec. และความเร็วรอบ 1,800 rpm ผลการทดลองพบว่า ระยะการเสียรูปของวัสดุคือ 0.8 mm., 1.5 mm. และ 2.9 mm. ตามลำดับ การทดสอบความแข็งแรง (Ultimate Tensile Strength) พบว่า สแตนเลส เบอร์ SAF 2507 ได้ค่าความเค้น (Stress) สูงสุด 1,210 MPa และเหล็กкар์บอนต่ำ (Mild Steel) ได้ค่าความเค้น (Stress) สูงสุด 810 MPa สำหรับประสิทธิภาพของรอยเชื่อมของการทดลองทั้ง 3 ชุด มีดังต่อไปนี้ ประสิทธิภาพรอยเชื่อมคิดเป็นเบอร์เซ็นได้ 79.17%, 74.96% และ 66.12% ตามลำดับ และการทดสอบความแข็งแรงของรอยเชื่อม (Ultimate Tensile Strength) ได้ 642 MPa, 568 MPa และ 536 MPa ตามลำดับ

Kumar *et al.* (2012) [27] ได้ศึกษาการกระจายตัวของอุณหภูมิในกระบวนการเชื่อมด้วยวิธีเสียดทาน ระหว่างอลูมิเนียมอัลลอยด์ และเหล็กкар์บอนต่ำ ชิ้นงานมีขนาดเส้นผ่าศูนย์กลางเท่ากัน คือ 12 mm. ยาว 75 mm. ทำการเชื่อมโดยให้อุณหภูมิเนื้ยมอัลลอยด์ทันทีที่มีความร้อน 1,440 rpm และ 1,800 rpm เวลาในการเชื่อม 20 sec. และ 30 sec. เหล็กкар์บอนต่ำเป็นชิ้นงานที่อยู่กับที่ ทำการวัดอุณหภูมิโดยใช้กล้องอินฟราเรด วัดอุณหภูมิบริเวณรอยเชื่อม ผลการทดลองพบว่า อุณหภูมิเนื้ยมอัลลอยด์เกิดการเสียรูปมาก และอุณหภูมิสูงสุดของอยู่ที่ประมาณ 130 °C

Sahin (2005) [38] ได้ทดลองเชื่อมด้วยวิธีเสียดทาน ระหว่างเหล็กкар์บอนสูง เบอร์ HSS-S6-5-2 กับ เหล็กкар์บอนปานกลาง เบอร์ AISI 1040 ขนาดเส้นผ่าศูนย์กลาง 10 mm. ทดลองเพื่อหาค่าความแข็งแรงดึง (Tensile Test) และหาค่าความแข็ง (Vicker Hardness, HV) โดยมีเงื่อนไขการทดลอง ดังนี้ ได้แก่ เวลาเสียดทาน 1 sec. - 5 sec. แรงดันเสียดทาน 30 MPa - 150 MPa เวลาอัด 20 sec. แรงดันในการอัด 150 MPa ผลการทดลองพบว่า ที่แรงดันเสียดทาน 110 MPa ให้ค่าความแข็งแรงสูงสุด คือ 600 MPa สำหรับเวลาเสียดทานที่ให้ค่าความแข็งแรงที่สูงที่สุด คือ 4 sec. จากนั้น ทำการวัดค่าความแข็ง (Vicker Hardness, HV) โดยวัดจากรอยเชื่อมห่างออกไปเป็นระยะ 4 mm. ทั้งสองทาง พบร้าความแข็ง (HV) สูงสุดอยู่ที่ประมาณ 700 HV สัดส่วนความแข็งแรงของวัสดุ เหล็กкар์บอนสูง เบอร์ HSS-S6-5-2 มีแนวโน้มที่สูงกว่า เหล็กкар์บอนปานกลาง เบอร์ AISI 1040

#### 2.8.4 งานวิจัยที่ศึกษาตัวแปรเกี่ยวกับการเชื่อมด้วยวิธีเสียดทาน

สุรัsingห์ อารยะกุล และชาลิต ถินวงศ์พิทักษ์ (2551) [12] ได้ทำการทดลองเชื่อมเหล็กกลมชนิด เบอร์ AISI 1015 โดยทำการทดลองเปลี่ยนค่าตัวแปรต่างๆ ได้แก่ แรงดันในการเสียดทาน (Friction Pressure) ที่ 10, 15, 20, 25, 30, 35 และ 40 bar โดยกำหนดตัวแปรที่มีค่าคงที่ ได้แก่ เวลาในการเสียดทาน (Friction Time) ที่ 9 sec. แรงดันในการเชื่อม (Upset Pressure) ที่ 60 bar เวลาในการเชื่อม (Upset Time) ที่ 3 sec. และความเร็วรอบในการหมุน (Rotational Speed) ที่ 1,200 rpm เป็นเงื่อนไขในการทดลอง ผลที่ได้จากการทดลองพบว่า แรงดันในการเสียดทาน(Friction Pressure) ที่ 10 bar และเวลาในการเสียดทาน(Friction Time) ที่ 9 sec. ให้ผลในการเชื่อมดีที่สุด โดยรอยเชื่อม มีความด้านทานแรงดึงเท่ากับ 1,826.67 Kg-f ซึ่งมากกว่าชิ้นงานเดิม 17.09 %

สุรัsingห์ อารยะกุล และคณะ (2552) [13] ได้ทำการทดลองเชื่อมเหล็กกลม เบอร์ AISI 1015 ขนาดเส้นผ่าศูนย์กลาง 10 mm. ยาว 100 mm. ภายใต้เงื่อนไขการทดลอง คือ แรงดันในการเสียดทาน 10 bar เวลาในการเสียดทาน 9 sec. แรงดันในการอัด 60 bar เวลาในการอัด 3 sec. และความเร็วรอบในการหมุน 1,200 rpm แล้วนำมาศึกษาคุณสมบัติของรอยเชื่อมพบว่า รอยเชื่อมที่ได้มีความแข็งแรง (Strength) เพิ่มมากขึ้น ในขณะค่าความแข็ง (Hardness) นั้นลดลง นอกจากนี้ การวิเคราะห์โครงสร้างจุลภาคของรอยเชื่อมยังพบว่า ที่บริเวณกลางรอยเชื่อมมีสักส่วนของเพลท (Pearlite) ลดลง แต่สักส่วนของเฟอร์ไรท์ (Ferrite) กลับเพิ่มมากขึ้นซึ่งเป็นสาเหตุที่ให้ความแข็งของรอยเชื่อมลดลง นอกจากนี้ยังพบอีกว่า จำนวนเกรนที่บริเวณจุดต่อของรอยเชื่อมมีค่ามากขึ้น ส่งผลให้รอยเชื่อมมีความแข็งแรงสูงขึ้น

ช่วงชัย ชุปวา และชาลิต ถินวงศ์พิทักษ์ (2553) [2] ได้ทำการศึกษาอิทธิพลของเวลาในการเสียดทาน ที่มีผลต่อความแข็งแรงของรอยเชื่อมของเหล็กเบอร์ AISI 1015 ที่เชื่อมด้วยวิธีเสียดทาน ขนาดเส้นผ่าศูนย์กลาง 10 mm. ยาว 100 mm. เวลาเสียดทาน 6, 8, 10 และ 12 sec. เวลาในการอัด 1, 2, 3 และ 4 sec. แรงดันเสียดทาน 103, 206 และ 309 MPa แรงดันในการอัด 309, 412, 516 และ 619 MPa และความเร็วรอบในการเสียดทาน 1,100, 1,200, 1,300 และ 1,400 rpm ผลการทดลองพบว่า เวลาเสียดทานที่ให้ความแข็งแรงสูงสุด คือ 6 sec.

ช่วงชัย ชุปวา และชาลิต ถินวงศ์พิทักษ์ (2554) [3] ได้ทำการศึกษาอิทธิพลของเวลาในการเสียดทานและความเร็วรอบในการเสียดทาน ที่มีผลต่อความแข็งแรงของรอยเชื่อมของเหล็ก เบอร์ AISI 1015 ที่เชื่อมด้วยวิธีเสียดทาน โดยใช้ชิ้นงานขนาดเส้นผ่าศูนย์กลาง 10 mm. ยาว 100 mm. เวลาเสียดทาน 6, 8, 10 และ 12 sec. เวลาในการอัด 1-4 sec. แรงดันเสียดทาน 10 bar - 30 bar แรงดันในการอัด 30 bar - 60 bar และความเร็วรอบในการเสียดทาน 1,100, 1,200, 1,300 และ

1,400 rpm ผลการทดลองพบว่า ตัวแปรที่ให้ความแข็งแรงสูงสุด คือ เวลาเสียดทาน 6 sec. ความเร็ว รอบ 1,300 rpm แรงดันเสียดทาน 30 bar เวลาในการอัด 4 sec. และ แรงดันในการขัด 60 bar

ฐานี ทุมประassen และคณะ (2553) [4] ได้ทำการศึกษาคุณสมบัติของรอยเชื่อม ระหว่างเหล็กกล้าพลาสติก เบอร์ AISI 4140 และเหล็กกล้าไร้สนิมเบอร์ AISI 304 ขนาดเส้นผ่าศูนย์กลาง 13 mm. ยาวชิ้นละ 70 mm. แรงดันเสียดทาน 183 MPa เวลาเสียดทาน 12 sec. แรงดันในการอัด 428 MPa เวลาในการอัด 7 sec. ความเร็วรอบ 1,400 rpm ผลการศึกษาพบว่ารอยเชื่อมที่ได้มีความแข็งแรงสูงขึ้น นอกจากนี้ยังพบว่ารอยเชื่อมมีความต้านทานแรงดึงเท่ากับ 1,005 MPa ซึ่งมีค่ามากกว่าชิ้นงานเดิม เมื่อเทียบกับเหล็กกล้าพลาสติกเพิ่มขึ้น 5% และเมื่อเทียบกับเหล็กกล้าไร้สนิมเพิ่มขึ้น 48%

## บทที่ 3

### อุปกรณ์และวิธีการทดลอง

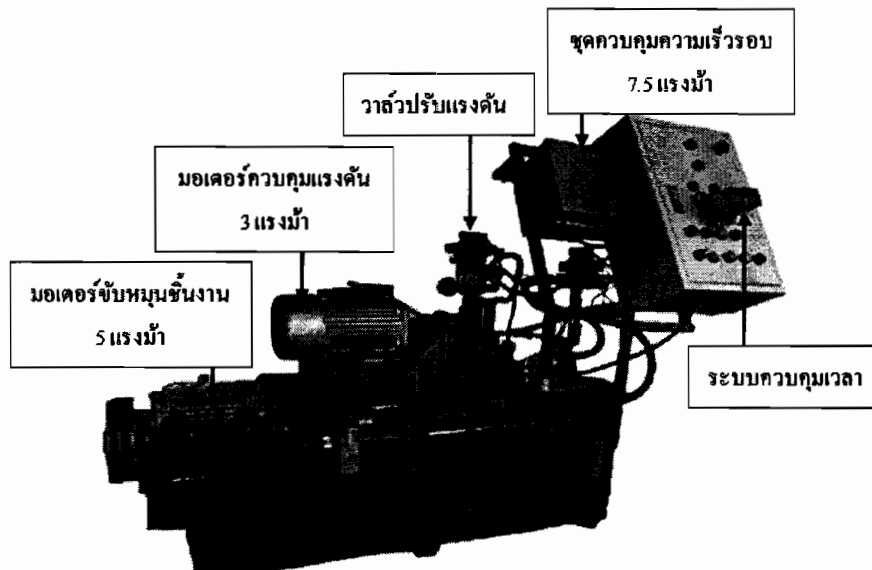
ในวิทยานิพนธ์นี้ มีวัตถุประสงค์ เพื่อ ศึกษาการกระจายตัวของอุณหภูมิในเหล็ก คาร์บอนต่ำ ที่เชื่อมด้วยวิธีเสียดทาน ซึ่งต่อไปนี้จะเป็นการนำเสนอและอธิบายอุปกรณ์การทดลองที่เกี่ยวข้อง รวมถึงสาระสำคัญที่ทำการศึกษา โดยได้ถูกแบ่งออกเป็น 2 วิช ได้แก่ วิธีการทดลอง และวิธีการสร้างแบบจำลอง โดยระบุขั้นตอนที่สำคัญที่สุด สำหรับวัตถุประสงค์ของการทดลอง คือ เพื่อให้ทราบถึงลักษณะการกระจายตัวของอุณหภูมิที่เกิดขึ้นจากแรงเสียดทาน ซึ่งจะใช้เป็นข้อมูลหลัก โดยอาศัยเครื่องเชื่อมด้วยวิธีเสียดทาน ที่สร้างขึ้นในภาควิชาวิศวกรรมเครื่องกล คณะวิศวกรรมศาสตร์ มหาวิทยาลัยอุบลราชธานี งานนี้จะใช้ข้อมูลจากการคำนวณในแบบจำลองทางคอมพิวเตอร์ มาเปรียบเทียบและวิเคราะห์ผล ซึ่งรายละเอียดทั้งหมด มีดังต่อไปนี้

#### 3.1 อุปกรณ์การทดลอง

##### 3.1.1 เครื่องเชื่อมด้วยวิธีเสียดทาน

เครื่องเชื่อมด้วยวิธีเสียดทานที่ใช้ในงานวิจัยนี้ ได้ถูกจำลองมาจากการเครื่องเชื่อมด้วยวิธีเสียดทานที่ใช้งานในภาคอุตสาหกรรม โดยได้สร้างขึ้นใน ภาควิชาวิศวกรรมเครื่องกล คณะวิศวกรรมศาสตร์ มหาวิทยาลัยอุบลราชธานี การทำงานของเครื่องเชื่อมด้วยวิธีเสียดทานที่สร้างนี้ ทำงานด้วยระบบควบคุมด้วยมือ ผู้ทำการทดลองจะต้องเข้าใจวิธีการทำงานของตัวเครื่อง และตรวจสอบการปรับตั้งค่าเงื่อนไขก่อนทำการทดลองทุกครั้ง เครื่องเชื่อมด้วยวิธีเสียดทานในงานวิจัยนี้ ได้พัฒนาตามแนวคิดและหลักการเชื่อมของเครื่องเชื่อมด้วยวิธีเสียดทานเบื้องต้น โดยมีรายละเอียดของอุปกรณ์ต่างๆ ในเครื่องเชื่อม ได้แก่ มอเตอร์ขนาด 5 แรงม้า เป็นต้นกำลังในการหมุนชิ้นงาน มีชุดควบคุมความเร็วรอบของมอเตอร์ (Inverter) ขนาด 7.5 แรงม้า ที่สามารถปรับและช่วบควบคุมความเร็วรอบ (Rotation speed) โดยมีระบบไชครอติกส์ในการสร้างแรงดัน (Friction pressure) ในการเชื่อม ซึ่งควบคุมโดยมอเตอร์ขนาด 3 แรงม้า และแรงดันในการอัด (Upset pressure) เพื่อเชื่อมและอัดชิ้นงานให้ติดกัน มีระบบควบคุมแรงดัน (Electric solenoid valve) เป็นชุดควบคุมแรงดัน สำหรับเวลาที่ใช้เชื่อม (Friction time) และเวลาที่ใช้อัด (Upset time) มีระบบควบคุมเวลา (Timer) เป็นตัวควบคุมเวลาที่ใช้เชื่อมและอัดชิ้นงาน ดังนั้นจึงกล่าวได้ว่าอุปกรณ์ต่างๆ เหล่านี้ มี

วิธีการทำงานที่มีความสัมพันธ์สอดคล้องกัน อุปกรณ์ต่างๆของเครื่องเชื่อมด้วยวิธีเสียดทานที่ได้กล่าวเบื้องต้น แสดงอยู่ในภาพที่ 3.1



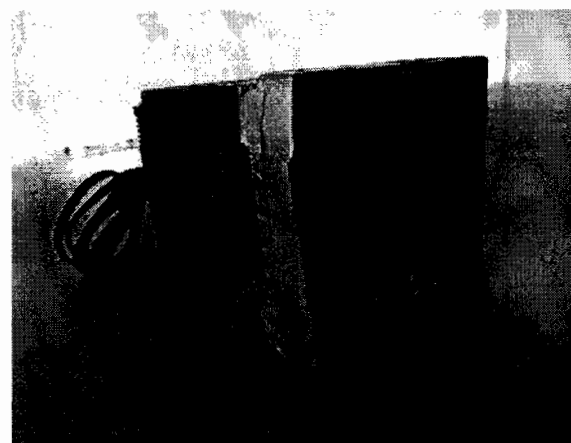
ภาพที่ 3.1 เครื่องเชื่อมด้วยวิธีเสียดทานที่ใช้ในการทดลอง

### 3.1.2 เครื่องมือวัดอุณหภูมิ

การวัดอุณหภูมิเป็นขั้นตอนที่ถือได้ว่าสำคัญมากในการทดลองนี้ ซึ่งจะต้องอาศัยเครื่องมือวัดอุณหภูมิที่ละเอียดพอสมควร โดยเครื่องมือวัดอุณหภูมิประกอบไปด้วย เครื่องบันทึกอุณหภูมิ (Data logger) และสายวัดอุณหภูมิ หรือ เทอร์โมคัมเพลส โดยมีรายละเอียด ดังนี้

#### 3.1.2.1 เครื่องบันทึกอุณหภูมิ (Data logger)

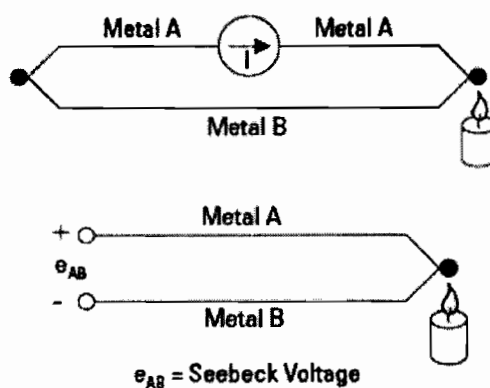
เครื่องบันทึกอุณหภูมิ (Data logger) เป็นอุปกรณ์รับสัญญาณจากสายวัดอุณหภูมิ (Thermo couple) ที่เชื่อมต่อกับชิ้นงานที่ทำการเชื่อม โดยการแปลงแรงเคลื่อนไฟฟ้า (Emf) เป็นสัญญาณแสดงบนหน้าจอในรูปแบบของดิจิตอลและมีตัวเก็บข้อมูล (Memory) บันทึกข้อมูล เครื่องวัดอุณหภูมิที่ใช้ในการทดลองเป็นเครื่อง ยี่ห้อ Supcon รุ่น R 3000 สามารถแสดงผลและบันทึกอุณหภูมิได้ 12 ช่องสัญญาณ มีช่วงการวัดอุณหภูมิอยู่ระหว่าง -100 °C ถึง 1,300 °C ค่าความถูกต้อง ± 2 °C ลักษณะของเครื่องแสดงในภาพที่ 3.2



ภาพที่ 3.2 เครื่องบันทึกอุณหภูมิ (Data logger) ยี่ห้อ Supcon รุ่น R 3000

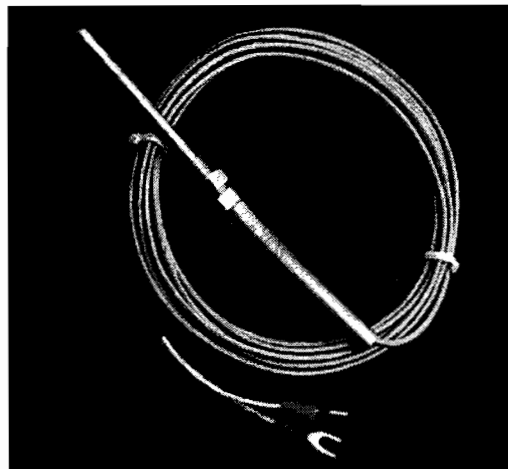
### 3.1.2.2 สายวัดอุณหภูมิ (Thermo couple)

สายวัดอุณหภูมิ (Thermo couple) คือ อุปกรณ์วัดอุณหภูมิโดยอาศัยหลักการเปลี่ยนแปลงอุณหภูมิหรือความร้อนเป็นแรงเคลื่อนไฟฟ้า (Emf) สายวัดอุณหภูมิทำจากโลหะตัวนำที่ต่างชนิดกัน นำปลายสายมาเชื่อมต่อไว้ด้วยกัน โดยการหลอมรวมหรือการพันปลายสายโลหะทั้งสองให้เกิดการเชื่อมต่อกัน เรียกว่า จุดวัดอุณหภูมิ โดยอีกปลายค้านหนึ่งจะถูกติดตั้งเข้ากับเครื่องบันทึกอุณหภูมิ เรียกว่า จุดอ้างอิง หากจุดวัดอุณหภูมิและจุดอ้างอิงมีอุณหภูมิที่ต่างกันก็จะทำให้มีการกระแสในวงจรสายวัดอุณหภูมิทั้งสองข้าง ปรากฏการณ์ดังกล่าวถูกค้นพบโดยนักวิทยาศาสตร์ชาวเยอรมัน ชื่อ Thomas Seebeck ค.ศ.1821 หลักการดังกล่าวแสดงในภาพที่ 3.3



ภาพที่ 3.3 หลักการทำงานของสายวัดอุณหภูมิ [5]

สายวัดอุณหภูมิที่ใช้วัดอุณหภูมิในการทดลอง เป็นสายวัด ชนิด K-Type (Sensor high temperature thermocouple) ซึ่งเป็นสายวัดตามมาตรฐาน ของ ANSI และ ASTM ช่วง การวัดอุณหภูมิต่อเนื่องอยู่ที่  $-270^{\circ}\text{C}$  ถึง  $+1,370^{\circ}\text{C}$  ให้อัตราการเปลี่ยนแรงเคี้ยวไฟฟ้าต่ออุณหภูมิ ดีกว่าแบบอื่นๆ ซึ่งเป็นแบบที่นิยม และแพร่หลายมากในปัจจุบัน เนื่องจากมีช่วงการวัดที่สามารถวัด อุณหภูมิได้สูงและราคาถูก ลักษณะของสายวัดอุณหภูมิแสดงในภาพที่ 3.4



ภาพที่ 3.4 สายวัดอุณหภูมิ ชนิด K-Type

### 3.2 วิธีการทดลอง

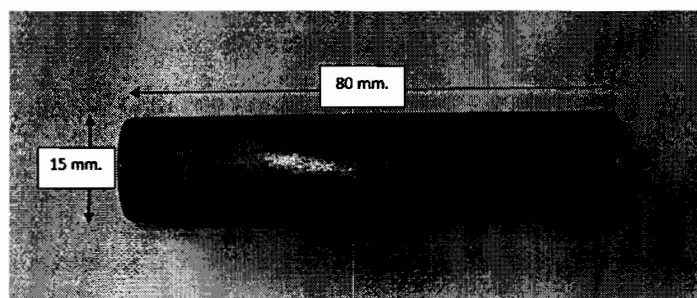
ในวิธีการทดลองจะอธิบายถึงขั้นตอนการทดลองตั้งแต่กระบวนการเตรียมชิ้นงาน ข้อมูลของวัสดุที่ใช้ทดลอง วิธีการทดลองและขั้นตอนการสร้างแบบจำลองทางคอมพิวเตอร์โดย ระบบวิธีไฟโนต์โอลิเมนต์ ซึ่งแบ่งออกเป็น 2 หัวข้อหลักๆ ดังนี้

#### 3.2.1 การเขื่อมด้วยวิธีเสียดทาน

โดยปกติการเขื่อมด้วยวิธีเสียดทานนั้นจะไม่ยุ่งยากและซับซ้อนมากนัก จะ ประกอบด้วยชิ้นงานสองชิ้นก็ทำการเขื่อมได้ แต่ในการวิจัยนี้จะทำการเขื่อมและวัดอุณหภูมิไป พร้อมกัน จึงจะต้องมีขั้นตอนที่เพิ่มขึ้นอีกหนึ่งสิ่งสองขั้นตอน คือ การเจาะรูที่ชิ้นงาน และการเขื่อม สายวัดอุณหภูมิเข้ากับรูที่เจาะกับชิ้นงาน ซึ่งต่อไปนี้จะเป็นการดำเนินขั้นตอนการทดลอง ตั้งแต่การ อธิบายรายละเอียดข้อมูลของวัสดุที่ใช้ทดลอง การเตรียมชิ้นงานก่อนทดลอง การทดสอบวิธีการวัด อุณหภูมิก่อนทำการทดลอง การปรับปรุงวิธีการวัดหรือการทดลองเชื่อมจริง รวมถึงเงื่อนไขการ ทดลองและการตั้งค่าเงื่อนไขการทดลอง ซึ่งมีรายละเอียดดังต่อไปนี้

### 3.2.1.1 วัสดุที่ใช้ในการทดลอง

วัสดุที่ใช้ในการทดลองเป็นเหล็กคาร์บอนต่ำ (Low carbon steel) ความกว้าง 80 mm. ขนาดเส้นผ่าศูนย์กลาง 15 mm. ขนาดของเหล็กคาร์บอนต่ำแสดงไว้ในภาพที่ 3.5 นอกจากนี้ยังได้ทำการวิเคราะห์ห้าส่วนประกอบทางเคมี โดยส่งชิ้นงานไปทดสอบกับศูนย์ทดสอบสถาบันเหล็กและเหล็กกล้าแห่งประเทศไทย ด้วยเครื่องสเปกตรومิเตอร์ (Spectrometer) ทำการทดสอบชิ้นงานจำนวน 3 ชิ้น แล้วหาค่าเฉลี่ย ซึ่งผลการทดสอบได้แสดงไว้ในตารางที่ 3.1



ภาพที่ 3.5 ขนาดของเหล็กคาร์บอนต่ำที่ใช้ในการทดลอง

ตารางที่ 3.1 ส่วนประกอบทางเคมีของเหล็กคาร์บอนต่ำ (wt %)

ส่วนผสม ชิ้นที่	C	Si	Mn	P	S	Cr	Mo	Ni	Al	Cu
ชิ้นที่ 1	0.116	0.238	0.315	0.010	0.010	0.032	0.004	0.036	0.014	0.048
ชิ้นที่ 2	0.116	0.245	0.318	0.011	0.011	0.032	0.004	0.027	0.014	0.049
ชิ้นที่ 3	0.118	0.238	0.315	0.011	0.011	0.032	0.004	0.036	0.014	0.048
เฉลี่ย	0.116	0.240	0.316	0.011	0.010	0.032	0.004	0.033	0.014	0.048

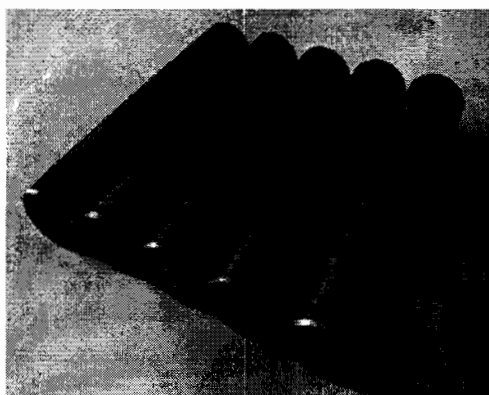
ผลที่ได้จากการทดสอบจากตารางที่ 3.1 คือ ส่วนประกอบทางเคมีของเหล็กคาร์บอนต่ำที่มีธาตุคาร์บอน (C) ผสมอยู่โดยเฉลี่ย 0.116 % และสามารถนำไปหาค่าคุณสมบัติในทางความร้อน (Thermal properties) ได้แก่ ค่าการนำความร้อน (Thermal conductivity) และค่าความร้อนจำเพาะ (Specific heat) ดังแสดงไว้ในตารางที่ 3.2 [26] รวมถึงคุณสมบัติทางกล (Mechanical properties) ซึ่งมีความสำคัญต่อการคำนวณผลของแบบจำลองที่จะต้องกำหนดในโปรแกรม ซึ่งจะอธิบายในหัวข้อการกำหนดคุณสมบัติของวัสดุต่อไป

ตารางที่ 3.2 คุณสมบัติทางความร้อนของเหล็กคาร์บอนต่ำ

อุณหภูมิ ( $^{\circ}\text{C}$ )	27	100	200	400	600	800	1,000	1,200
ค่าการนำความร้อน (W/mK)	51.6	51.1	49.0	42.7	35.6	26.0	5.0	0.6
ค่าความร้อนจำเพาะ (J/kgK)	473	486	520	599	749	950	644	661

### 3.2.1.2 กลึงผิวน้ำสัมผัสชิ้นงาน

หลังจากที่ตัดเตรียมชิ้นงานให้ได้ความยาว 80 mm. ตามที่ต้องการ จานนั้นนำชิ้นงานที่ได้ไปกลึงปิดผิวน้ำสัมผัส เพื่อช่วยให้บริเวณพื้นที่สัมผัสของชิ้นงานทั้งสองมีความเรียบเสมอกัน ซึ่งจะช่วยลดความผิดเมื่อชิ้นงานเริ่มสัมผัสเดียดกันในช่วงแรกของการเชื่อมลักษณะของชิ้นงานที่ผ่านการกลึงผิวน้ำสัมผัส แสดงในภาพที่ 3.6



ภาพที่ 3.6 ลักษณะชิ้นงานที่ผ่านการกลึงผิวน้ำสัมผัส

### 3.2.1.3 การทดสอบวิธีการวัดอุณหภูมิ

ก่อนทำการทดลองวัดอุณหภูมิ เราไม่ทราบว่าการเจาะรูเพื่อทำการเชื่อมสายวัดอุณหภูมิกับชิ้นงานแล้ววัดอุณหภูมิจะสามารถทำได้ และผลของการวัดอุณหภูมนั้นจะมีความถูกต้องแม่นยำมากน้อยเพียงใด ดังนั้นก่อนจะทำการทดลองจริงจึงเก็บการทดสอบวิธีการวัดดังกล่าวว่าสามารถวัดและบันทึกอุณหภูมิได้ โดยเริ่มจากการเจาะรูที่ชิ้นงานจำนวน 2 รู เพื่อทำการเชื่อมสายวัดอุณหภูมิ ซึ่งจะเจาะให้ห่างจากพื้นที่เดียดกันเป็นระยะ 5 mm. และ 10 mm. ดังแสดงในภาพที่ 3.7 และทำการทดลอง 2 ครั้ง โดยใช้เงื่อนไขในตารางที่ 3.3

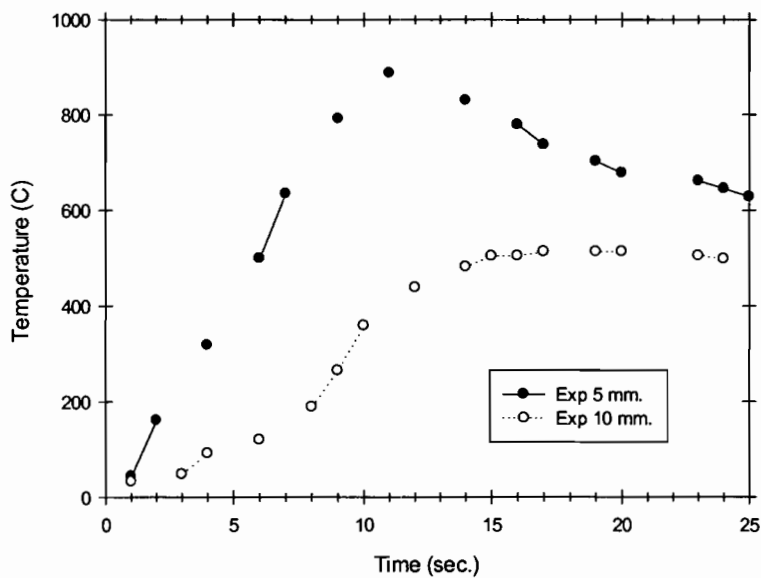
ตารางที่ 3.3 เงื่อนไขที่ใช้ทดสอบการวัดอุณหภูมิ

ตัวแปร เงื่อนไข	แรงดันเสียดทาน $P_1$ (bar)	เวลาเสียดทาน $T_1$ (sec.)	แรงดันอัด $P_2$ (bar)	เวลาอัด $T_2$ (sec.)	ความเร็วรอบ (rpm)
1	20	10	60	5	1,300
2	30	15	60	5	1,300

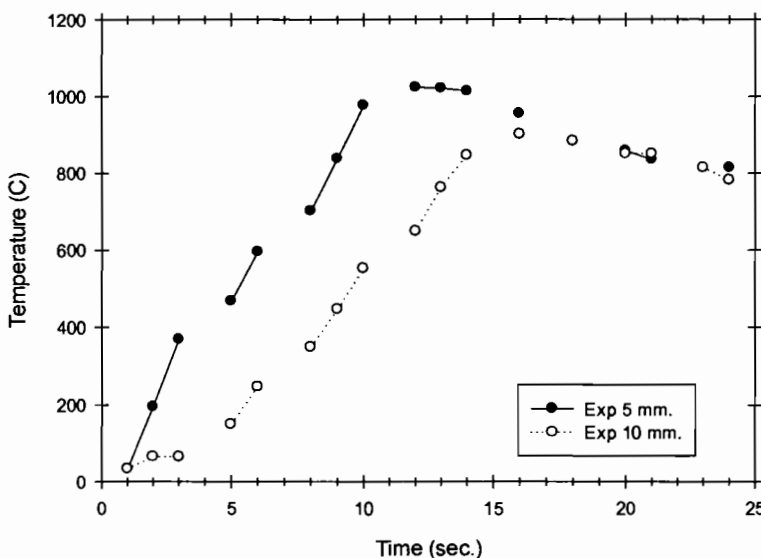


ภาพที่ 3.7 การทดสอบวิธีการวัดอุณหภูมิ

ผลจากการทดสอบวิธีการวัดอุณหภูมิ พบว่า สามารถวัดและบันทึกผลอุณหภูมิที่เกิดขึ้นได้ จากภาพที่ 3.8 และ 3.9 เป็นกราฟแสดงผลการกระจายตัวของอุณหภูมิจากการเชื่อม ซึ่งกราฟทั้งสองเส้นเป็นกราฟอุณหภูมิของจุดวัด 5 mm. และ 10 mm. โดยพบว่า เมื่อทำการเพิ่มเวลา จาก 10 sec. เป็น 15 sec. และแรงดันเสียดทานจาก 20 bar เป็น 30 bar แนวโน้มของอุณหภูมิมีค่าที่เพิ่มขึ้น จากประมาณ  $900^{\circ}\text{C}$  เป็น  $1,000^{\circ}\text{C}$  (อ้างอิงที่จุดวัด 5 mm.)



ภาพที่ 3.8 ผลการวัดอุณหภูมิก่อนทำการทดลองจริง (เงื่อนไขชุดที่ 1)

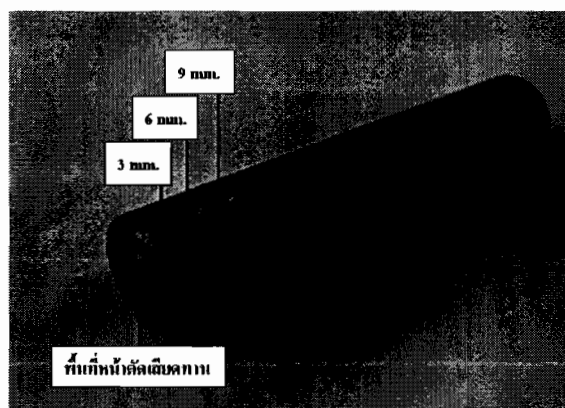


ภาพที่ 3.9 ผลการวัดอุณหภูมิก่อนทำการทดลองจริง (เงื่อนไขชุดที่ 2)

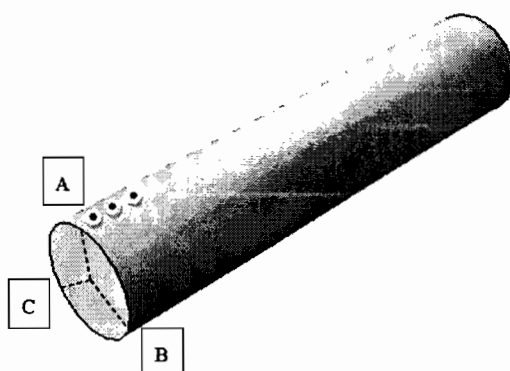
เมื่อทราบว่าการวัดอุณหภูมิตามวิธีการดังกล่าว สามารถวัดและบันทึกผลอุณหภูมิที่เกิดขึ้นตามกระบวนการได้แล้ว ขั้นตอนต่อไปจะเป็นขั้นตอนการปรับปรุงวิธีการวัดอุณหภูมิให้เหมาะสมกับการทดลอง รวมถึงเงื่อนไขการทดลองและการตั้งค่าเงื่อนไขการทดลอง โดยจะได้อธิบายดังต่อไปนี้

### 3.2.1.4 การปรับปรุงวิธีการวัดอุณหภูมิ

สูรสิงห์ อารยางค์กูร และคณะ (2552) [13] ได้ทำการทดลองหาความแข็งของรอยเชื่อมในเหล็กคาร์บอนตัวที่เชื่อมด้วยวิธีเสียดทาน ผลการทดลองพบว่า พื้นที่ที่ได้รับผลกระทบจากความร้อนและส่งผลต่อความแข็งแรงของรอยเชื่อมนั้นจะมีระยะประมาณ 0-6 mm. ดังนั้นจุดที่จะทำการวัดอุณหภูมิจึงอยู่อิ่มจากพื้นที่ที่ได้รับผลกระทบจากความร้อน หรือ เรียกว่า โซนความร้อน (Heat effected zone) โดยจะเจาะรูที่ชิ้นงานให้ลึกประมาณ 3 mm. และห่างจากพื้นที่เสียดทานเป็นระยะ 3 mm., 6 mm. และ 9 mm. รวม 3 จุด เพื่อให้สามารถวัดอุณหภูมิได้อย่างละเอียด และทราบการกระจายตัวของอุณหภูมิจากจุดสู่จุด ดังแสดงในภาพที่ 3.10 จากนั้นเจาะรูรอบชิ้นงานให้ได้ทั้งหมด 3 แนว (A, B, และ C) แสดงในภาพที่ 3.11 จะได้จุดวัดทั้งหมดรวม 9 จุด เพื่อทำการวัดอุณหภูมิโดยรอบชิ้นงาน



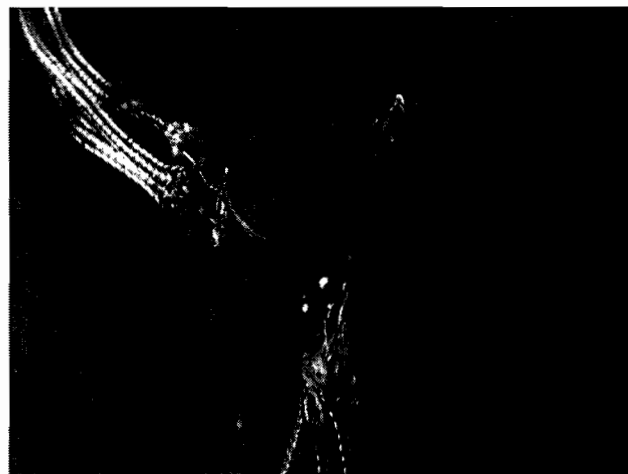
ภาพที่ 3.10 เจาะรูเพื่อกำหนดจุดวัดอุณหภูมิที่ระยะ 3 mm., 6 mm. และ 9 mm.



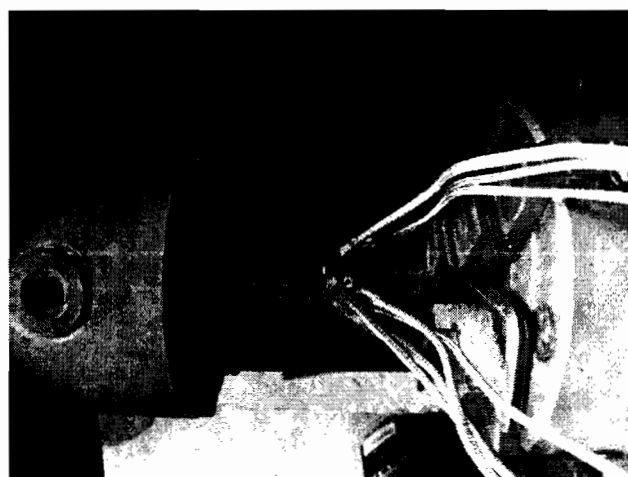
ภาพที่ 3.11 แนวทางเจาะรูรอบชิ้นงาน (A, B และ C)

### 3.2.1.5 การเชื่อมต่อสายวัดอุณหภูมิกับชิ้นงาน

เมื่อเจาะรูทั้งหมดเรียบร้อยแล้ว นำสายวัดอุณหภูมิเชื่อมเข้ากับรูที่เจาะไว้ โดยใช้การบัดกรีด้วยตะเก็บ ในขั้นตอนนี้จะต้องเชื่อมสายวัดอุณหภูมิกับรูของชิ้นงานให้แน่น เพราะถ้าเชื่อมไม่แน่นเวลาทดลองจะหลุดออกทำให้ไม่สามารถตรวจสอบได้ หรือวัสดุได้ไม่ถูกกระบวนการ ดังนั้นจะต้องตรวจสอบ การเชื่อมสายวัดอุณหภูมิและการวางแนวสายวัดอุณหภูมิให้เรียบร้อยก่อนทำการทดลองทุกครั้ง ลักษณะการเชื่อมสายวัดอุณหภูมิกับชิ้นงาน แสดงในภาพที่ 3.12 สำหรับภาพที่ 3.13 เป็นภาพการติดตั้งชิ้นงานเข้ากับเครื่องเชื่อมด้วยวิธีเสียดทาน



ภาพที่ 3.12 การเชื่อมต่อสายวัดอุณหภูมิกับชิ้นงาน



ภาพที่ 3.13 การติดตั้งชิ้นงานที่เชื่อมสายวัดอุณหภูมิเข้ากับเครื่องเชื่อมด้วยวิธีเสียดทาน

### 3.2.1.6 เงื่อนไขการทดลอง

เงื่อนไขการทดลองในการวิจัยนี้จะแบ่งออกเป็น 3 กลุ่ม โดยแต่ละกลุ่มจะมีความแตกต่างกันที่แรงดันเสียดทาน (Friction pressure) คือ 20 bar, 30 bar และ 40 bar และ เวลาเสียดทาน (Friction time) คือ 15 sec., 18 sec. และ 21 sec. จะเห็นว่าเงื่อนไขการทดลองมีแนวโน้มที่เพิ่มขึ้น ทั้งนี้เพื่อให้ผลการทดลองมีแนวโน้มที่แตกต่างกัน และเงื่อนไขที่ใช้ในการทดลองเป็นเงื่อนไขเดียวกันกับการคำนวณในแบบจำลอง ตัวแปรที่เกี่ยวข้องมีอยู่ 5 ตัวแปร แสดงในตารางที่ 3.4 [1] ทั้งนี้ในแต่ละเงื่อนไขนั้นจะทำการทดลองซ้ำ 3 ครั้ง แล้วเฉลี่ยผลการทดลอง

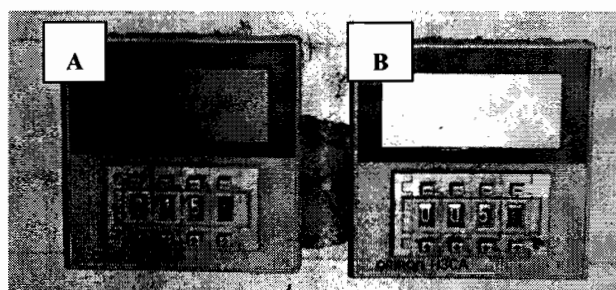
ตารางที่ 3.4 เงื่อนไขการทดลอง

ตัวแปร เงื่อนไข	แรงดันเสียดทาน $P_1$ (bar)	เวลาเสียดทาน $T_1$ (sec.)	แรงดันอัด $P_2$ (bar)	เวลาอัด $T_2$ (sec.)	ความเร็วอน (rpm)
1	20	15	60	5	1,300
2	30	18	60	5	1,300
3	40	21	60	5	1,300

เหตุผลของการเลือกทำการทดลองเพียงบางคู่ก็ เพราะว่า ต้องการสอนเทียนแบบจำลองเท่านั้น และการเลือกคู่ที่แตกต่างกันบางคู่ก็เพื่อใช้เป็นฐานในการสอนเทียนแบบจำลอง

### 3.2.1.7 ชุดควบคุมเวลา (Timer)

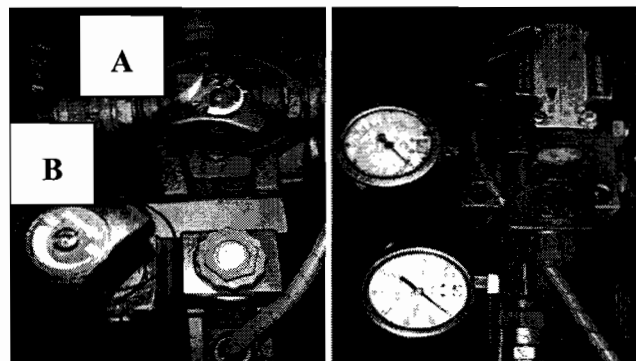
ชุดควบคุมเวลา (Timer) มีหน้าที่ควบคุมเวลาในการเขื่อนให้อยู่ภายใต้ช่วงเวลาที่เหมาะสม ซึ่งมีด้วยกันอยู่ 2 ชุด คือ ชุดควบคุมเวลาเสียดทาน (A) ทำการตั้งเวลาตามเงื่อนไขการทดลอง 3 ค่า ได้แก่ 15 sec. 18 sec. และ 21 sec. และ ชุดควบคุมเวลาในการอัด (B) ทำการตั้งเวลาตามเงื่อนไขการทดลอง 1 ค่า คือ 5 sec. ชุดควบคุมเวลาแสดงในภาพที่ 3.14



ภาพที่ 3.14 ชุดควบคุมเวลา (Timer)

### 3.2.1.8 ชุดควบคุมแรงดัน (Electric solenoid valve)

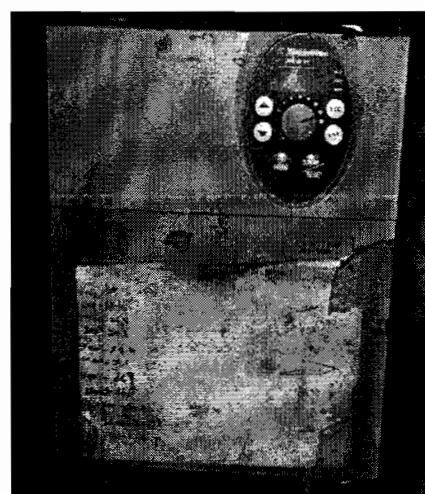
ชุดควบคุมแรงดัน (Electric solenoid valve) มีหน้าที่ควบคุมแรงดันให้เหมาะสมต่อกระบวนการเชื่อม ซึ่งมีด้วยกันอยู่ 2 ชุด คือ ชุดควบคุมแรงดันเตี้ยด้าน (A) ทำการปรับแรงดันตามเงื่อนไขการทดลอง 3 ค่า ได้แก่ 20 bar 30 bar และ 40 bar และชุดควบคุมแรงดันขัด (B) ทำการปรับแรงดันตามเงื่อนไขการทดลอง 1 ค่า คือ 60 bar ลักษณะชุดควบคุมแรงดัน แสดงในภาพที่ 3.15



ภาพที่ 3.15 ชุดควบคุมแรงดัน (Electric solenoid valve)

### 3.2.1.9 ชุดควบคุมความเร็วของมอเตอร์ (Inverter)

ชุดควบคุมความเร็ว (Inverter) มีหน้าที่ควบคุมความเร็วของมอเตอร์ให้มีความคงที่ โดยจะทำการปรับดังค่าตามเงื่อนไขการทดลอง คือ 1,300 rpm ลักษณะของเครื่องควบคุมความเร็ว แสดงในภาพที่ 3.16



ภาพที่ 3.16 เครื่องควบคุมความเร็ว (Inverter)

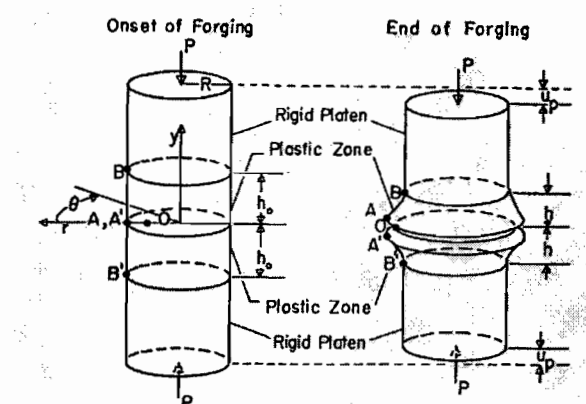
### 3.3 การสร้างแบบจำลองโดยระเบียนวิธีไฟน์เอลิเม้นต์

ในการศึกษานี้ใช้วิธีการสร้างแบบจำลอง (Model) ตามรูปร่างลักษณะของชิ้นงานเดิมแล้วแบ่งชิ้นงานออกเป็นส่วนเด็กๆที่เรียกว่าเอลิเม้นต์ (Element) และจะต้องกำหนดรายละเอียดที่สำคัญในแบบจำลอง เช่น การกำหนดคุณสมบัติของวัสดุ (Material properties) การกำหนดเงื่อนไขขอบเขต (Boundary condition) และกำหนดขั้นตอนการทำงาน (Step) โดยคอมพิวเตอร์จะทำการทำงานตามเงื่อนไขต่างๆที่เราป้อนค่าเข้าไปแล้ววิเคราะห์พุติกรรม หรือ ประมวลผลแล้วหาคำตอบของระบบภายใต้ข้อกำหนดที่วางไว้

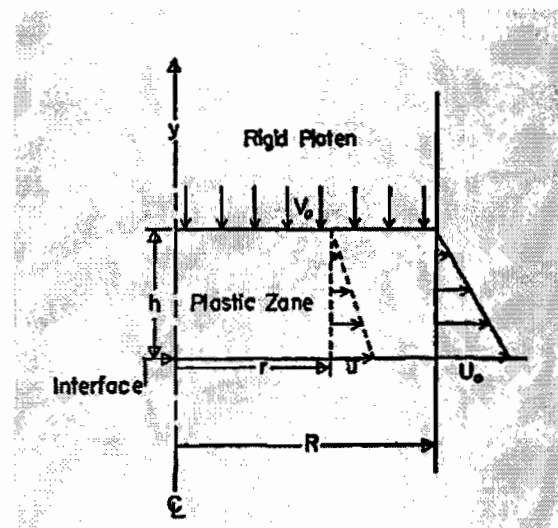
#### 3.3.1 พุติกรรมของโลหะในแบบจำลอง

ก่อนการสร้างแบบจำลองนั้นจะต้องศึกษาพุติกรรมต่างๆที่เกิดขึ้นในวัสดุจากกระบวนการกดดอง เช่น แรงภายนอกที่กระทำและคุณสมบัติภายในของวัสดุ เพราะถ้าการจำลองมีความสมจริงแล้วจะส่งผลให้เกิดข้อผิดพลาดน้อยเวลาก่อนพิวเตอร์คำนวณ หรือเมื่อเกิดข้อผิดพลาดก็จะทำให้ตรวจสอบและติดตามหาข้อผิดพลาดนั้นได้ง่ายจากขั้นตอนที่เรากำหนดขึ้น

ในแบบจำลองจะทำการแบ่งชิ้นงานออกเป็นสองส่วน คือ ส่วนที่แข็ง (Rigid zone) และส่วนที่เสียรูป (Plastic zone) ดังภาพที่ 3.17 แสดงการแบ่งส่วนที่แข็ง (Rigid zone) และส่วนเสียรูป (Plastic zone) ให้กับชิ้นงาน ซึ่งส่วนแข็ง จะรับแรงจากแรงในแนวแกน ( $P$ ) และส่วนที่เสียรูป ก่อวายคือ ก่อนเขื่อมชิ้นงานจะยังไม่เกิดการเสียรูป ( $h_0$ ) เมื่อเริ่มทำการเขื่อมเสียดทาน ภายใต้แรงดันในแนวแกนและหมุนด้วยความเร็วอบ ชิ้นงานจะเกิดความร้อนและการเสียรูป (Plastic deformation) ( $h$ ) และภาพที่ 3.18 แสดงลักษณะการเสียรูปจากการเสียรูปของบริเวณส่วนที่เสียรูป (Plastic zone)

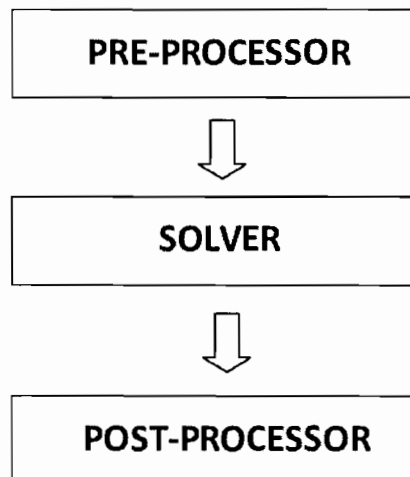


ภาพที่ 3.17 การแบ่งส่วนที่แข็ง (Rigid zone) และส่วนที่เสียรูป (Plastic zone) [35]



ภาพที่ 3.18 ลักษณะแรงเฉือนบริเวณส่วน Plastic zone [35]

เมื่อทำการศึกษาพฤติกรรมของวัสดุที่เกิดจากการเชื่อมด้วยวิธีเสียดทานในเบื้องต้นแล้ว ขั้นตอนต่อไปจะเป็นกระบวนการสร้างแบบจำลอง โดยแบ่งออกเป็น 3 กระบวนการ ได้แก่ กระบวนการขั้นต้น (Pre-processor) กระบวนการประมวลผล (Solver) และ กระบวนการประมวลผล (Post-processor) ดังแสดงในภาพที่ 3.19



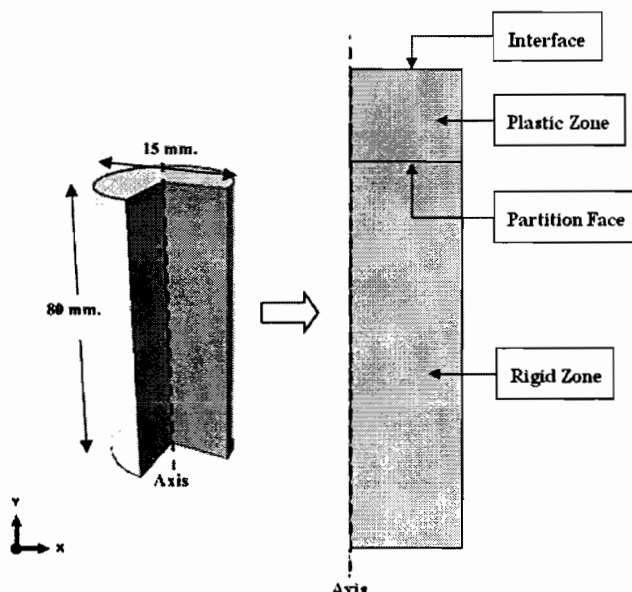
ภาพที่ 3.19 ขั้นตอนการวิเคราะห์ของซอฟแวร์ CAE

### 3.3.2 กระบวนการขั้นต้น (Pre-processor)

กระบวนการขั้นต้น (Pre-processor) เป็นการเตรียมข้อมูลจากงานจริงทั้งหมด ก่อนส่งให้ส่วนกระบวนการวิเคราะห์ (Analysis) ประกอบไปด้วยขั้นตอนต่างๆ ดังนี้

#### 3.3.2.1 การสร้างแบบจำลองทางคอมพิวเตอร์ (CAD)

แบบจำลองที่ใช้ในการวิเคราะห์ผลจะจำลองตามลักษณะสัดส่วนของชิ้นงานจริง ชนิดของแบบจำลองที่สร้างในซอฟแวร์เป็นแบบแผ่นบาง (Shell) ชนิด 2D Axisymmetric และแบ่งชิ้นงานออกเป็นสองส่วน ได้แก่ ส่วนที่จะเกิดการเสียรูปแบบพลาสติก (Plastic zone) และส่วนที่ไม่เกิดการเสียรูป (Rigid zone) โดยใช้คำสั่งการแบ่งส่วน (Partition face) เป็นตัวแบ่งส่วน ดังแสดงในภาพที่ 3.20

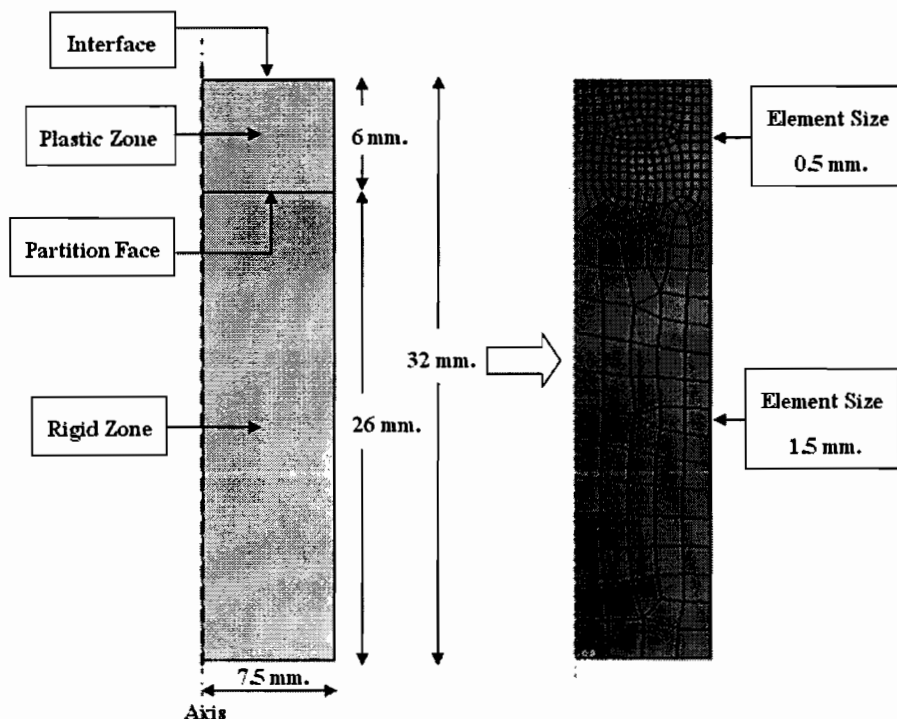


ภาพที่ 3.20 ลักษณะการสร้างแบบจำลองทางคอมพิวเตอร์ (CAD)

การสร้างแบบจำลองชิ้นงานจำลองให้เป็นแบบแผ่นบาง (Shell element) ที่มีความสมมาตร 2 มิติ ใช้อลิเมนต์ชนิด CGAX4HT:A4-node และ CGAX3HT:A3-node ข้อดีของ การจำลองในลักษณะนี้ คือ สามารถลดจำนวนของอลิเมนต์ และลดระยะเวลาในการคำนวณ นอกจากนี้ยังลดความยาวของชิ้นงานจาก 80 mm. ให้เหลือ 32 mm. และลดความกว้าง 15 mm. ให้เหลือ 7.5 mm. จากนั้นจะแบ่งชิ้นงานให้เป็นสองส่วน ได้แก่ ส่วนที่ยาว 26 mm. อลิเมนต์มีขนาด 1.5 mm. คือส่วนที่แข็ง (Rigid Zone) และส่วนที่ยาว 6 mm. อลิเมนต์มีขนาด 0.5 mm. คือส่วนที่เสียรูป (Plastic Zone) ดังแสดงในภาพที่ 3.21

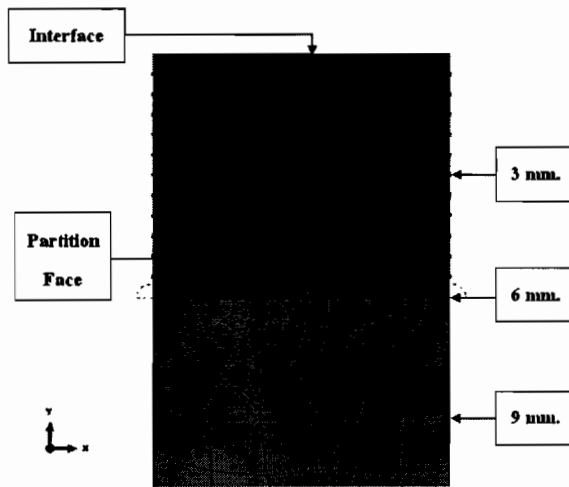
เอลิเมนต์ที่มีขนาดเล็ก ( $0.5 \text{ mm.}$ ) จะเป็นส่วนที่ถูกจำลองให้เกิดการเดินรูปแบบพลาสติก (Plastic deformation) จากแรงดันในแนวแกนและความเร็วของ ซึ่งเป็นการจำลองให้เหมาะสมตามลักษณะการเดินรูปที่เกิดขึ้นจริง นอกจากนี้เอลิเมนต์ที่มีขนาดเล็กจะสามารถทำนายผลได้อย่างละเอียดกว่าเอลิเมนต์ที่มีขนาดใหญ่ ( $1.5 \text{ mm.}$ )

สำหรับกรณีการสร้างแบบจำลองที่มีการลดขนาดจากขนาดของชิ้นงานจริงนั้น จะไม่ส่งผลกระทบใดๆต่อแบบจำลอง เพราะส่วนที่ให้ความสนใจและต้องการที่จะศึกษาคือส่วนที่ทำการวัดอุณหภูมิตามการทดลอง คือ  $3 \text{ mm.}$ ,  $6 \text{ mm.}$  และ  $9 \text{ mm.}$  เท่านั้น ดังนั้นส่วนที่ตัดออกจะเป็นส่วนที่อยู่นอกเหนือขอบเขตของการศึกษา



ภาพที่ 3.21 การกำหนดขนาดของเอลิเมนต์ (Element size)

การกำหนดครุคบันทึกอุณหภูมิ จากแบบจำลองการเชื่อมนั้นจะกำหนดให้บันทึกอุณหภูมิที่โนด (Node) ซึ่งเป็นโนดที่อยู่บริเวณขอบของชิ้นงาน ตามระยะที่ทำการทดลองวัดอุณหภูมิ คือ  $3 \text{ mm.}$ ,  $6 \text{ mm.}$  และ  $9 \text{ mm.}$  แสดงในภาพที่ 3.22



ภาพที่ 3.22 การกำหนดจุดวัดอุณหภูมิในแบบจำลอง

### 3.3.2.2 การกำหนดคุณสมบัติของวัสดุ (Material properties)

การกำหนดคุณสมบัติของวัสดุ (Material properties) ถือว่าเป็นขั้นตอนที่มีความสำคัญสำหรับการทำนายผลของแบบจำลอง เพราะเป็นขั้นตอนที่กำหนดคุณสมบัติเฉพาะให้การจำลองออกแบบเสร็จเรียบร้อยและมีความแม่นยำ ปัจจุบันโปรแกรมหลายโปรแกรมได้นำเอาคุณสมบัติของวัสดุมาเก็บไว้ในฐานข้อมูล ซึ่งผู้ใช้โปรแกรมในการสร้างแบบจำลอง (CAE) สามารถเลือกใช้งานได้ แต่ถ้าหากคุณสมบัติของวัสดุไม่มีอยู่ในฐานข้อมูลของโปรแกรมที่ใช้สร้างแบบจำลอง (CAE) ก็สามารถทำการทดสอบคุณสมบัติของวัสดุหรือ ค้นหาข้อมูลได้จากเว็บไซด์ เช่น [www.Matweb.com](http://www.Matweb.com) สำหรับรายละเอียดคุณสมบัติของวัสดุที่กำหนดในแบบจำลอง FEA มีอยู่ 2 ส่วน คือ

1) คุณสมบัติเชิงกล (Mechanical properties) เป็นคุณสมบัติที่เกี่ยวกับปฏิกิริยาที่เกิดขึ้นของวัสดุ เมื่อมีแรงกดดันอกระทำต่อวัสดุ ค่าที่กำหนดในแบบจำลอง ได้แก่

- ค่าความหนาแน่น (Density)  $7,870 \text{ kg/m}^3$
- ค่ามอดูลัสของยัง (Young's modulus)  $210 \text{ GPa}$  และอัตราส่วนปัวซอง (Poisson's ratio)  $0.29$

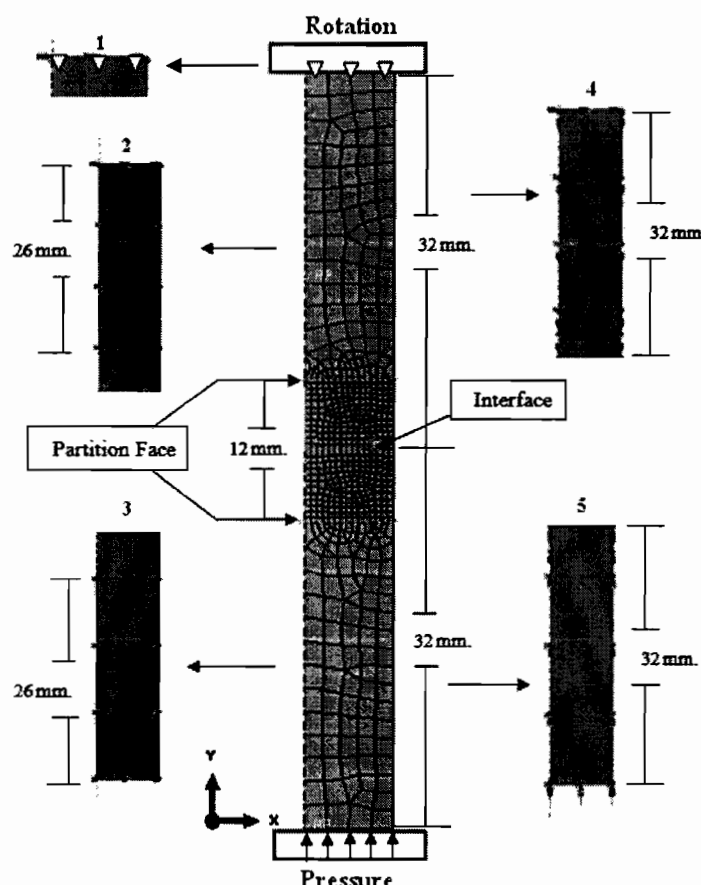
- ค่าการเปลี่ยนรูปแบบพลาสติก (Plastic deformation) โดยใช้ค่าความเค้นที่จุดคราก (Yield stress) คือ  $425 \text{ MPa}$

2) คุณสมบัติทางความร้อน (Thermal properties) เป็นคุณสมบัติการตอบสนองของวัสดุต่อปฏิกิริยาทางความร้อน เช่น การดูดซับพลังงานของแสงในรูปของความร้อนด้วยการเพิ่มอุณหภูมิ และพลังงานจะถ่ายเทไปยังบริเวณที่มีอุณหภูมิต่ำกว่า โดยวัสดุอาจ

เกิดการหลอมเหลวในบริเวณที่มีอุณหภูมิสูง ซึ่งค่าความร้อนจำเพาะ (Specific heat) และค่าการนำความร้อน (Thermal conductivity) เป็นค่าที่เกี่ยวข้องโดยตรงและจะต้องกำหนดในแบบจำลอง ซึ่งได้อธิบายไว้แล้วในส่วนต่อจากหัวข้อ วัสดุที่ใช้ในการทดลอง ในตารางที่ 3.2

### 3.3.2.3 การกำหนดเงื่อนไขข้อมเขต (Boundary condition : BC)

ขั้นตอนนี้เป็นอีกขั้นตอนหนึ่งที่มีความสำคัญมาก เนื่องจากการกำหนดเงื่อนไขข้อมเขต (BC) จะทำให้ได้ผลลัพธ์ที่สอดคล้องกับพฤติกรรมที่เกิดขึ้นจริง เช่น หากต้องการวิเคราะห์การเสียรูปของวัสดุ (Material deformation) และการวิเคราะห์ถ่ายเทความร้อน (Temperature distribution) ซึ่งจะต้องแบ่งชั้นงานออกเป็นส่วนๆ โดยกำหนดจุดที่จะรับแรงและบริเวณที่จะเกิดการเสียหายตามปรากฏการณ์ที่เกิดขึ้นจริง กระบวนการนี้โดยปกติจะใช้เวลามากในทางปฏิบัติ เพราะจำเป็นต้องสร้างรูปร่างของปัญหาอย่างถูกต้องซึ่งมาก่อน ซึ่งรูปร่าง (Geometry) ของปัญหาอาจจะประกอบไปด้วยหลายส่วนที่มีความซับซ้อน ดังนั้นจึงจะต้องอาศัยความละเอียดเป็นอย่างมากในการวิเคราะห์



ภาพที่ 3.23 ลักษณะการกำหนดเงื่อนไขข้อมเขต (BC)

จากนั้นจึงประยุกต์เงื่อนไขขอบเขต (BC) ของปัญหานี้ฯเพื่อแก้สมการและหาผลลัพธ์ตรงจุดที่เราต้องการทราบผลซึ่งหากแก้ปัญหาการถ่ายเทความร้อน ผลลัพธ์ที่ออกมายจะอยู่ในรูปของอุณหภูมิ หรือหากวิเคราะห์การเดียรูป ผลลัพธ์เหล่านี้จะแสดงผลเป็นการเคลื่อนตัวของโครงสร้าง ลักษณะการทำหนดเงื่อนไขขอบเขต (BC) ให้กับชิ้นงานที่จะเชื่อมด้วยวิธีเดียดทานในงานวิจัยนี้ แสดงในภาพที่ 3.23

จากภาพที่ 3.23 แสดงการทำหนดเงื่อนไขขอบเขต (BC) ให้กับแบบจำลองคือ ชิ้นงานสองชิ้นที่จะทำการเชื่อมด้วยวิธีเดียดทาน ได้แก่ ชิ้นงานที่อยู่ด้านบนและด้านล่าง ชิ้นงานที่อยู่ด้านบนคือชิ้นงานที่จะต้องหมุนด้วยความเร็วรอบค่าหนึ่ง (Rotation) และชิ้นงานด้านล่างคือชิ้นงานที่จะต้องได้รับแรงดัน (Pressure) ซึ่งจะอธิบายรายละเอียดของการทำหนดเงื่อนไขขอบเขต (BC) ทั้งหมด ดังต่อไปนี้

1) การทำหนดจุดยึดบริเวณส่วนท้ายของชิ้นงานที่หมุน เพื่อไม่ให้ชิ้นงานเคลื่อนที่ขึ้ลงในแนวแกน Y แต่สามารถหมุนรอบแกน Y ได้ โดยใช้คำสั่ง YSYM (U2=UR1=UR3=0)

2) การทำหนดให้ชิ้นงานที่หมุนสามารถเดียรูปได้ในแนวแกน Y (Displacement/Rotation) เลือกเฉพาะส่วนที่ยาว 26 mm. โดยกำหนดให้ U1=0 สำหรับ U2 และ UR2 จะปล่อยให้เป็นการคำนวณของแบบจำลอง (UR3, UR2: Radians Unit)

3) การทำหนดให้ชิ้นงานที่อยู่ด้านล่างหรือชิ้นงานที่รับแรงในแนวแกนให้สามารถเคลื่อนที่หรือเดียรูปได้ในแนวแกน Y (Displacement/Rotation) เลือกเฉพาะส่วนที่ยาว 26 mm. โดยกำหนดให้ U1=0 สำหรับ U2 และ UR2 จะปล่อยให้เป็นการคำนวณของแบบจำลอง (UR3, UR2: Radians Unit) ซึ่งในตอนที่ 2 และตอนที่ 3 จะมีความคล้ายกัน

4) การทำหนดให้ชิ้นงานหมุนด้วยความเร็วตามเงื่อนไขเดียกันกับการทำหนด คือ 1,300 rpm ให้หมุนในแนวแกน Y (Velocity/Angular Velocity) ทำการเลือกทั้งหมดของส่วนที่หมุน คือ 32 mm. แต่เนื่องจากหน่วยที่ใช้ในโปรแกรม CAE มีหน่วยเป็นความเร็วเชิงมุม ( $\omega$ )  $rad/s$  จึงทำการแปลงหน่วยได้ดังนี้

$$\text{จากสูตร} \quad \omega = \frac{2\pi N}{T}, rad/s \quad (3.1)$$

$$\text{จะได้} \quad \omega = \left( 1,300 \frac{rev}{min} \right) \left( 2\pi \frac{rad}{rev} \right) \left( \frac{min}{60s} \right) \quad (3.2)$$

$$\omega = 136 \quad rad/s$$

จากนั้นจึงกำหนดให้ VR2=-136 rad/s (ติดลบ เพราะมีทิศทางหรือ -Y)

5) การกำหนดให้ชิ้นงานที่อยู่ด้านล่างหรือชิ้นงานที่รับแรงดัน (Pressure Load) ทำการเลือกทั้งหมดของชิ้นงานซึ่งยาว 32 mm. ที่เคลื่อนที่เข้าหาชิ้นงานที่มุนด้วยความเร็ว รอบ ในทิศแกน Y (Displacement/Rotation) โดยกำหนดให้  $UR2=0$ ,  $UR3=0$  สำหรับ U1 และ U2 ปล่อยให้เป็นอิสระตามทิศการเคลื่อนที่ตามโหลด (Y) และทิศการเสียบูป (X)

สำหรับเงื่อนไขในการคำนวณการเชื่อม ที่สำคัญและจะต้องกำหนดในโปรแกรม ใช้เงื่อนไขเดียวกันกับการทดสอบ ดังแสดงในตารางที่ 3.4 โดยจะขอยกตัวอย่างการกำหนดเงื่อนไขในโปรแกรม จากเงื่อนไขดังที่ 1 ดังนี้

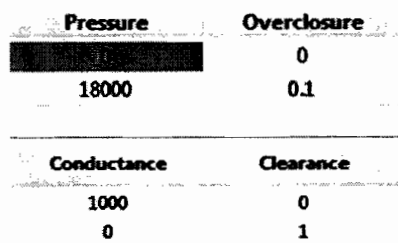
1) การกำหนดขั้นตอน (Step) การทำงานของตัวแปร เวลาเสียดทาน ( $T_1$ ) 15 sec. และเวลาอัด ( $T_2$ ) 5 sec. ซึ่งเป็นการทำงาน 2 ขั้นตอน ดังนั้น จะต้องสร้างขั้นตอนขึ้นมา 2 ขั้นตอน ในแบบเครื่องมือ (Step Manager) ได้แก่ ขั้นตอนการทำงานของตัวแปรเวลาเชื่อมเสียดทาน (Step Weld) และ ขั้นตอนการทำงานของตัวแปรเวลาอัด (Step Upset)

2) การกำหนดภาระ (Load) ให้กับแบบจำลอง เป็นการทำงานของตัวแปร แรงดันเสียดทาน ( $P_1$ ) 20 bar และแรงดันอัด ( $P_2$ ) 60 bar ซึ่งเป็นการทำงาน 2 ขั้นตอน ดังนั้น จะต้องสร้างขั้นตอนขึ้นมา 2 ขั้นตอนในแบบเครื่องมือ (Load Manager) ได้แก่ ขั้นตอนการทำงานของตัวแปรแรงดันเสียดทาน (Load Weld) ซึ่งทำงานคู่กับเวลาเสียดทาน (Step weld) และ ขั้นตอนการทำงานของตัวแปรแรงดันอัด (Load Upset) ซึ่งทำงานคู่กับเวลาอัด (Step upset)

3) การกำหนดความเร็วรอบให้กับแบบจำลอง เป็นการทำงานของตัวแปร ความเร็วรอบ (Speed) 1,300 rpm ซึ่งจะต้องสร้างในแบบเครื่องมือ (Boundary Condition Manager) โดยกำหนดให้กับชิ้นงานที่อยู่ด้านบน (Top velocity) ทำงานคู่กับเวลาเสียดทาน (Step weld)

สำหรับการสร้างหรือกำหนดเงื่อนไขในชุดอื่นๆ ก็กำหนดในลักษณะเดียวกัน เพียงแต่เปลี่ยนเงื่อนไขตามตัวแปรที่เปลี่ยนแปลงหรือเพิ่มขึ้น

นอกจากนี้ยังมีเงื่อนไขที่สำคัญและจะต้องกำหนดในแบบจำลองอีกส่วนหนึ่ง คือ ส่วนของพฤติกรรมของแรงดันและพฤติกรรมการนำความร้อนบริเวณผิวสัมผัส รวมถึง สัมประสิทธิ์แรงเสียดทาน (Friction coefficient) ซึ่งมีผลเปลี่ยนแปลงไปตามอุณหภูมิบริเวณพื้นที่หน้าตัดเสียดทาน โดยจะต้องสร้างในแบบเครื่องมือ (Interaction Property Manager) กำหนดที่หน้าสัมผัสของชิ้นงาน (Interface) ดังแสดงในภาพที่ 3.2.4 และตารางที่ 3.5 [30]



ภาพที่ 3.24 พฤติกรรมของแรงดันและพฤติกรรมการนำความร้อนบริเวณผิวสัมผัส

ตารางที่ 3.5 สัมประสิทธิ์แรงเสียดทานที่ใช้ในแบบจำลอง

อุณหภูมิ ( $^{\circ}\text{C}$ )	20	200	400	600	800	1,000	1,200
ค่าสัมประสิทธิ์แรงเสียดทาน	0.4	0.577	0.577	0.577	0.4	0.2	0.1

สำหรับรายละเอียดเกี่ยวกับค่าสัมประสิทธิ์แรงเสียดทาน ในตารางที่ 3.5 ได้อธิบายไว้ในบทที่ 2 ทฤษฎีและงานวิจัยที่เกี่ยวข้อง หัวข้อ 2.3.6 สัมประสิทธิ์แรงเสียดทาน

### 3.3.3 กระบวนการประมวลผล (Solve)

เมื่อได้รับข้อมูลจากการบันทึกข้อมูลแล้ว ขั้นตอนการประมวลผลจะพิจารณาว่า เป็นปัญหาประเภทใด จากนั้นจึงเริ่มต้นคำนวณผลลัพธ์ ซึ่งใช้ระยะเวลาในการคำนวณผลลัพธ์ แตกต่างกันออกไปตามลักษณะของปัญหา ปริมาณของออดิเมนต์ และประสิทธิภาพของคอมพิวเตอร์ โดยหลังจากการคำนวณผลลัพธ์เรียบร้อยแล้ว โปรแกรมจะรวบรวมข้อมูลแล้วส่งให้ส่วนแสดงผล (Post-processor) ต่อไป หากการคำนวณผิดพลาด ทำให้โปรแกรมไม่สามารถคำนวณผลลัพธ์ได้ นั่นแสดงว่า ในส่วนกระบวนการขั้นต้น (Pre-processor) มีการป้อนข้อมูลไม่ครบถ้วนหรือป้อนข้อมูลผิดพลาด โดยวิธีการแก้ไขมีความแตกต่างกันออกไป ขึ้นอยู่กับสาเหตุของปัญหา ซึ่งสามารถอ่านได้จากข้อความที่แสดงในจอแสดงสถานะ การคำนวณ (Monitor)

### 3.3.4 กระบวนการแสดงผล (Post-processor)

ขั้นตอนการแสดงผลเป็นขั้นตอนสุดท้ายของการวิเคราะห์ปัญหาทางค้าน วิศวกรรมด้วยโปรแกรม CAE โดยการนำผลลัพธ์ที่ได้จากส่วนของ Solver มาแสดงในรูปแบบແນບ ชั้นสีต่างๆ ซึ่งผู้ทำการทดลองจะสามารถเข้าใจปรากฏการณ์ที่เกิดขึ้นได้ง่าย สำหรับรูปแบบของการแสดงผลลัพธ์นั้นสามารถแสดงได้หลายวิธี เช่น การแสดงด้วยແນບสี (Fringe plot) การแสดงด้วยเส้นชั้นสี (Contour lines) การแสดงด้วยเวกเตอร์ (Vector plot) และตัวเลขหรือกราฟ เป็นต้น สำหรับการแสดงผลการคำนวณจะทำการวิเคราะห์และอภิปรายในบทต่อไป

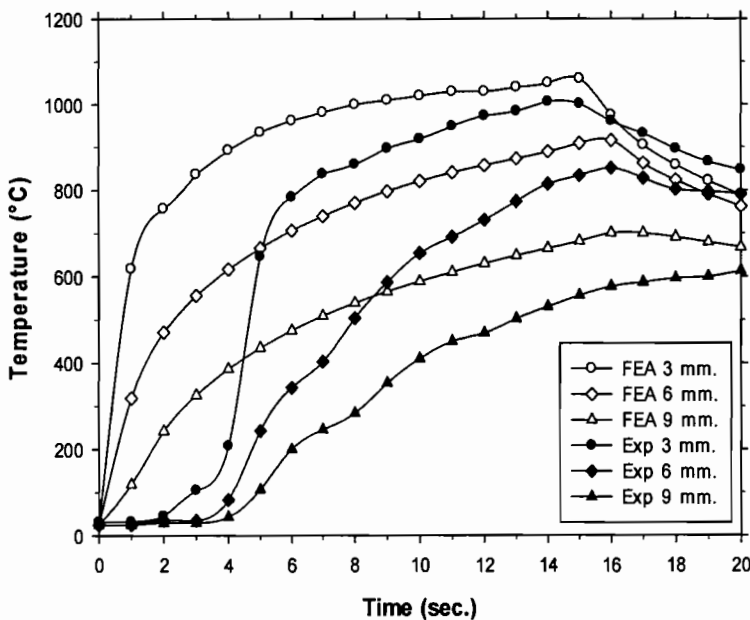
## บทที่ 4

### ผลการทดลองและอภิปรายผล

เนื้อหาในบทนี้กล่าวถึง การวิเคราะห์เปรียบเทียบผลการกระจายตัวของอุณหภูมิในเหล็กที่เชื่อมด้วยวิธีเสียคาน โดยวิธีการทดลองวัดอุณหภูมิจากการเชื่อมและการสร้างแบบจำลองโดยเบี่ยบวิธีไฟไนต์เอลิเมนต์ จากนั้นทำการขยายผลเพื่อศึกษาอิทธิพลของตัวแปร โดยใช้แบบจำลองโดยระเบี่ยบวิธีไฟไนต์เอลิเมนต์ โดยการขยายเงื่อนไขตัวแปรเวลาเสียคาน ( $T_1$ ) และเวลาอัค (  $T_2$  ) แล้วจับคู่ให้ตัวแปรพนกันทุกตัวแปร จากนั้นวิเคราะห์อิทธิพลที่ส่งผลต่อการกระจายตัวของอุณหภูมิ ซึ่งผลการทดลองมีดังต่อไปนี้

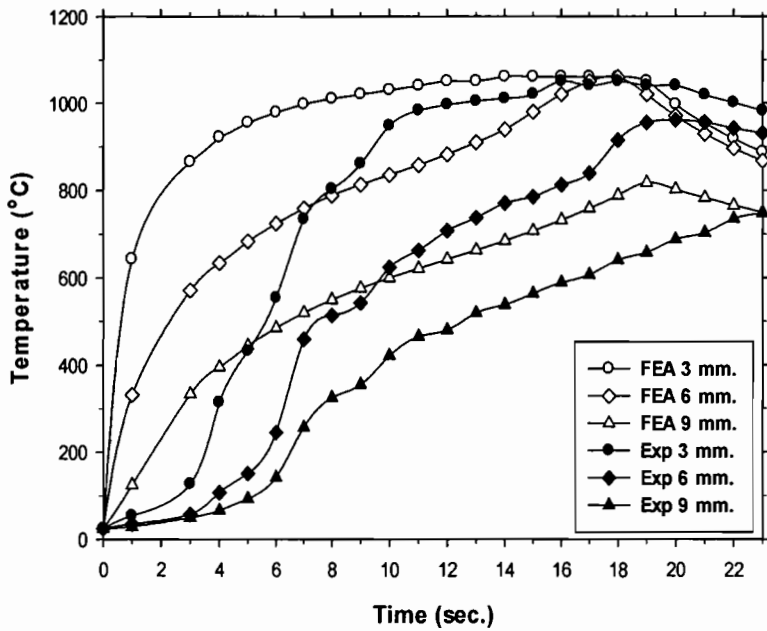
#### 4.1 การวิเคราะห์ผลการทดลองกับแบบจำลองโดยระเบี่ยบวิธีไฟไนต์เอลิเมนต์

การวิเคราะห์ผลในงานวิจัยนี้อาศัยเงื่อนไขการทดลองเป็นหลักในการวิเคราะห์เชื่อม อย่างปัจจัยอื่นๆที่เกี่ยวข้อง โดยเงื่อนไขที่ใช้ทดลองและใช้คำนวณของแบบจำลองนี้เป็นเงื่อนไขเดียวกันและมีทั้งหมด 3 ชุด ลำดับการวิเคราะห์มีดังนี้ (1) ทำการวิเคราะห์และเปรียบเทียบผลของเงื่อนไขชุดที่ 1 เพราะเป็นเงื่อนไขเริ่มต้น โดยกล่าวถึงรายละเอียดของการเชื่อมที่ทำให้เกิดค่าความแตกต่างของอุณหภูมิระหว่างการทดลองกับการคำนวณของแบบจำลอง (2) ทำการวิเคราะห์เงื่อนไขที่มีความแตกต่างกัน ว่าจะส่งผลอย่างไรต่อการกระจายตัวของอุณหภูมิ และค่าความแตกต่างของอุณหภูมิเป็นอย่างไร (3) ทำการวิเคราะห์และเปรียบเทียบลักษณะการเสียรูปของวัสดุจากการทดลอง และการคำนวณของแบบจำลอง ซึ่งการวิเคราะห์เทียบผลการทดลองและแบบจำลองทั้งหมดมีดังต่อไปนี้



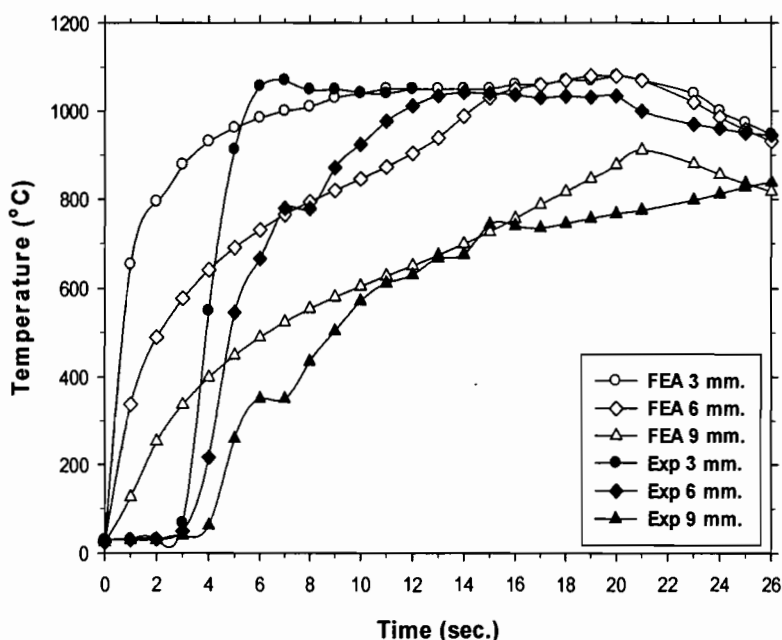
ภาพที่ 4.1 การเปรียบเทียบผลการกระจายตัวของอุณหภูมิโดยเงื่อนไขชุดที่ 1 :  $T_1 = 15$  sec.,  $P_1 = 20$  bar

จากภาพที่ 4.1 เป็นกราฟการเทียบผลอุณหภูมิของเงื่อนไขชุดที่ 1 ซึ่งเป็นเงื่อนไขเริ่มต้นที่ใช้ในการทดลองและใช้ในการคำนวณของแบบจำลอง โดยพบว่า การกระจายตัวของอุณหภูมิค่อนข้างที่จะแตกต่างกันอยู่พอสมควร โดยเฉพาะในช่วงแรกระหว่าง 0-4 sec. อุณหภูมิจากการทดลองมีค่าต่ำกว่าแบบจำลองมาก ซึ่งสาเหตุเกิดจาก ในช่วงเริ่มต้นของการเขื่อน (0-4 sec.) เครื่องเรื่องต้องใช้เวลาในการสร้างความเร็วรอบและสร้างแรงดันในแนวแกนที่มากพอต่อการดันชิ้นงานเข้าหากันและหมุนเดียดทานซึ่งกันและกัน ซึ่งในช่วงเริ่มต้นของการเขื่อนอุณหภูมินิบริเวณพื้นที่หน้าตัดเดียดทานยัง ไม่เพิ่มสูงมากนัก แต่เมื่อเวลาผ่านไป (หลังจาก 4 sec.) เมื่อความเร็วรอบและแรงดันเริ่มคงที่ อุณหภูมิเกิดการดีดตัวสูงขึ้นอย่างรวดเร็วและมีแนวโน้มที่เพิ่มขึ้นอย่างต่อเนื่อง เมื่อจับกระบวนการเสียดทาน อุณหภูมิจึงค่อยๆลดลง โดยเฉพาะช่วงที่อุณหภูมิลดลง สำหรับชุดวัสดุที่อยู่ห่างออกไปอุณหภูมิยังคงเพิ่มขึ้นอย่างต่อเนื่องจนกระทั่งสิ้นกระบวนการเขื่อนสิ้นสุด



ภาพที่ 4.2 การเปรียบเทียบผลการกระจายตัวของอุณหภูมิโดยเงื่อนไขชุดที่ 2 :  $T_1=18$  sec.,

$$P_1=30 \text{ bar}$$



ภาพที่ 4.3 การเปรียบเทียบผลการกระจายตัวของอุณหภูมิโดยเงื่อนไขชุดที่ 3 :  $T_1=21$  sec.,

$$P_1=40 \text{ bar}$$

จากภาพที่ 4.2 และ 4.3 เป็นกราฟการเทียบผลอุณหภูมิระหว่างการทดลองกับการคำนวณของแบบจำลอง จากเงื่อนไขชุดที่ 2 และชุดที่ 3 ซึ่งเป็นเงื่อนไขที่เพิ่มขึ้นจากชุดที่ 1 โดยการเพิ่มตัวแปรแรงดันเสียคทาน ( $P_1$ ) จาก 20 bar เป็น 30 bar และ 40 bar และเวลาเสียคทาน ( $T_1$ ) จาก 15 sec. เป็น 18 sec. และ 21 sec. เมื่อเปรียบเทียบผลกันกับเงื่อนไขชุดที่ 1 พบว่า กราฟความชันของอุณหภูมิพุ่งขึ้นเร็วกว่าและอุณหภูมิอยู่ในระดับที่สูงกว่าตามลำดับแรงดันเสียคทาน ( $P_1$ ) ที่เพิ่มขึ้น ส่วนการเพิ่มตัวแปรเวลาเสียคทาน ( $T_1$ ) เป็นการเพิ่มเวลาให้อุณหภูมิจารอยซึ่งสามารถกระจายตัวผ่านชุดวัดอุณหภูมิ 6 mm. และ 9 mm. ได้นานขึ้น สังเกตได้จากการอุณหภูมิที่พุ่งสูงขึ้นอย่างต่อเนื่อง สำหรับที่ชุดวัดอุณหภูมิ 3 mm. เป็นชุดที่อยู่ใกล้กับรอบซึ่งมากสุด ความร้อนจารอยซึ่งจึงไหลผ่านได้มากจนถึงระดับอื่นตัวที่อุณหภูมิประมาณ 1,000 – 1,100 °C และเมื่อถึงระดับอื่นตัวอุณหภูมิจะไม่พุ่งสูงขึ้นอีก แต่จะเป็นการรักษาระดับของอุณหภูมิให้เกือบคงที่ แล้วกระจายตัวสู่ชุดอื่นๆ ต่อไป

ตารางที่ 4.1 การเทียบผลอุณหภูมิสูงสุดของเงื่อนไขชุดที่ 1 ชุดที่ 2 และชุดที่ 3

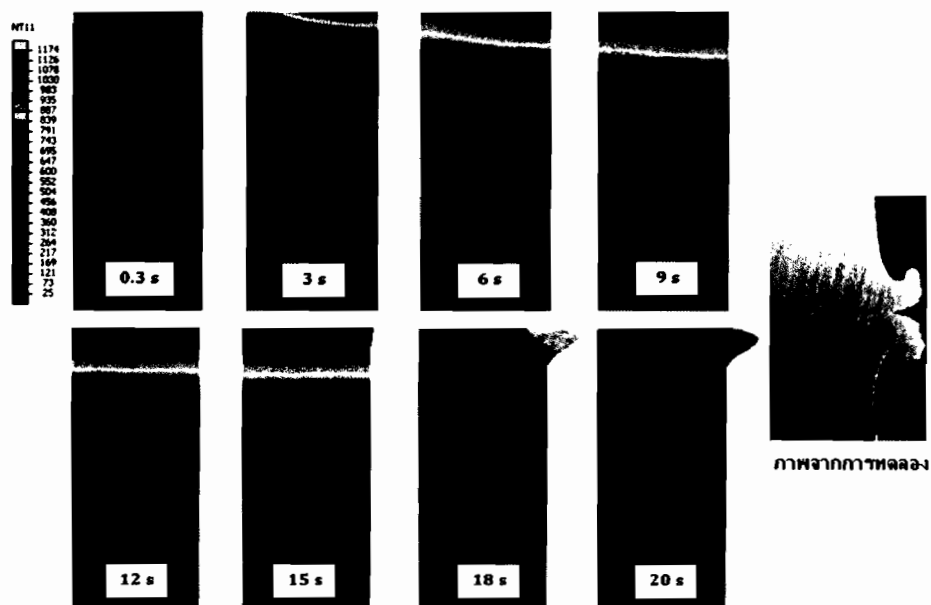
เงื่อนไขการทดลอง	ชุดที่วัดอุณหภูมิ (mm.)	การทดลอง (°C)	แบบจำลอง (°C)	ค่าความแตกต่าง (%)
ชุดที่ 1	3	1,006	1,060	5.0
	6	851	916	8.9
	9	613	700	12.4
ชุดที่ 2	3	1,050	1,060	0.9
	6	961	1,060	9.3
	9	754	817	7.7
ชุดที่ 3	3	1,070	1,080	0.9
	6	1,040	1,080	3.5
	9	839	911	7.9

จากตารางที่ 4.1 เป็นการเปรียบเทียบผลอุณหภูมิสูงสุดจากการทดลองและการคำนวณทั้ง 3 ชุด จากเงื่อนไขชุดที่ 1 พบว่า ชุดวัดที่ระยะ 3 mm. วัดอุณหภูมิสูงสุดจากการทดลองได้ 1,006 °C และจากการคำนวณได้ 1,060 °C ค่าความแตกต่างของอุณหภูมิ 5 % ที่ชุด 6 mm. วัดอุณหภูมิสูงสุดจากการทดลองได้ 851 °C และจากการคำนวณได้ 916 °C ค่าความแตกต่างของ

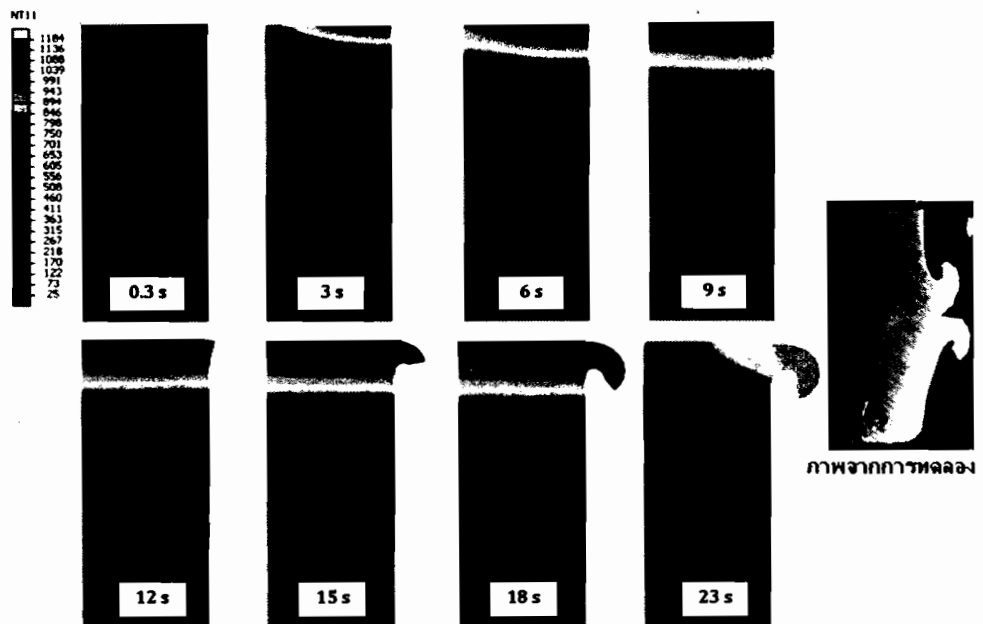
อุณหภูมิ 8.9 % และที่สูง 9 mm. วัดอุณหภูมิสูงสุดจากการทดลองได้  $613^{\circ}\text{C}$  และจากการคำนวณได้  $700^{\circ}\text{C}$  ค่าความแตกต่างของอุณหภูมิ 12.4 % จะเห็นได้ว่า อุณหภูมิสูงสุดที่ระยะ 3 mm. อุณหภูมิสูงสุดกระบวนการเชื่อม คือเวลา 15 sec. ที่ระยะ 6 mm. และ 9 mm. อุณหภูมิสูงสุดที่ระยะ 3 mm. เมื่อสิ้นสุดกระบวนการเชื่อม คือเวลา 15 sec. อุณหภูมิยังคงสามารถกระจายตัว ได้อีก 1 sec. สู่ระยะ 6 mm. และ 9 mm. ก่อนที่อุณหภูมิจะลดลง

จากตารางที่ 4.1 การเทียบผลอุณหภูมิสูงสุดจากการทดลองและจากแบบจำลองของเงื่อนไขชุดที่ 2 และชุดที่ 3 จากการเพิ่มตัวแปรแรงดันเสียดทาน ( $P_1$ ) และเวลาเสียดทาน ( $T_1$ ) พบว่า อุณหภูมิโดยรวมนั้นเพิ่มขึ้นเร็วและมากกว่าเงื่อนไขชุดที่ 1 ตามแรงดันเสียดทาน ( $P_1$ ) และเวลาเสียดทาน ( $T_1$ ) ที่เพิ่มขึ้น โดยให้ความแตกต่างตามจุดวัดอุณหภูมิ ดังนี้ เงื่อนไขชุดที่ 2 คือ 0.9%, 9.3% และ 7.7% และเงื่อนไขชุดที่ 3 คือ 0.9%, 3.5% และ 7.9%

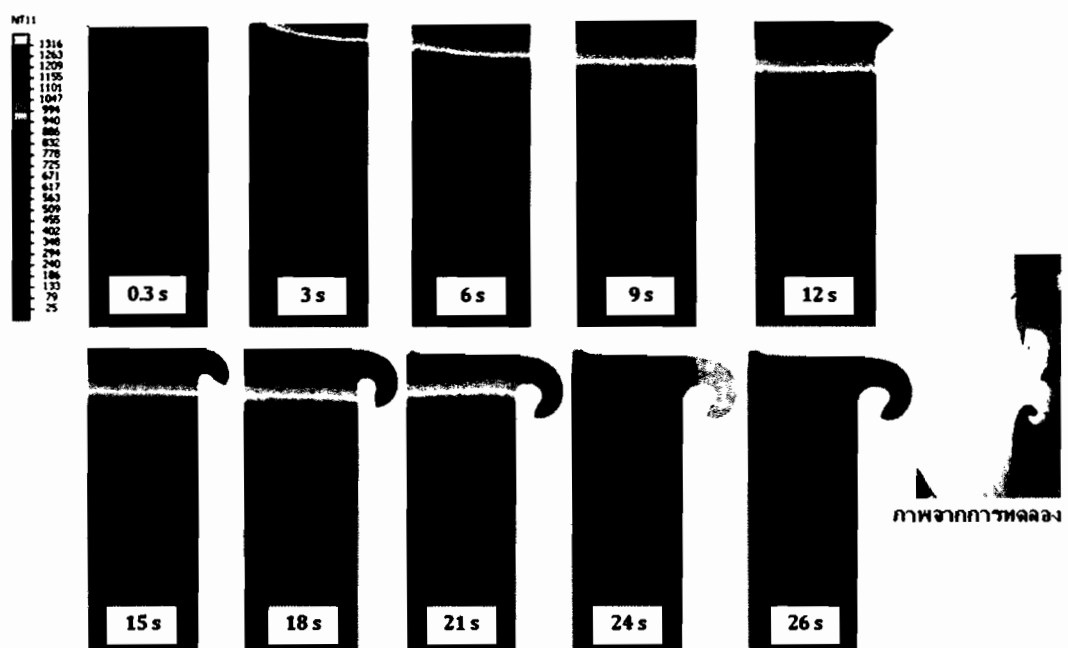
ค่าความแตกต่างของอุณหภูมิที่วัดได้จากการทดลองและจากแบบจำลองทาง FEA อาจเกิดจากหลายสาเหตุ ได้แก่ อุณหภูมิกายนอก เมื่อชื่นงานเกิดการหมุนเสียดทาน ความร้อนจากการเสียดทานบางส่วนจะถูกถ่ายเทออกสู่บรรยายอากาศโดยรอบได้ อีกสาเหตุเกิดจากลักษณะรูของชื่นงานที่ทำการเจาะเพื่อเชื่อมสายวัดอุณหภูมิ ถ้ารูมีขนาดเล็กและกว้างมากเกินไปจะทำให้ชื่นงานเกิดพื้นที่ว่าง และอุณหภูมิบางส่วนก็จะถ่ายเทออกตามพื้นที่ว่างเหล่านั้น ได้มากกว่าปกติ และตะกั่วจากการเชื่อมสายวัดอุณหภูมิกับชื่นงานก็ส่งผลเช่นเดียวกัน ซึ่งตะกั่วกับเหล็กคาร์บอนต่างเป็นธาตุที่มีคุณสมบัติการนำความร้อนที่ต่างกัน โดยตะกั่วมีค่าการนำความร้อนที่ต่ำกว่าเหล็กcarbonต่ำมาก จึงส่งผลโดยตรงต่อการไหลของความร้อนในชื่นงาน



ภาพที่ 4.4 การกระจายตัวของอุณหภูมิในแบบจำลองโดยเงื่อนไขชุดที่ 1 :  $T_1 = 15 \text{ sec.}$ ,  $P_1 = 20 \text{ bar}$



ภาพที่ 4.5 การกระจายตัวของอุณหภูมิในแบบจำลองโดยเงื่อนไขชุดที่ 2 :  $T_1 = 18 \text{ sec.}$ ,  $P_1 = 30 \text{ bar}$



ภาพที่ 4.6 การกระจายตัวของอุณหภูมิในแบบจำลองโดยเงื่อนไขชุดที่ 3 :  $T_1 = 21 \text{ sec.}$ ,  $P_1 = 40 \text{ bar}$

จากภาพที่ 4.4, 4.5 และ 4.6 เป็นภาพการแสดงลักษณะการกระจายตัวของอุณหภูมิในแบบจำลองชิ้นงานเข็ม โดยทำการจำลองทั้งหมด 3 กรณี และแสดงผลในรูปของແຕບສີ ແຫນ อุณหภูมิ (Temperature contour) จากภาพแสดงให้เห็นว่า แบบจำลองสามารถทำนายผลการกระจายตัวของอุณหภูมิ และสามารถแสดงลักษณะการเสียหายของวัสดุได้ โคลาดี้คลึงกับการทดลองพอสมควร

เมื่อพิจารณาการกระจายตัวของอุณหภูมิในแบบจำลอง พบร่วมกับกรณีของเงื่อนไขชุดที่ 3 ในภาพที่ 4.6 เกิดการกระจายตัวของอุณหภูมิในระดับที่ไกลและสูงกว่ากรณีอื่น ทั้งนี้เนื่องจากการใช้แรงดันเสียดทาน ( $P_1$ ) ที่สูงกว่าเดิม ส่งผลให้หน้าสัมผัสของชิ้นงานเกิดแรงเสียดทานที่มากขึ้น ความร้อนจึงเกิดมากขึ้น นอกเหนือไปจากการใช้แรงดันอัด ( $P_2$ ) ที่มากยังส่งผลให้เกิดการไหลดของเนื้อโลหะมากขึ้น จึงเกิดการส่งต่อความร้อน ได้มากขึ้นจากการไหลดของมวลโลหะร้อน

นอกจากนี้จะพบว่า การทดลองและจำลองแบบจำลองจะเห็นการไหลดของเนื้อโลหะออกมานอกลักษณะเป็นครีบที่รอยต่อของชิ้นงาน ซึ่งผลจากการทดลองก็เหมือนกับแบบจำลอง

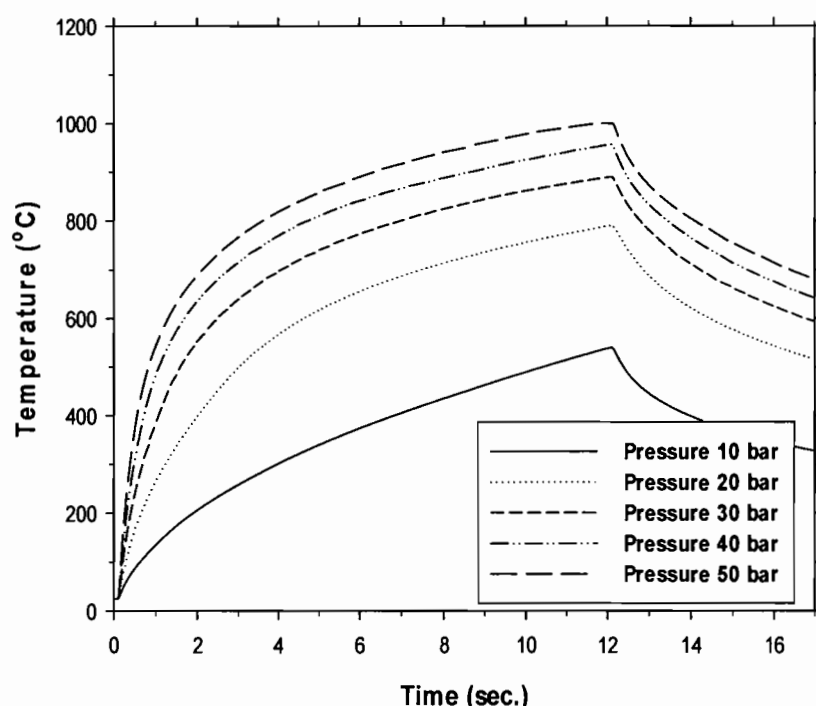
#### 4.2 การศึกษาอิทธิพลของตัวแปรโดยใช้แบบจำลองโดยระเบียบวิธีไฟฟ้าในต่อเอลิเมนต์

จากการศึกษาที่ผ่านมา พบร่วมกับแบบจำลองโดยระเบียบวิธีไฟฟ้าในต่อเอลิเมนต์ ที่พัฒนาขึ้นสามารถทำนายผลการกระจายตัวของอุณหภูมิภายในต่อเอลิเมนต์ ได้เป็นอย่างดี ดังนั้นจึงได้ขึ้นผลการศึกษา โดยนำแบบจำลองโดยระเบียบวิธีไฟฟ้าในต่อเอลิเมนต์ มาใช้ศึกษาอิทธิพลของเงื่อนไขต่างๆ โดยใช้เงื่อนไขตามที่แสดงในตารางที่ 4.2

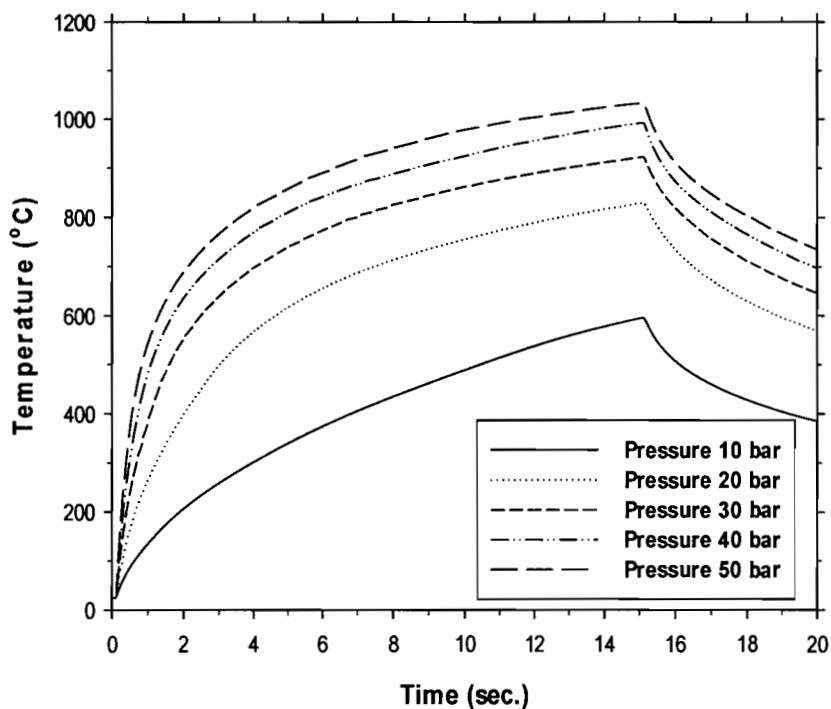
ตารางที่ 4.2 เงื่อนไขแบบจำลอง

ตัวแปร	ช่วงของตัวแปร				
$P_1(\text{bar})$	10	20	30	40	50
$T_1(\text{sec.})$	12	15	18	21	25
$P_2(\text{bar})$	60	60	60	60	60
$T_2(\text{sec.})$	5	5	5	5	5
Speed(rpm)	1,300	1,300	1,300	1,300	1,300

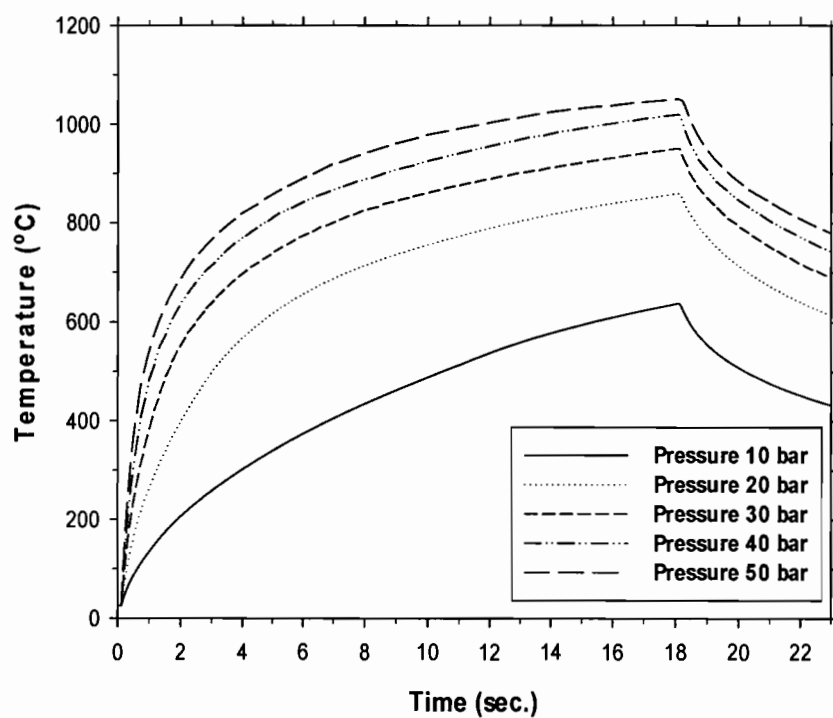
สำหรับวิธีการศึกษาอิทธิพลของตัวแปรในการเชื่อมเพิ่มเติมนั้น จะแบ่งเงื่อนไขออกเป็น 5 ชุด ดังแสดงในตารางที่ 4.2 ซึ่งเป็นการขยายเงื่อนไขจากการวิเคราะห์ผลในตอนที่แล้ว 3 ชุด โดยทำการเพิ่มตัวแปรแรงดันเสียดทาน ( $P_1$ ) 10 bar และ 50 bar และเวลาเสียดทาน ( $T_1$ ) 12 sec. และ 25 sec. สำหรับตัวแปรอื่นๆ นั้นให้คงที่ ซึ่งจะได้เงื่อนไขใหม่ทั้งหมด 5 ชุด จากนั้นใช้แบบจำลองที่สร้างขึ้นคำนวณผลโดยการจับคู่ให้ตัวแปรพบกันทุกตัวแปร แล้ววิเคราะห์อิทธิพลของแรงดันเสียดทาน ( $P_2$ ) และ เวลาเสียดทาน ( $T_1$ ) ซึ่งมีรายละเอียดดังนี้



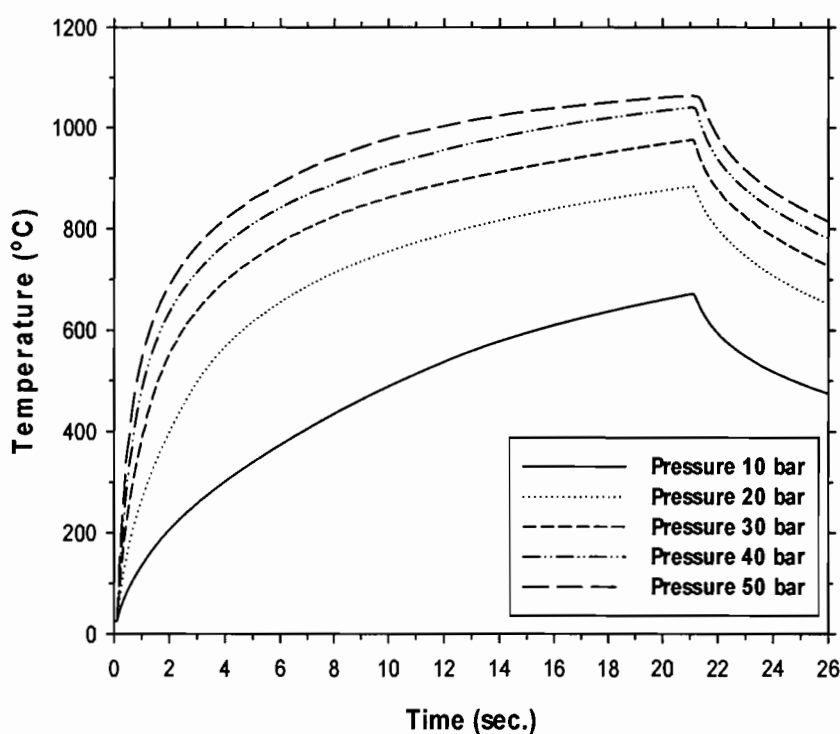
ภาพที่ 4.7 กราฟอิทธิพลของแรงดันเสียดทานที่ส่งผลต่อการกระจายตัวของอุณหภูมิ ( $T_1 = 12 \text{ sec.}$ )



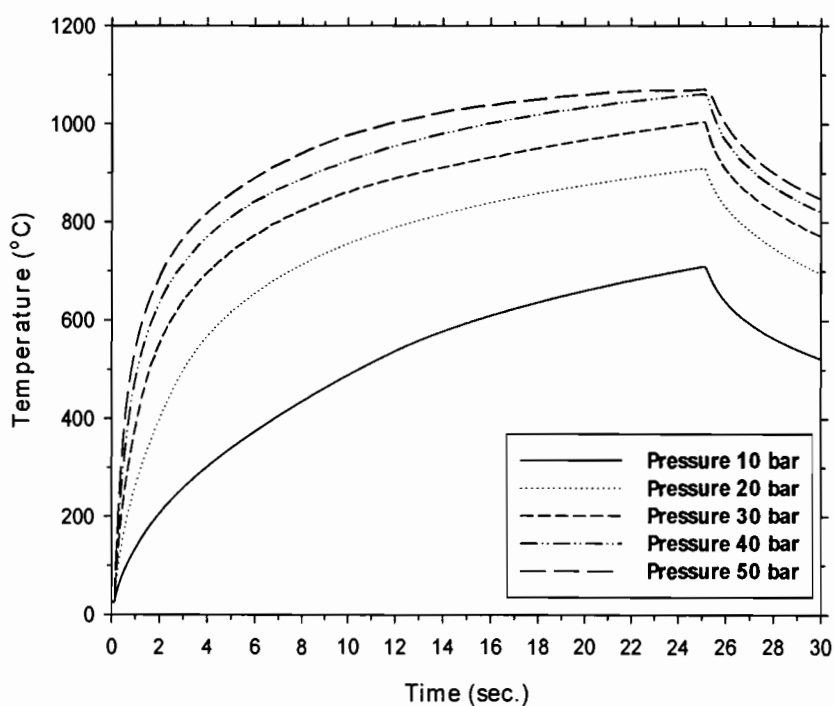
ภาพที่ 4.8 กราฟอิทธิพลของแรงดันเสียดทานที่ส่งผลต่อการกระจายตัวของอุณหภูมิ ( $T_1 = 15$  sec.)



ภาพที่ 4.9 กราฟอิทธิพลของแรงดันเสียดทานที่ส่งผลต่อการกระจายตัวของอุณหภูมิ ( $T_1 = 18$  sec.)



ภาพที่ 4.10 กราฟอิทธิพลของแรงดันเสียดทานที่ส่งผลต่อการกระจายตัวของอุณหภูมิ ( $T_i = 21$  sec.)



ภาพที่ 4.11 กราฟอิทธิพลของแรงดันเสียดทานที่ส่งผลต่อการกระจายตัวของอุณหภูมิ ( $T_i = 25$  sec.)

#### 4.2.1 อิทธิพลของตัวแปรแรงดันเสียดทาน ( $P_1$ )

จากการใช้แบบจำลองโดยระเบียบวิธีไฟไนต์อเลิมเม้นต์ ที่ผ่านการสอบเทียบมาแล้ว นำมายาแยกเพื่อศึกษาอิทธิพลของแรงดันเสียดทาน ( $P_1$ ) และเวลาเสียดทาน ( $T_1$ ) สามารถเป็นเส้นกราฟความสัมพันธ์ของอุณหภูมิที่หน้าสัมผัสที่เวลาต่างๆ ภายใต้แรงดันเสียดทานและเวลาเสียดทานที่ต่างกัน ดังแสดงในภาพที่ 4.7-4.11 จากภาพที่ 4.7-4.11 จะเห็นว่า ในช่วงแรกของการเชื่อม (ตั้งแต่เริ่มต้นถึงเวลาประมาณ 2-3 sec.) อุณหภูมิตรงหน้าสัมผัสมีอัตราการเพิ่มขึ้นอย่างรวดเร็ว จนกระทั่งอุณหภูมิถึงค่าประมาณ  $600\text{ }^{\circ}\text{C}$  หรือ  $700\text{ }^{\circ}\text{C}$  อุณหภูมิจึงเริ่มนีอัตราการเพิ่มขึ้นที่น้อยลง และเริ่มเข้าสู่สภาวะเกือบคงตัว ทั้งนี้สังเกตว่า อุณหภูมิจะมีค่าสูงขึ้นจนถึงจุดสิ้นสุดของเวลาเสียดทาน จากนั้นอุณหภูมิก็จะลดลงอย่างรวดเร็ว

เมื่อพิจารณาอิทธิพลของแรงดันเสียดทาน ( $P_1$ ) จากภาพที่ 4.7-4.11 จะเห็นว่า เมื่อค่า  $P_1$  มีค่าสูงขึ้น จะส่งผลให้อัตราการเพิ่มขึ้นของอุณหภูมิมากขึ้น ซึ่งจะเห็นได้จากเส้นอุณหภูมิของหน้าสัมผัสในกรณี  $P_1 = 50\text{ bar}$  มีความชันและมีค่าที่สูงกว่ากรณี  $P_1 = 40\text{ bar}$ ,  $30\text{ bar}$ ,  $20\text{ bar}$  และ  $10\text{ bar}$  ตามลำดับ ในทุกๆ เงื่อนไข  $T_1$

นอกจากนี้ หากพิจารณาความสามารถในการเข้าสู่อุณหภูมิสำคัญ เช่น อุณหภูมิประมาณ  $720\text{ }^{\circ}\text{C}$  ซึ่งเป็นอุณหภูมิที่เหล็กคาร์บอนต่ำเริ่มมีการเปลี่ยนแปลงโครงสร้าง (สุขอัองคณาลี, 2553) จะเห็นว่า ในกรณีให้  $P_1 = 50\text{ bar}$  ชิ้นงานจะใช้เวลาประมาณ 2 sec. ในการทำให้หน้าสัมผัสมีอุณหภูมิประมาณ  $720\text{ }^{\circ}\text{C}$  และหากใช้  $P_1 = 40\text{ bar}$  จะใช้เวลา 3 sec. หากใช้  $P_1 = 30\text{ bar}$  จะใช้เวลาประมาณ 4 sec. หากใช้  $P_1 = 20\text{ bar}$  จะใช้เวลาประมาณ 7 sec. หากใช้  $P_1 = 10\text{ bar}$  ชิ้นงานจะไม่มีโอกาสที่อุณหภูมิจะได้ถึง  $720\text{ }^{\circ}\text{C}$  เลย หากลดดังกล่าวซึ่งให้เห็นว่า การใช้  $P_1$  ที่สูงขึ้นจะส่งผลให้ชิ้นงานสามารถสร้างอุณหภูมิที่รอยเชื่อมได้มากขึ้น นอกเหนือไปยังพบว่า หากใส่ค่า  $P_1$  น้อยเกินไป (เช่น  $P_1 = 10\text{ bar}$ ) ชิ้นงานจะไม่สามารถต่อระดับอุณหภูมิไปสู่อุณหภูมิเป้าหมายได้เลย

ตารางที่ 4.3 เปรียบเทียบค่าอุณหภูมิสูงสุด ( $^{\circ}\text{C}$ ) จากการเพิ่มตัวแปรแรงดันเสียดทาน ( $P_1$ ) และเวลาเสียดทาน ( $T_1$ )

ตัวแปร	$T_1=12\text{ sec.}$	$T_1=15\text{ sec.}$	$T_1=18\text{ sec.}$	$T_1=21\text{ sec.}$	$T_1=25\text{ sec.}$
$P_1=10\text{ bar}$	538	594	636	674	709
$P_1=20\text{ bar}$	789	828	858	883	909
$P_1=30\text{ bar}$	889	921	950	975	1,004
$P_1=40\text{ bar}$	955	991	1,019	1,040	1,061
$P_1=50\text{ bar}$	1,000	1,032	1,050	1,063	1,070

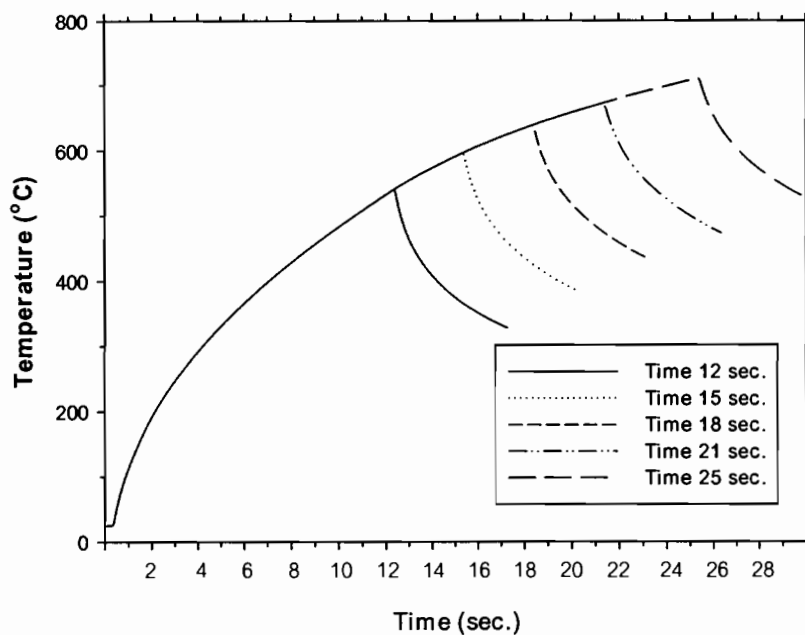
จากตารางที่ 4.3 ชี้งแสดงค่าอุณหภูมิสูงสุดที่วัดได้โดยระเบียบวิธีไฟไนต์อเลมนต์ ที่ผิวสัมผัสของชิ้นงานที่เชื่อมภายในค่า  $P_1$  และ  $T_1$  ต่างๆ จากข้อมูลในตารางจะเห็นได้ว่า เมื่อค่า  $P_1$  มีค่าสูงขึ้นจาก 10 bar ถึง 50 bar ค่าอุณหภูมิสูงสุดที่การเชื่อมนั้นสามารถทำได้ก็จะมีค่าสูงขึ้น ด้วยในทุกๆ เงื่อนไขของ  $T_1$  อย่างไรก็ตาม จะพบว่า ค่าอุณหภูมิที่ทำได้จะมีอัตราการเพิ่มขึ้นที่ต่ำลง เมื่ออุณหภูมิมีค่าเกิน 1,000 °C ซึ่งเกิดจากอุณหภูมิของเหล็กที่เริ่มอิ่มตัว

#### 4.2.2 อิทธิพลของตัวแปรเวลาเสียดทาน ( $T_1$ )

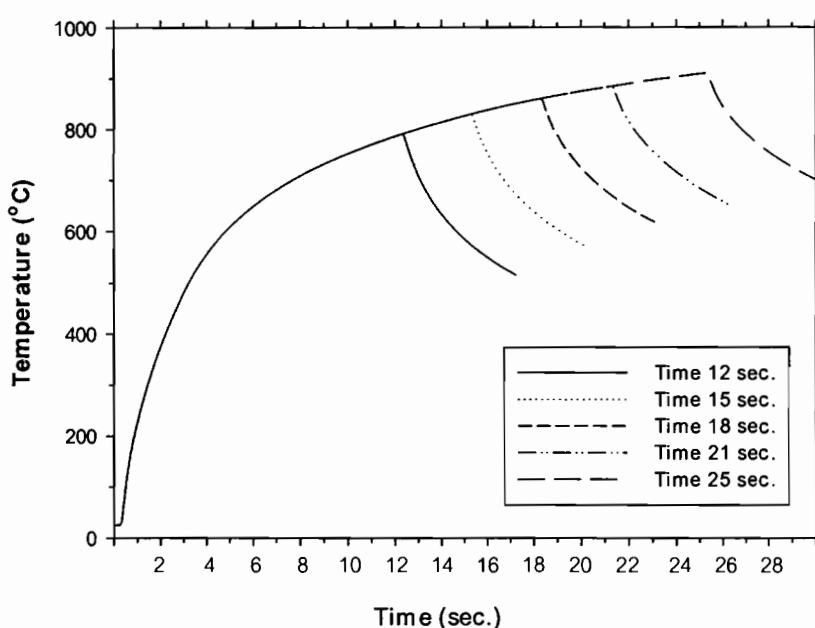
ในการนีการนำแบบจำลองโดยระเบียบวิธีไฟไนต์อเลมนต์ มาใช้ศึกษาอิทธิพลของเวลาเสียดทาน ( $T_1$ ) ได้ผลการศึกษาดังแสดงในภาพที่ 4.12-4.16 ชี้งจากข้อมูลในทุกๆ ภาพจะเห็นว่า อุณหภูมิของรอยเชื่อมจะมีการเพิ่มขึ้นในอัตราที่คงที่ หากใช้เงื่อนไข  $P_1$  เดียวกัน โดยอุณหภูมิจะ วิ่งขึ้นไปเรื่อยๆ จนกระทั่งถึงเวลาสุดท้ายของ  $T_1$  อุณหภูมิก็จะลดลง เนื่องจากหมดช่วงเวลาเสียดทาน

ทั้งนี้หากพิจารณาลักษณะกราฟของอุณหภูมิกรณี  $P_1 = 10$  bar ในภาพที่ 4.12 เทียบกับ  $P_1 = 20, 30, 40$  และ 50 bar ในภาพที่ 4.13-4.16 ตามลำดับ จะเห็นว่าในกรณีที่  $P_1$  มีค่าต่ำๆ  $T_1$  จะมีอิทธิพลต่อการเปลี่ยนแปลงของอุณหภูมิกัดังจะเห็นได้จากความชันของเส้นกราฟจะมีค่า สูงอย่างต่อเนื่อง แต่ในกรณีที่  $P_1$  มีค่าสูง เช่น ในกรณีที่  $P_1 = 40$  หรือ  $P_1 = 50$  bar เมื่อ  $T_1$  มีค่ามาก ขึ้น พบว่า อุณหภูมิมีการเพิ่มขึ้นไปอีกน้อยมาก หรือ แทบจะไม่เพิ่มเลย ทั้งนี้เนื่องจาก ค่า  $P_1$  ที่สูงจะ ผลักดันให้ชิ้นงานมีอุณหภูมิต่อระดับไปจนถึงจุดอิ่มตัว การเพิ่มค่า  $T_1$  จึงไม่สามารถเพิ่มอุณหภูมิ รอยเชื่อมได้มากนัก จากผลการทดลองนี้อาจกล่าวได้ว่า ในกรณีที่ใช้แรงดัน  $P_1$  สูงๆ ไม่จำเป็นต้อง ใช้เวลาเสียดทาน  $T_1$  นานก็ได้ เพราะไม่เกิดประโยชน์ใดๆ เพิ่มเติม นอกจากต้องการใช้อุณหภูมิของ ชิ้นงานให้กระจายตัวออกไปไกลมากขึ้น

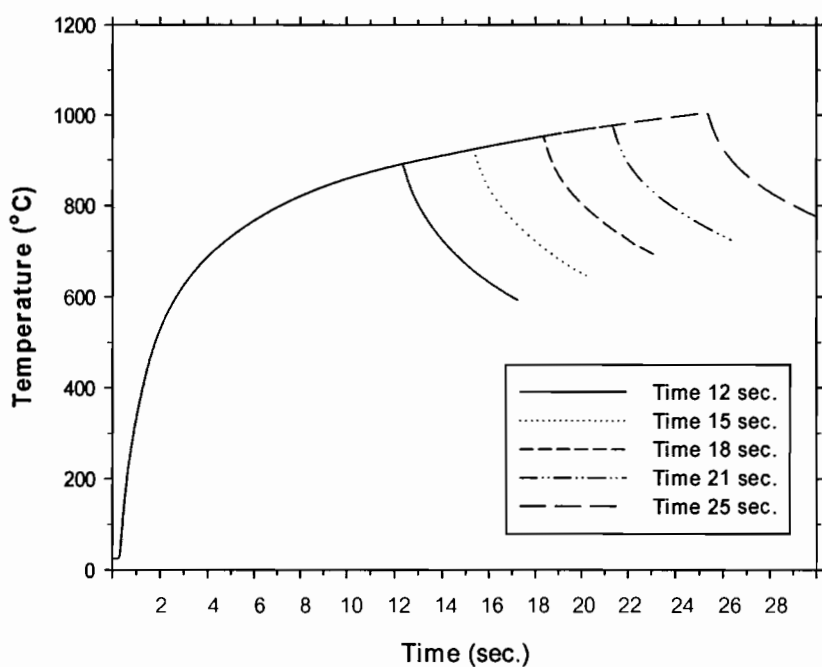
อย่างไรก็ตาม สังเกตได้ว่า ในการเปลี่ยนแปลงของอุณหภูมนั้น ค่า  $P_1$  และ  $T_1$  มี ผลด้วยกันทั้งคู่ ดังนั้น จึงอาจต้องพิจารณาควบคู่กันไป ยกเว้นในกรณีที่  $P_1$  มีค่าสูงมากๆ ค่า  $T_1$  อาจ มีอิทธิพลน้อยลง



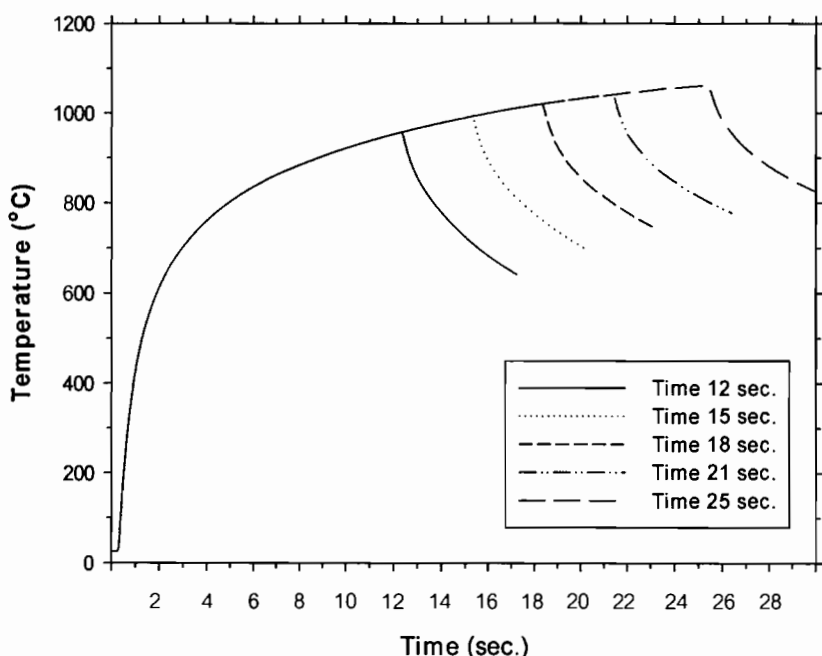
ภาพที่ 4.12 กราฟอิทธิพลของเวลาเสียคานที่ส่งผลต่อการกระจายตัวของอุณหภูมิ ( $P_1=10$  bar)



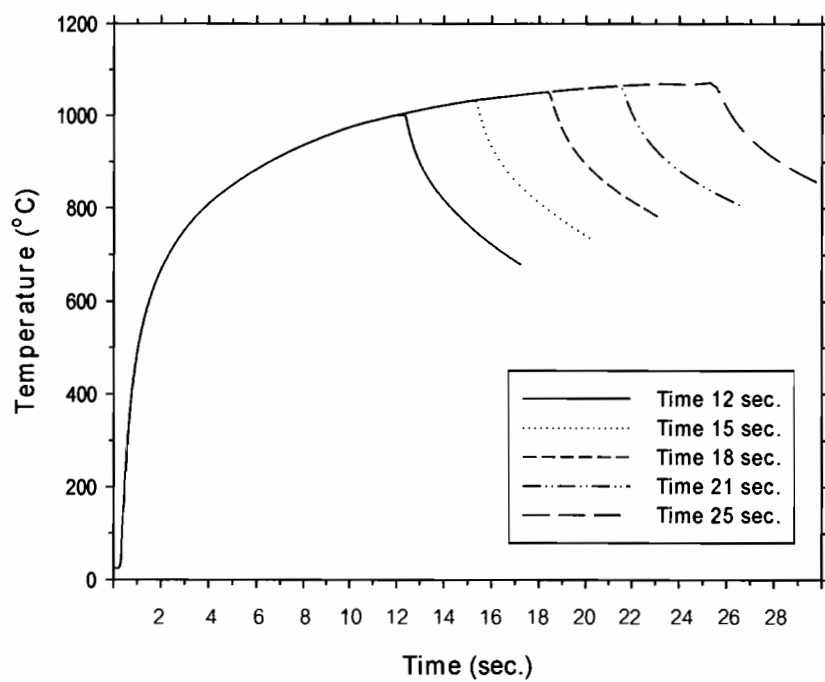
ภาพที่ 4.13 กราฟอิทธิพลของเวลาเสียคานที่ส่งผลต่อการกระจายตัวของอุณหภูมิ ( $P_2=20$  bar)



ภาพที่ 4.14 กราฟอิทธิพลของเวลาเสียดทานที่ส่งผลต่อการกระจายตัวของอุณหภูมิ ( $P_2 = 30 \text{ bar}$ )



ภาพที่ 4.15 กราฟอิทธิพลของเวลาเสียดทานที่ส่งผลต่อการกระจายตัวของอุณหภูมิ ( $P_2 = 40 \text{ bar}$ )



ภาพที่ 4.16 กราฟอิทธิพลของเวลาเสียดทานที่ส่งผลต่อการกระจายตัวของอุณหภูมิ ( $P_2 = 50 \text{ bar}$ )

## บทที่ 5

### สรุปผลและข้อเสนอแนะ

งานวิจัยนี้ เป็นการศึกษาการกระจายตัวของอุณหภูมิในเหล็กที่เชื่อมด้วยวิธีเสียดทาน โดยการทดลองวัดอุณหภูมิและการสร้างแบบจำลอง โดยระเบียบวิธีไฟไนต์เอลิเมนต์ แล้วใช้ผลเปรียบเทียบกับ จากการศึกษาพบว่า แบบจำลองโดยระเบียบวิธีไฟไนต์เอลิเมนต์ ที่จำลองขึ้นมา นั้นสามารถทำนายผลและอธิบายผลการกระจายตัวของอุณหภูมิได้ใกล้เคียงกับผลของการทดลอง ในระดับที่ยอมรับได้ นอกจากนี้ยังได้ขยายผลเพื่อศึกษาอิทธิพลของตัวแปรที่สำคัญ 2 ตัวแปร ได้แก่ ตัวแปรแรงดันเสียดทาน ( $P_1$ ) และตัวแปรเวลาเสียดทาน ( $T_1$ ) ซึ่งสามารถสรุปผลการศึกษาและ ข้อเสนอแนะได้ ดังรายละเอียดต่อไปนี้

#### 5.1 การกระจายตัวของอุณหภูมิจากการทดลองและแบบจำลองโดยระเบียบวิธีไฟไนต์เอลิเมนต์

จากการวิเคราะห์เทียบผลการกระจายตัวของอุณหภูมิระหว่างการทดลองและ แบบจำลอง โดยระเบียบวิธีไฟไนต์เอลิเมนต์ สามารถสรุปผลได้ดังนี้

(1) การวัดอุณหภูมิในเหล็กที่ทำการเชื่อมด้วยวิธีเสียดทาน โดยการใช้สายวัดอุณหภูมิ (Thermo couple K-type) นั้นพบว่า สามารถวัดอุณหภูมิได้ และมีผลสอดคล้องกับงานวิจัยของ Yang *et al.* (2004), Nguyen and Weckman (2006), Sirajuddin *et al.* (2012) ซึ่งอุณหภูมิจากการ เชื่อมจะสูงขึ้นตามแรงดันเสียดทาน ( $P_1$ ) และเวลาเสียดทาน ( $T_1$ ) ที่เพิ่มขึ้น โดยพบว่า จุดวัดที่อยู่ใกล้กับแหล่งความร้อนจากการเชื่อม จะได้รับอิทธิพลจากความร้อนมากกว่าจุดวัดอื่นๆ ที่อยู่ห่าง ออกไป ซึ่งอุณหภูมิสูงสุดที่วัดได้จากการทดลองอยู่ที่  $1,070^{\circ}\text{C}$

(2) การสร้างแบบจำลองการเชื่อมด้วยวิธีเสียดทาน โดยระเบียบวิธีไฟไนต์เอลิเมนต์ นั้น สามารถทำนายผลการกระจายตัวของอุณหภูมิจากการทดลองได้ โดยให้ผลการคำนวณที่ใกล้เคียง กับการทดลองและสอดคล้องกับงานวิจัยของ Grant *et al.* (2009), Kimura *et al.* (2010), Li and Wang (2011) โดยอุณหภูมิสูงสุดที่คำนวณได้จากการแบบจำลองอยู่ที่  $1,080^{\circ}\text{C}$

เมื่อพิจารณาเทียบผลจากค่าความแตกต่างของอุณหภูมิระหว่างการทดลองกับ แบบจำลอง โดยระเบียบวิธีไฟไนต์เอลิเมนต์ พบว่า ค่าความแตกต่างของอุณหภูมนากสุดอยู่ที่  $12.4\%$  ซึ่งอยู่ในเงื่อนไขชุดที่ 1 และค่าความแตกต่างของอุณหภูมิต่ำสุดอยู่ที่  $0.9\%$  ซึ่งอยู่ในเงื่อนไขชุดที่ 2

และชุดที่ 3 โดยพบว่า อุณหภูมิเพิ่มขึ้นจริงตามตัวแปรแรงดันเสียดทาน ( $P_1$ ) และเวลาเสียดทาน ( $T_1$ ) ที่เพิ่มขึ้น ตามลำดับ และเป็นการเพิ่มขึ้นในอัตราคงที่

(3) เมื่อพิจารณาการกระจายตัวของอุณหภูมิในแบบจำลอง พบว่า กรณีเงื่อนไขชุดที่ 3 ซึ่งมีแรงดันเสียดทานสูงสุด เกิดการกระจายตัวของอุณหภูมิในระย่างไกลและสูงกว่ากรณีอื่น ทั้งนี้ เนื่องจากการใช้แรงดันเสียดทาน ( $P_1$ ) ที่สูงกว่านั้น ส่งผลให้หน้าสัมผัสของชิ้นงานเกิดแรงเสียดทานที่มากขึ้น ความร้อนจึงเกิดมากขึ้น นอกจากนี้การใช้แรงดันอัด ( $P_2$ ) ที่มากยังส่งผลให้เกิดการไหลของเนื้อโลหะมากขึ้น จึงเกิดการส่งต่อความร้อนได้มากขึ้นจากการไหลของมวลโลหะร้อน

(4) ในช่วงแรกของการเชื่อม อุณหภูมิที่ได้จากการทดลองมีค่าต่ำกว่าค่าแบบจำลองโดยระเบียบวิธีไฟฟ้าในต่ออุณหภูมิ แต่เมื่อเวลาเสียดทาน เครื่องจักรต้องการเวลาในการสร้างแรงบิดก่อนเกิดความร้อน

## 5.2 การศึกษาอิทธิพลของตัวแปรโดยใช้แบบจำลองโดยระเบียบวิธีไฟฟ้าในต่ออุณหภูมิ

จากการขยายผลของเงื่อนไขที่ใช้ในการทดลอง เพื่อศึกษาอิทธิพลของตัวแปร 2 ตัวแปร ได้แก่ ตัวแปรแรงดันเสียดทาน ( $P_1$ ) และตัวแปรเวลาเสียดทาน ( $T_1$ ) โดยใช้แบบจำลองโดยระเบียบวิธีไฟฟ้าในต่ออุณหภูมิ ซึ่งสามารถสรุปผลการศึกษาอิทธิพลของตัวแปรได้ดังนี้

### 5.2.1 อิทธิพลของตัวแปรแรงดันเสียดทาน ( $P_1$ )

แรงดันเสียดทาน ( $P_1$ ) ส่งผลอย่างมากต่อการเพิ่มขึ้นของอุณหภูมิบริเวณผิวสัมผัส ซึ่งพบว่า เมื่อแรงดัน  $P_1$  มีค่าสูงขึ้นจาก 10 bar ถึง 50 bar อุณหภูมิจะเพิ่มขึ้นทุกๆ เงื่อนไขของ  $T_1$  โดยการใช้แรงดัน  $P_1$  สูงๆ จะทำให้อุณหภูมิบริเวณผิวสัมผัสเพิ่มขึ้นอย่างรวดเร็วและทำให้อุณหภูมิไตร่ระดับถึงอุณหภูมิอ้างอิงได้รวดเร็วขึ้น และเมื่ออุณหภูมิมีค่าเกินกว่า  $1,000^{\circ}\text{C}$  พบว่า อุณหภูมนี้ อัตราการเพิ่มขึ้นที่ต่ำลง ซึ่งเกิดจากอุณหภูมิของเหล็กเริ่มเกิดการอั่นตัว สำหรับที่แรงดันต่ำ  $P_1 = 10 \text{ bar}$  พบว่า อุณหภูมิที่ผิวสัมผัสไม่สามารถไตร่ระดับถึงอุณหภูมิอ้างอิงได้

### 5.2.2 อิทธิพลของตัวแปรเวลาเสียดทาน ( $T_1$ )

เวลาเสียดทาน ( $T_1$ ) จะส่งผลอย่างมากเมื่อเป็นการเชื่อมที่ใช้แรงดันเสียดทาน ( $P_1$ ) ที่ต่ำๆ ซึ่งจะเห็นได้จากความชันของเส้นกราฟ อุณหภูมิจะมีค่าพุ่งสูงขึ้นอย่างต่อเนื่อง แต่ในกรณีที่  $P_1$  มีค่าสูง เช่นที่  $P_1 = 40$  หรือ  $P_1 = 50 \text{ bar}$  แต่เมื่อ  $T_1$  เพิ่มขึ้น พบว่า อุณหภูมิมีการเพิ่มขึ้นไปอีกน้อยมากหรือแทบจะไม่เพิ่มขึ้นเลย ดังนั้นจึงกล่าวได้ว่า ในกรณีที่ใช้แรงดัน  $P_1$  ที่สูงๆ แล้วไม่จำเป็นต้องใช้เวลาเสียดทาน  $T_1$  นาน เพราะไม่ส่งอิทธิพลใดๆ ต่ออุณหภูมิตรงผิวสัมผัส นอกจากจะต้องการให้อุณหภูมิกระจายตัวออกไปได้ไกลมากขึ้นเท่านั้น

### 5.3 ข้อเสนอแนะ

1) มีปัจจัยภายนอกหลายปัจจัยที่ส่งผลกระทบต่อข้อมูลในการทดลอง โดยสาเหตุหลักๆ ที่ส่งผลต่อการกระจายตัวของอุณหภูมิ ได้แก่ สภาวะของแรงดันในการเชื่อมในช่วงเริ่มแรก และ ปัจจัยอื่นๆ ได้แก่ การกำหนดจุดวัดและเชื่อมสายวัดอุณหภูมิเข้ากับชิ้นงาน รวมถึงสภาพอากาศขณะ กำลังเชื่อม ปัจจัยต่างๆเหล่านี้ส่งผลต่อการกระจายตัวของอุณหภูมิจากการทดลองที่ทำให้เกิดค่า ความแตกต่างในระดับที่สูง เมื่อเทียบกันกับแบบจำลอง โดยระบุวิธีไฟไนต์อิเลิเมนต์ ดังนั้นใน การศึกษาต่อไปอาจควบคุมตัวแปรเหล่านี้ด้วย

การนำเกจวัดความดัน มาเป็นเครื่องมือวัดการสัมผัสบริเวณพื้นที่เสียดทานน่าจะเป็น วิธีการที่เหมาะสมสำหรับการแก้ปัญหาของแรงดันในการเชื่อมช่วงเริ่มต้น โดยการสั่งให้เครื่อง ทำงานผ่านช่วงที่แรงดันตกในช่วงแรก จากนั้นเมื่อแรงดันและความเร็วตอบเริ่มเข้าที่แล้วค่อยสั่งให้ เริ่มเครื่องเริ่มทำการเชื่อม โดยสังเกตเมื่อเริ่มของเกจวัดความดัน เกิดการเปลี่ยนแปลง เมื่อผิวสัมผัส ของห้องสองชิ้นงานเริ่มเกิดการสัมผัสและเสียดทานซึ่งกันและกัน

2) แบบจำลองโดยระบุวิธีไฟไนต์อิเลิเมนต์ ที่สร้างขึ้นเพื่อจำลองการเชื่อมด้วยวิธี เสียดทานนั้น สามารถทำนายผลการกระจายตัวของอุณหภูมิจากการเชื่อมได้ในระดับหนึ่ง อย่างไรก็ ตามแบบจำลองโดยระบุวิธีไฟไนต์อิเลิเมนต์ ยังคงต้องพัฒนาและปรับปรุงต่อไป เพื่อให้เกิดผลที่ แม่นยำและสามารถประยุกต์ใช้และคำนวณการเชื่อมด้วยวิธีเสียดทานกับวัสดุประเภทอื่นๆ ได้

เอกสารอ้างอิง

## เอกสารอ้างอิง

- [1] ช่วงชัย ชุปว�. การศึกษาตัวแปรสำหรับการเชื่อมด้วยวิธีเสียดทานด้วยวิธีทางสถิติ. วิทยานิพนธ์ปริญญาวิศวกรรมศาสตรมหาบัณฑิต: มหาวิทยาลัยอุบลราชธานี, 2553.
- [2] ช่วงชัย ชุปว� และชวลดิต ถินวงศ์พิทักษ์. “อิทธิพลของเวลาในการเสียดทานที่มีผลต่อความแข็งแรงของรอยเชื่อมของเหล็ก AISI 1015 ที่เชื่อมด้วยการเชื่อมเสียดทาน”, วารสารวิชาการ วิศวกรรมศาสตร์ ม.อ.บ. 3(2): 17-24, กรกฎาคม – ธันวาคม, 2553.
- [3] ช่วงชัย ชุปว� และชวลดิต ถินวงศ์พิทักษ์. “อิทธิพลของเวลาในการเสียดทานและความเร็วของในการเสียดทาน ที่มีผลต่อความแข็งแรงของรอยเชื่อมของเหล็ก เบอร์ AISI 1015 ที่เชื่อมเสียดทาน”, วารสารวิทยาศาสตร์และเทคโนโลยี มหาวิทยาลัยอุบลราชธานี. 13(1): 73-81, มกราคม – มีนาคม, 2554.
- [4] ธนาี ประทุมแสน และคณะ. “การศึกษาสมบัติทางกลของรอยเชื่อมแบบความเสียดทานต่อเหล็กกล้าพสังต์ไรส์นิม”, ในการประชุมวิชาการเครือข่ายวิศวกรรมเครื่องกล ครั้งที่ 24. มหาวิทยาลัยอุบลราชธานี, 2553.
- [5] ชนรัฐ ศรีวีระกุล. การวัดและเครื่องมือวัดทางอุณหภูมิ 2. ภาควิชาวิศวกรรมเครื่องกล มหาวิทยาลัยอุบลราชธานี, 2552.
- [6] ภาณุฤทธิ์ ยุกตะทัต. “ระบบเชื่อมไฟฟ้าในต่ออิมเม้นต์ ตอนที่ 1”, วารสาร โรงเรียนนายเรือ. 7(2): 1-11; เมษายน – มิถุนายน, 2550.
- [7] ปราโมทย์ เดชะอ่ำไพ. ระบบเชื่อมไฟฟ้าในงานวิศวกรรม. กรุงเทพมหานคร: สำนักพิมพ์แห่งจุฬาลงกรณ์มหาวิทยาลัย, 2549.
- [8] ปราโมทย์ เดชะอ่ำไพ. ไฟฟ้าในต่ออิมเม้นต์ในงานวิศวกรรม. กรุงเทพมหานคร: สำนักพิมพ์แห่งจุฬาลงกรณ์มหาวิทยาลัย, 2550.
- [9] ก่อสุข วีระถาวร. สมการเชิงอนุพันธ์ย่อย (Partial Differential Equation). กรุงเทพมหานคร: สำนักพิมพ์มหาวิทยาลัยรามคำแหง, 2542.
- [10] บรรจิด คงเนนตร์งาม. อิทธิพลรูปร่างสลักแกนหมุนแบบหัวโคงของการเชื่อมอัลูминีียมเจือ AA6063-T6 ต่อคุณสมบุติทางกลด้วยกระบวนการเชื่อมเสียดทานหมุนกวน. วิทยานิพนธ์ปริญญาวิศวกรรมศาสตรมหาบัณฑิต: สถาบันเทคโนโลยีพระจอมเกล้าพระนครเหนือ, 2550.

### เอกสารอ้างอิง (ต่อ)

- [11] วีรพงษ์ นิจโรจน์กุล และ อภิชาด แจ้งบำรุง. “การใช้วิศวกรรมย้อนรอยและระเบียบวิธีไฟไนต์ เอลิเม้นต์ในการวิเคราะห์ความแข็งแรงของพระพุทธรูป”, วิศวกรรมมก. 23(72): 95-108 ; พฤษภาคม – กรกฎาคม, 2553.
- [12] สุรสิงห์ อารยางค์กูร และชวิติ ถินวงศ์พิทักษ์. “อิทธิพลของแรงดันเสียดทานต่อคุณสมบัติ ของเหล็กที่เชื่อมด้วยความเสียดทาน”, ใน การประชุมวิชาการมหาวิทยาลัยอุบลราชธานี ครั้งที่ 2: อุบลราชธานี: มหาวิทยาลัยอุบลราชธานี, 2551.
- [13] สุรสิงห์ อารยางค์กูร, อดิศักดิ์ บุตรวงษ์ และชวิติ ถินวงศ์พิทักษ์. “การศึกษาคุณสมบัติของ รอยเชื่อมของเหล็กกลมที่เชื่อมด้วยความเสียดทาน”, วารสารวิชาการมหาวิทยาลัย อุบลราชธานี. 11(1); มกราคม-เมษายน, 2552.
- [14] สถาบันเหล็กและเหล็กกล้าแห่งประเทศไทย. มาตรฐานและสมบัติของเหล็กกล้าที่ใช้งานใน งานอุตสาหกรรม, 2554.
- [15] วิชาการ.คอม. “ขั้นตอนการวิเคราะห์ปัญหาทางวิศวกรรมด้วยซอฟแวร์ CAE”, บทความ วิชาการ. <http://www.vcharkarn.com/varticle/41925>. 2553.
- [16] Alvise, L. D., Massoni, E. and Walloe, S.J. “Finite element modeling of the inertia friction welding process between dissimilar materials”, Journal of Materials Processing Technology. 125-126: 387-391; 2002.
- [17] Astrom, P. Simulation of Manufacturing Process in Product Development. Department of Applied Physics and Manufacturing Engineering: Lulea University of Technology, 2004.
- [18] Can, A., Sahin, M. and Kucuk, M. “Thermically Evaluation and Modelling of Friction Welding”, Thermically Evaluation and Modelling. 51(1): 5-13; 2009.
- [19] Celik, S. and Ersozlu, I. “Investigation of the mechanical properties and microstructure of friction welding joint between AISI 4140 and AISI 1050 steel”, Material and Design. 30: 970-976; 2009.
- [20] Da Silva, A. A. M. An Investigate on the Structure/Property Relationship of Solid State Welding Process in a Titanium Matrix Composite Alloy. Faculty of Mechanical Engineering: Duisburg-Essen University, Brazil, 2006.

### เอกสารอ้างอิง (ต่อ)

- [21] Eder, P. A., Neto, F. P., An, C. Y., Silva, E. C. "Experimental Determination of Temperature During Rotary Friction Welding of AA1050 Aluminium with AISI 304 Stainless Steel", J Aerosp. Technol. Manag. SaoJose dos Campus. 4(1): 61-67; 2012.
- [22] Ellis, C.R.G. "Continuous drive friction welding of mild steel", Welding Research Supplement. 51(169): 183-197; 1972.
- [23] Fletcher, M.J. Friction welding. London: Mills and boon limited, 1972.
- [24] Grant, B., Withers, P.J., Baxter, G., Rowson, M. "Finite element process modeling of inertia friction welding advance nickel-based superalloy", Materials Science and Engineering A. 512(1-2): 366-375; 2009.
- [25] Hazman, S. "Mechanical evaluation and thermal modelling of friction welding of mild steel and aluminium", Journal of Materials Processing Technology. 210(3): 1209-1216; 2010.
- [26] Kimura, M., Kimura, M., Inoue, H., Kusaka, M., Kaizu, K. and Fuji, A. "Analysis of friction welding torque and weld interface temperature during friction process of steel friction welding", Journal of Solid Mechanics and Materials Engineering. 4(3): 401-413; 2010.
- [27] Kumar, S., Kumar, R., Singla, Y. K. "To study the mechanical behaviour of friction welding of aluminium alloy and mild steel", International Journal of Mechanical Engineering and Robotics Research. 1(3): 43-50; 2012.
- [28] Li, W. and Wang, F. "Modeling of continuous drive friction welding of mild steel", Materials Science and Engineering A. 528(18): 5921-5926; 2011.
- [29] Li, W., Shi, S., Wang, F., Zhang, Z., Ma, T. and Li, J. "Numerical simulation of friction welding processes based on ABAQUS environment", Journal of Engineering Science and Technology Review. 5(3): 10-19; 2012.
- [30] Li, W., Shi, S. X., Wang, F. F., Ma, T. J., Li, L., Gao, D. L. and Vairis, A. "Heat reflux in flash and its effect on joint temperature history during linear friction welding of steel", International Journal of Thermal Sciences. 67(216): 192-199; 2013

### ເອກສາຮ້າງອົງ (ຕ່ອ)

- [31] Nguyen, T.C. and Weckman D. C. “A thermal and microstructure evolution model of direct-drive friction welding of plain carbon steel”, Metallurgical And Materials Transactions. 37(2): 275-292; 2006.
- [32] Ogawa, K. “Friction Welding of Aluminium Alloy and Carbon Steel Using Insert Metal”, Bulletin of University of Osaka Prefecture. 43(2): 113-117; 1994.
- [33] Rajamani, G. P., Shunmugam, M. S., and Rao, K. P., “Parameter optimization and properties of friction welded quenched and tempered steel”, Welding Research Supplement. 225-230, June 1992.
- [34] Ramadhan, H. and Kako, S. A. “Efficiency of Dissimilar Friction Welding (Super Duplex Stainless Steel SAF 2507-Mild Steel) Joint”, Al-Rafidain Engineering. 21(1), 2013.
- [35] Rich, T. and Roberts, R. “A plastic model is designed to theoretically describe the movement of interface material during the forging phase of friction welding”, Welding Research Supplement. March, 1971.
- [36] Rud-di, L., Jing, L., Jiang, X., Fu, Z., Ke, Z. and Cheng, J. “Friction heat production and atom diffusion behaviors during Mg-Ti rotating friction welding process”, Transactions of Nonferrous Metals Society of China. 22(11): 2665-2671; 2012.
- [37] Sahin, M. “Simulation of friction welding using a developed computer program”, Journal of Materials Processing Technology. 153(3): 1011-1018; 2004.
- [38] Sahin, M. “Joining with friction welding of high-speed steel and medium-carbon steel”, Journal of Materials Processing Technology. 168:202-210, 2005.
- [40] Sirajuddin, E. K. “Study of transient temperature distribution in a friction welding process and its effect on its joint”, International Journal of Computational Engineering Research. 2(5): 2250-3005; 2012.
- [41] Takeshi, H., Kiyoshi, M. and Ryoji, T. “Numerical simulation of new friction welded joint”, International Symposium on Advanced Science and Technology in Experimental Mechanics. 2012.

### เอกสารอ้างอิง (ต่อ)

- [42] Wither, P. J. and Preuss, M. “Simulation of rotational welding operation”, Metals Process Simulation. Volume 22(11): 432-442; 2010.
- [43] Weldguru.com. “Guide to the Friction Welding Process” Process.  
[www.weldguru.com/friction-weld.html](http://www.weldguru.com/friction-weld.html). 2557.
- [44] Yang, H. “Effect of austenite conditioning on austenite/ferrite phase transformation of HSLA steel”, Material Transaction. 45(1): 137-142; 2004.
- [45] Zaeh, M. F. and Poecher, A. “Vibration in friction welding”, Prod. Eng. Res. Devel. 5(4): 159-165, 2011.

**ภาคผนวก**

## ผลงานตีพิมพ์จากวิทยานิพนธ์นี้

### บทความที่นำเสนอในที่ประชุมทางวิชาการระดับชาติ

- [1] ปกรณ์ อุ่นไธสง, ชวลิต ถินวงศ์พิทักษ์ และ รัชดา โสภาคย์ยง. “การศึกษาการกระจายตัวของอุณหภูมิในกระบวนการเชื่อมเสียดทาน”, ใน การประชุมวิชาการเครือข่ายวิศวกรรมเครื่องกลแห่งประเทศไทย ครั้งที่ 26. 15-17 ตุลาคม 2555 จังหวัดเชียงราย โดยสถาบันเทคโนโลยีพระจอมเกล้าพระนครเหนือ, paper no. AMM 2029.

### บทความที่ตีพิมพ์ในวารสารวิชาการระดับชาติ

- [2] ปกรณ์ อุ่นไธสง, ชวลิต ถินวงศ์พิทักษ์, สมญา ภูนະยา และ รัชดา โสภาคย์ยง. “การศึกษาการกระจายตัวของอุณหภูมิในเหล็กที่เชื่อมด้วยวิธีเสียดทานโดยใช้วิธีการจำลองด้วยคอมพิวเตอร์”, วารสารวิศวกรรมสาร มข. ปีที่ 42 ฉบับที่ 2 ประจำเดือน เมษายน – มิถุนายน 2558

## การศึกษาการกระจายตัวของอุณหภูมิในกระบวนการเชื่อมเสียดทาน The Study of Thermal Distribution in Friction Welding

ปราณ อุ่นไธสง\*, ชวลิต ถินวงศ์พิทักษ์ และ รัชดา โสภาคย়

ภาควิชาวิศวกรรมเครื่องกล คุณวิศวกรรมศาสตร์ มหาวิทยาลัยอุบลราชธานี อ.วารินชำราบ จ.อุบลราชธานี 34190

\*ติดต่อ: E-mail: [papa\\_a15@hotmail.com](mailto:papa_a15@hotmail.com) เบอร์โทรศัพท์ 045-353309, เบอร์โทรสาร 045-353308

### บทคัดย่อ

ในกระบวนการเชื่อมเสียดทานมีปัจจัยหลายปัจจัยที่มีผลต่อคุณภาพและความแข็งแรงของรอยเชื่อม เช่น งานวิจัยนี้ได้ศึกษาปัจจัยที่ส่งผลให้เกิดการเปลี่ยนแปลงอย่างชัดเจนในการเชื่อมเสียดทาน คือ การกระจายตัวของอุณหภูมิระหว่างทำการเชื่อมเสียดทาน หรือ ความร้อนที่เกิดขึ้นจากการเชื่อมเสียดทาน วัสดุที่ใช้ทำการทดลองเป็นเหล็กкар์บอนปานกกลาง AISI 1040 ขนาดเส้นผ่าศูนย์กลาง 13 mm. ยาว 70 mm. ภายใต้เงื่อนไขการทดลอง ได้แก่ เวลาในการเสียดทาน 10 sec แรงดันในการเสียดทาน 30 bar เวลาในการใช้แรงอัด 5 sec แรงดันในการอัด 30 bar และความเร็วรอบในการเสียดทาน 1,300 rpm ทำการวัดอุณหภูมิระหว่างทำการเชื่อมเสียดทานโดยใช้กล้องอินฟราเรด ได้อุณหภูมิสูงสุดอยู่ที่ 1,122 °C บทความนี้จะนำเสนอตัวอย่างของการกระจายตัวของอุณหภูมิในช่วงเวลาต่างๆ เพื่อใช้อธิบายปรากฏการณ์หลังจากการเชื่อม

**คำลักษณะ:** กระบวนการเชื่อมเสียดทาน การกระจายตัวของอุณหภูมิ เหล็กкар์บอนปานกกลาง

### Abstract

There are many factors in friction welding process that result to quality and strength of joint. This study is aimed in to investigate the most important factor which is temperature distribution. The experiment was conducted using AISI 1040 steel rods. The specimen was 13 mm. of diameter and 70 mm. long. The welding condition was 10 sec of friction time, 30 bar of friction pressure, 5 sec of upset time, 30 bar of upset pressure and 1,300 rpm of rotational speed. The temperature distribution was recorded by infrared camera. The maximum temperature during welding process was 1,122 °C. This paper presents temperature distribution through the welding process. The data is useful to explain the property of joint after welding.

**Keywords:** Friction welding process Thermal distribution steel rods

### 1. บทนำ

การเชื่อมนับเป็นกระบวนการที่สำคัญในงานทางด้านวิศวกรรม ซึ่งมีการคิดค้นและพัฒนาเทคโนโลยีการเชื่อมในรูปแบบต่างๆอย่างต่อเนื่อง สำหรับกระบวนการเชื่อมเสียดทานนั้นถือว่าได้รับ

ความนิยมมากขึ้นจากในอดีตจนถึงปัจจุบัน เนื่องจากข้อดีหลายด้านของกระบวนการเชื่อมเสียดทาน เช่น สามารถเชื่อมวัสดุที่ต่างชนิดกันได้ ได้งานที่ละเอียด เชื่อมติดกันทั้งพื้นที่หน้าตัด ไม่ใช้วัสดุที่เป็นตัวช่วยประสาน จากคุณสมบัติที่เกิดขึ้น

ของกระบวนการเชื่อมเสียดทานเองส่งผลโดยตรงต่อคุณภาพและความแข็งแรงของรอยเชื่อม

โดยมีผู้ที่ศึกษาวิจัยเกี่ยวกับอุณหภูมิที่เกิดขึ้นในระหว่างการเชื่อมเสียดทาน ได้แก่ Hazman Seli , Ahmad Izani Md. [1] ได้ทำการทดลองวัดอุณหภูมิการเชื่อมเสียดทาน ระหว่างเหล็กกล้าคาร์บอนต่อกับอลูมิเนียม ทำการทดลองโดยใช้ Thermo couple (Typ-k) โดย ได้เชื่อมสาย Thermo couple ติดกับอลูมิเนียมซึ่งเป็นชิ้นงานที่อยู่กับที่ มีระยะห่างจากจุดเสียดทาน 2 mm และ 10 mm เงื่อนไขในการเชื่อมเสียดทานมี ความเร็วรอบ 900 rpm แรงดันในการเสียดทาน 15 MPa เวลาในการเสียดทาน 3.15 Sec เวลาในการอัด 0.86 Sec แรงดันในการอัด 25 MPa ผลการทดลองพบว่า การถ่ายเทความร้อนจากการเชื่อมเสียดทานมีอุณหภูมิเพิ่มขึ้นสูงสุด 568 °C ที่เวลา 3.15 Sec ระยะ 2 mm และ อุณหภูมิค่อนข้างลดลงเหลือ 112 °C ที่เวลา 6.3 Sec ในระยะ 10 mm Wen-Ya Li , Tiejun Ma , Jinglong Li. [2] ได้ศึกษาการเชื่อมเสียดทานเชิงเส้นหรือในแนวเส้นตรง โดยแบบคำนวนทางคอมพิวเตอร์ ใช้โปรแกรม ABAQUS/Explicit 2D ชิ้นงานที่ใช้ทดลองเป็น อลูมิเนียมอัลลอยด์ ทั้งสองชิ้นงาน มีขนาดความกว้าง 17 mm ความยาว 40 mm ตัวแปรที่ใช้ในการศึกษา ได้แก่ ความกว้าง (Amplitude) 2.5,3.5,4.5 mm ค ว า ม ถี่ (Oscillation frequency) 25,35,45 Hz และเวลาในการเสียดทาน (Friction pressure) 20,40,60 MPa จากผลการทดลองพบว่า ที่เวลา 1 Sec อุณหภูมิอยู่ที่ 974.72 °C ที่ 2 Sec อุณหภูมิอยู่ที่ 1015.02 °C ที่ 3 Sec อุณหภูมิอยู่ที่ 1003.31 °C ที่ 4 Sec อุณหภูมิอยู่ที่ 1002.87 °C Wenya Li , Feifan Wang. [3] ได้ทำการศึกษาทดลอง โดยการใช้โปรแกรม ABAQUS ออกแบบทดลองการเชื่อมเสียดทานโดยเหล็กกล้าคาร์บอนต่ำ ในแบบ 2D มีเงื่อนไขดังนี้ คือ เวลาในการเสียดทาน 3.5 Sec เวลาในการอัด 0.1 Sec แรงดันในการเสียด

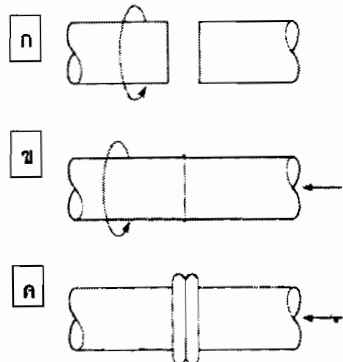
ทาน 200 MPa แรงดันในการอัด 400 MPa และ ความเร็วรอบ 1,200 rpm ผลการทดลองพบว่า อุณหภูมิเพิ่มขึ้นอย่างรวดเร็วที่ช่วงเวลาต่างๆ โดยที่เวลา 0.1 – 1.5 Sec อุณหภูมิอยู่ที่ประมาณ 1,000 °C และเพิ่มขึ้นถึงประมาณ 1,200 °C ที่เวลา 3.5 Sec

ในส่วนของการศึกษาเกี่ยวกับการกระจายตัวของอุณหภูมิระหว่างการเชื่อมเสียดทานนี้ ผู้ที่ศึกษาเรื่องการเชื่อมเสียดทานยังให้ความสำคัญน้อย งานวิจัยนี้จึงมีวัตถุประสงค์เพื่อศึกษาการกระจายตัวของอุณหภูมิระหว่างทำการเชื่อมเสียดทานและการเปลี่ยนแปลงโครงสร้างของชิ้นงานหลังการเชื่อม

## 2. เครื่องมือและวิธีการทดลอง

### 2.1 แนวคิดเบื้องต้นของกระบวนการเชื่อมเสียดทาน

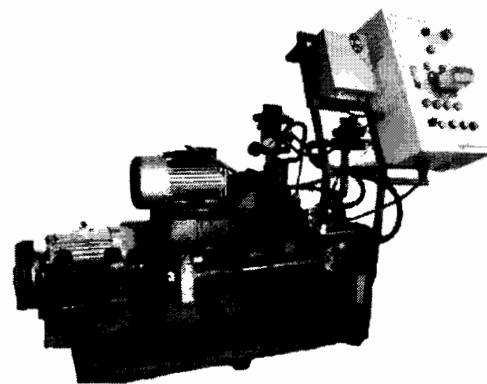
หลักการเชื่อมเสียดทาน อาศัยหลักการเปลี่ยนแรงเสียดทานของการเชื่อมเสียดทานเป็นพลังงานความร้อนให้พื้นที่สัมผัสของชิ้นงานหลอมติดกันที่เวลาค่าหนึ่ง ในการเชื่อมนั้นทำได้โดยการหมุนชิ้นงานหนึ่งด้วยความเร็วและแรงบิดค่าหนึ่ง ดังได้แสดงในรูปที่ 1 (ก) จากนั้นเพิ่มแรงดัน ดันชิ้นงานให้สัมผัสและเสียดสีกันกับชิ้นงานที่ยึดติดอยู่กับที่โดยกำหนดเวลาในการเสียดทานที่เหมาะสมขึ้นมา จนชิ้นงานทั้งสองเกิดความร้อนและหลอมละลายติดกันดังได้แสดงในรูปที่ 1 (ข) ขั้นตอนสุดท้ายเป็นขั้นตอนของการเพิ่มแรงดันในการอัด อัดชิ้นงานอีกครั้งหนึ่งเพื่อให้ชิ้นงานเกิดการเชื่อมติดกันมากขึ้น และแข็งแรง ดังแสดงในรูปที่ 1 (ค) หลักการดังกล่าวอาศัยตัวแปรที่เกี่ยวข้อง ได้แก่ ความเร็วรอบ แรงบิด ระยะเวลาในการเพิ่มแรงในแนวแกน และค่าของแรงดันในแนวแกนที่เพิ่มในแต่ละช่วงของการเชื่อม เป็นต้น



รูปที่ 1 หลักการเบื้องต้นของกระบวนการเขื่อมเสียดทาน

## 2.2 เครื่องเขื่อมเสียดทาน

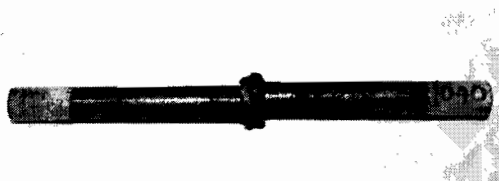
เครื่องเขื่อมเสียดทานมีหลักการทำงานตามขั้นตอนต่างๆ ที่ได้แสดงไว้แล้วในตอนต้น ซึ่งเกือบจะทั้งหมดของเครื่องเขื่อมเสียดทานอาศัยการปรับตั้งค่าก่อนทำการทดลองที่เป็นแบบ Manual ผู้ทำการทดลองเองจะต้องมีความละเอียดและรอบครอบในการปรับตั้งค่าก่อนทำการทดลอง ทุกครั้ง เครื่องเขื่อมเสียดทานที่ใช้ในการศึกษาเป็นเครื่องตันแบบที่ได้พัฒนาตามแนวคิดและหลักการทำงานเบื้องต้น โดยมีมอเตอร์ขนาด 5 Hp เป็นตัน กำลังในการหมุนชิ้นงาน และระบบไฮดรอลิกส์ในการสร้างแรงดันอัดชิ้นงานเพื่อเขื่อมให้ติดกัน เครื่องเขื่อมนี้ทำงานโดยใช้ระบบ Electric Solenoid Valve ควบคุมแรงดันไฮดรอลิกส์ในช่วงต่างๆ ใช้ Timer ควบคุมเวลาการเปลี่ยนค่าแรงดัน ในช่วงต่างๆ ของระบบ ในส่วนของการควบคุมความเร็วของ การหมุนของชิ้นงานที่จะทำการเขื่อมนั้นใช้ Inverter ขนาด 7.5 Hp ช่วยควบคุมความเร็วของ การทำงานขณะทำการเขื่อมเสียดทาน รูปที่ 2 แสดงเครื่องเขื่อมเสียดทานที่ใช้ในการศึกษา



รูปที่ 2 เครื่องเขื่อมเสียดทาน

## 2.3 วัสดุที่ใช้ในการทดลอง

วัสดุที่ใช้ทำการทดลองในงานวิจัยนี้เป็นเหล็กคาร์บอนปานกลาง AISI1040 (Medium Carbon Steel) ขนาดเส้นผ่าศูนย์กลาง 13 mm. ยาว 70 mm. ทั้งสองชิ้นงาน ดังแสดงในรูปที่ 3

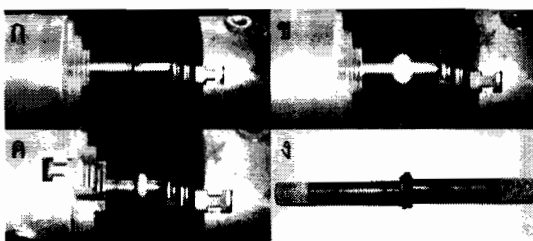


รูปที่ 3 เหล็กคาร์บอนปานกลาง (AISI 1040) (Medium Carbon Steel) ที่เขื่อมเสร็จ

## 2.4 วิธีการทดลอง

วิธีการทดลองนี้ใช้เครื่องเขื่อมเสียดทานดังแสดงในรูปที่ 2 เขื่อมวัสดุชนิดเดียวกัน คือเหล็กกล้าคาร์บอนปานกลาง AISI 1040 (Medium Carbon Steel) ภายใต้เงื่อนไขการทดลอง ได้แก่ เวลาในการเสียดทาน 10 sec แรงดันในการเสียดทาน 30 bar เวลาในการใช้แรงอัด 5 sec แรงตันในการอัด 30 bar และความเร็วของ การเสียดทาน 1,300 rpm ทำการวัดอุณหภูมิระหว่างทำการเขื่อมเสียดทานโดยใช้กล้องอินฟารेड (VarioCAM® high resolution 1.23 Megapixel)

จากเงื่อนไขข้างต้น เริ่มทำการทดลอง ขั้นตอนทางด้านซ้ายหมุนด้วยความเร็วรอบ 1,300 rpm ดังแสดงในรูปภาพที่ 4 (ก) จากนั้นขั้นงานด้านขวาเคลื่อนที่เข้าเสียดทานด้วยเวลา 10 sec และ แรงดันเสียดทาน 30 bar แสดงในรูปภาพที่ 4(ข) จนขั้นงานทั้งสองเกิดความร้อนและหลอมติดกัน เมื่อครบเวลาเสียดทานมอเตอร์จะหยุดหมุนและดันขั้นงานทางด้านขวาโดยใช้แรงดันในการอัด 30 bar เป็นเวลา 5 Sec ดังแสดงในรูปภาพที่ 4(ค) ในขณะทำการเชื่อมเสียดทานก็ใช้กล้องอินฟารेड (VarioCAM® high resolution 1.23 Megapixel) วัดอุณหภูมิไปพร้อมๆ กัน

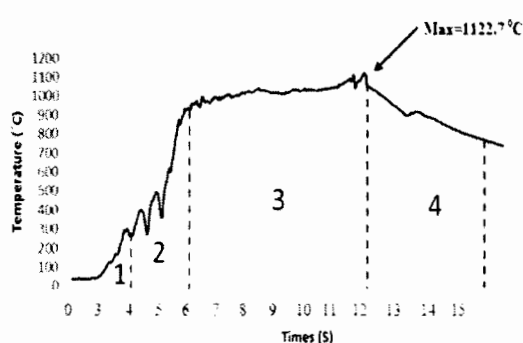


รูปที่ 4 กระบวนการเชื่อมเสียดทาน

### 3. ผลการทดลองและอภิปรายผลการทดลอง

#### 3.1 ผลการวิเคราะห์อุณหภูมิ

จากการทดลองตามกระบวนการเชื่อมเสียดทานและทำการวัดอุณหภูมิโดยกล้องอินฟารेड ขณะทำการเชื่อมเสียดทาน ทำให้ได้กราฟอุณหภูมิ ดังนี้

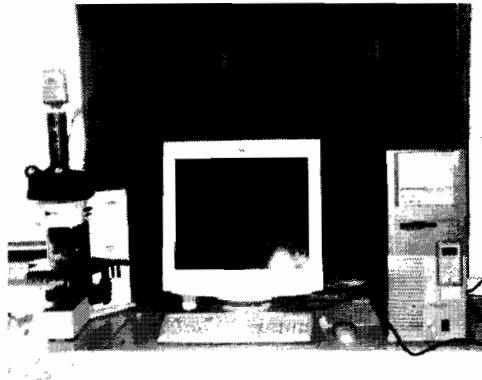


รูปที่ 5 กราฟแสดงอุณหภูมิในช่วงเวลาต่างๆ

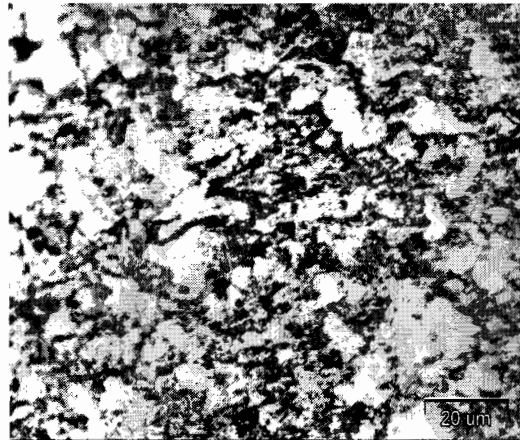
จากรูปที่ 5 จะเห็นได้ว่าเมื่อเครื่องเริ่มทำงาน และขั้นงานเกิดการเสียดทาน จนเกิดความร้อน เปรียบเหมือนการอุ่นพื้นที่หน้าตัดของขั้นงาน ทำให้เกิดความร้อนทั่วทั้งพื้นที่หน้าตัดดังแสดงในรูปที่ 5 ช่วงที่ 1 จากกราฟอุณหภูมิยังไม่สูงมาก อุณหภูมิอยู่ที่ประมาณ 300°C ที่เวลา 4 Sec ความร้อนที่เกิดจากการเสียดทานของขั้นงานทั้งสองเพิ่มมากขึ้น เห็นได้จากราฟที่มีแนวโน้มสูงขึ้น พร้อมทั้งความร้อนเกิดการถ่ายเทห้ออุณหภูมิห้อง ดังแสดงในรูปที่ 5 ช่วงที่ 2 ที่เวลา 4-6 Sec อุณหภูมิเพิ่มขึ้นอยู่ที่ประมาณ 900 °C จากการเสียดทานที่แรงขึ้นทำให้อุณหภูมิเพิ่มขึ้นอย่างรวดเร็ว และเริ่มคงตัว อยู่ในช่วงที่ 3 ของกราฟ ดังแสดงในรูปที่ 5 ช่วงที่ 3 อุณหภูมิอยู่ที่ประมาณ 1,100 °C และสูงสุดที่ 1,122 °C ในระยะเวลา 6-12 Sec ช่วงสุดท้ายของการกระจายตัวของอุณหภูมิหลังจากที่มอเตอร์หยุดหมุนพร้อมทั้งเพิ่มแรงอัดขั้นงานทั้งสองขั้นให้ติดกัน อุณหภูมิลดลงอย่างต่อเนื่องตามลำดับ ดังแสดงในรูปที่ 5 ช่วงที่ 4

#### 3.2 ผลการวิเคราะห์โครงสร้างจุลภาค

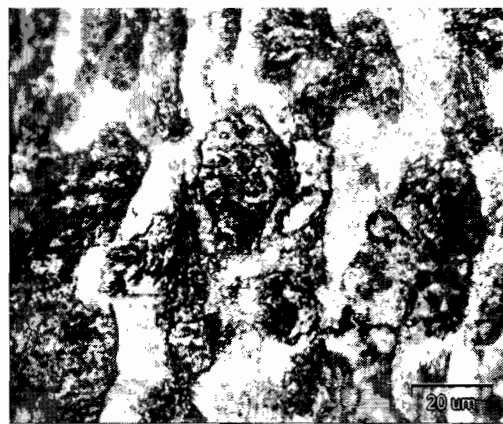
ในการทดลองนี้ยังสามารถอธิบายการเปลี่ยนแปลงของโครงสร้างจุลภาคและค่าความแข็งแรงของรอยเชื่อม โดยนำขั้นงานที่ผ่านการทดลองเชื่อมเสียดทานมาส่องดูโครงสร้างจุลภาค โดยกล้องจุลทรรศน์ ซึ่งได้ผลตั้งแสดงในรูปที่ 7 และ 8



รูปที่ 6 อุปกรณ์และกล้องจุลทรรศน์ ที่ใช้ใน การวิเคราะห์ผลและถ่ายภาพของโครงสร้าง



รูปที่ 8 ภาพถ่ายเกรนของชิ้นงานหลังทำการ เชื้อมเสียดทาน



รูปที่ 7 ภาพถ่ายเกรนของชิ้นงานก่อนทำการ เชื้อมเสียดทาน

จากรูปที่ 7 แสดงภาพโครงสร้างจุลภาคของชิ้นงานก่อนการเชื้อม ซึ่งจะเห็นว่าโครงสร้างก่อนการเชื้อมนั้นประกอบด้วย เฟอร์ไรท์(Ferrite) กับ เพียร์ไลท์ (Pearlite) ซึ่งจะคงสภาพในระบบผลึกแบบ BCC (Body Centered Cubic) จนกว่า อุณหภูมิประมาณ  $700^{\circ}\text{C}$  ส่วนในรูปที่ 8 เป็นภาพโครงสร้างจุลภาคหลังจากการเชื้อม ซึ่งจะเห็นว่า โครงสร้างจุลภาคเปลี่ยนมาเป็น เฟอร์ไรท์ (Ferrite) และ ออสเทนไนท์ (Austenite) ซึ่งมีลักษณะของระบบผลึกแบบ FCC (Face Centered Cubic) จะเกิดโครงสร้างในลักษณะนี้ที่ อุณหภูมิระหว่าง  $700^{\circ}\text{C} - 1,200^{\circ}\text{C}$  ซึ่ง สอดคล้องกับผลการทดลองที่ได้แสดงไว้ในกราฟข้างต้น ดังแสดงในรูปที่ 5

ในส่วนของความแข็งแรงของรอยเชื้อมนั้น พบร่วมรอยเชื้อมมีค่าความแข็งแรงที่สูงขึ้นจาก ความแข็งแรงเดิม 704.44 MPa มาเป็น 828.94 MPa ดังแสดงในตารางที่ 1 คุณภาพเพิ่มขึ้นคิดเป็น 17%

ตารางที่ 1 แสดงค่าความแข็งแรงของชิ้นงาน

ชนิดของ วัสดุ	ค่าความแข็งแรงเฉลี่ย (MPa)	จำนวน ชิ้นงาน

	ก่อนเขื่อม	หลังเขื่อม	
AISI	704.44	828.94	
1040			3

#### 4. สรุป

จากการศึกษาลักษณะการกระจายตัวของอุณหภูมิ สามารถแยกออกเป็นช่วงของลักษณะการถ่ายเทออกเป็น 4 ช่วง คือ ช่วงที่ 1 ช่วงของการอุ่นชิ้นงาน อุณหภูมิอยู่ที่ประมาณ  $300^{\circ}\text{C}$  ที่เวลา 4 Sec ช่วงที่ 2 ช่วงของการเพิ่มขึ้นอย่างรวดเร็วของอุณหภูมิ อุณหภูมิเพิ่มขึ้นอยู่ที่ประมาณ  $900^{\circ}\text{C}$  ที่เวลา 4-6 Sec ช่วงที่ 3 ช่วงของการคงที่ของอุณหภูมิ อุณหภูมิอยู่ที่ประมาณ  $1,100^{\circ}\text{C}$  และสูงสุดที่  $1,122^{\circ}\text{C}$  ในระยะเวลา 6-12 Sec และช่วงที่ 4 ช่วงการลดลงของอุณหภูมิ อุณหภูมิลดลงตามลำดับ

ในส่วนของโครงสร้างจุลภาคนั้น ช่วงก่อนการเขื่อมโครงสร้างประกอบด้วยเฟอร์ไรท์ (Ferrite) กับ เพียร์ไลท์ (Pearlite) อุณหภูมิประมาณ  $700^{\circ}\text{C}$  หลังการเขื่อม โครงสร้างจุลภาคเปลี่ยนมาเป็น เฟอร์ไรท์ (Ferrite) และ ออสเทนไนท์ (Austenite) อุณหภูมิระหว่าง  $700^{\circ}\text{C} - 1,200^{\circ}\text{C}$  และการวัดค่าความแข็งแรงที่รอยเขื่อม มีค่าความแข็งแรงเพิ่มขึ้นจาก 704.44 Mpa เป็น 828.94 Mpa คิดเป็น 17%

[1] Hazman Seli, Ahmad Izani Md., (2010). Mechanical evalution and thermal modeling of friction welding of mild steel and aluminium, Journal of Materials Processing Technology 210(2010) 1209-1216

[2] Wen-Ya Li , Tiejun Ma , Jinglong Li.,(2009). Numerical simulation of linear friction welding of titanium alloy : Effect of processing parameter, Material and Design 31 (2010) 1497-1507

[3] Wenya Li , Feifan Wang.,(2011). Modeling of continuous drive friction welding of mild steel, Materials Science and Engineering A 528(2011) 5921-5926

#### 5. กิตติกรรมประกาศ

ขอขอบคุณบริษัท Entech Associate Co.,Ltd ที่ให้การสนับสนุนกล้องวัดอุณหภูมิในการทดลอง และคณะวิศวกรรมศาสตร์ มหาวิทยาลัยอุบลราชธานี ที่ให้การสนับสนุนเครื่องมือในงานวิจัย

#### 6. เอกสารอ้างอิง



## การศึกษาการกระจายตัวของอุณหภูมิในเนลลิกที่เขื่อนด้วยวิธีเสียบทานโดยวิธีการจำลองด้วยคอมพิวเตอร์

**The study of temperature distribution in steel rods welded by friction welding using computer simulation**

ปักกม์ อุ่นไส่อง, ชาลิต ถินวงศ์พิทักษ์, รัชดา โสภาคย์แสง และสมญา ภูมายา

Pakorn Auntsaisong, Chawalit Thinvongpituk, Ratchada Sopakayang and somya poonaya

ภาควิชาวิศวกรรมศาสตร์ คณะวิศวกรรมศาสตร์ มหาวิทยาลัยอุบลราชธานี 44000 อุบลราชธานี 34190

Department of Mechanical Engineering, Faculty of Engineering, Ubon Ratchathani University, Ubon Ratchathani,  
34190, Thailand.

Received  
Accepted

### บทคัดย่อ

งานนี้จัดเป็นการศึกษาการกระจายตัวของอุณหภูมิในเนลลิกที่เขื่อนด้วยวิธีเสียบทาน โดยศึกษาจากการสร้างแบบจำลองทางคอมพิวเตอร์และการคำนวณโดยใช้เวียนฟินิตี้เอลเม้นต์ (Finite Element Analysis, FEA) และใช้ใบป่อนไปที่ใช้คำนวณเป็นแบบ 2D ซึ่งผลที่ได้จากการคำนวณจะเป็นแบบจำลอง FEA จะถูกเทียบกับผลการทดลองที่อุณหภูมิ ผลลัพธ์ที่ได้ในการทดลองเป็นวัสดุประปาหินสีกากีเรียบผิวน้ำเส้นสีสูนอย่าง 15 mm ยาว 80 mm ระยะที่วัดอุณหภูมิห่างจากทันทีที่ปืนน้ำสัก 3, 6 และ 9 mm ทดสอบภายใต้ใบป่อนไปที่แยกส่วนที่ 3 รูดเพื่อให้เกิดแนวโน้มการกระจายตัวของอุณหภูมิที่แตกต่างกัน จากการเปรียบเทียบผลแบบจำลอง FEA และการทดลองพบว่า ในช่วงแรกของการทดลองอุณหภูมิที่ได้รับได้มาโดยประมาณจากแบบจำลอง FEA และเมื่อเครื่องห้ามเสี้ยวลากหัวปักกี ผลกระทบลดลงเมื่อหัวไก่เดียวที่บันทึกผลแบบจำลอง FEA มาก ให้พบว่า ต่ำอุณหภูมิสูงสุดที่ได้จากแบบจำลอง FEA และจากการทดลองที่ 3 รูด มีความแตกต่างกันและเพิ่มขึ้นประมาณ 5.6%, 7.3% และ 14% ในรูดที่ 1, 1.6%, 9.3% และ 9.4% ในรูดที่ 2 และ 0.3%, 0.4% และ 0.9% ในรูดที่ 3 นอกจากนี้ผลการวิเคราะห์กราฟของอุณหภูมิพบว่า เมื่อมีการหันและหันเสียงความและเวลาเสียบทานนี้ ต่ำอุณหภูมิของรอบเพื่อจะประเมินการพิเศษที่ป้องกันไว้ ซึ่งประกอบด้วยน้ำมันที่สองครั้งกัน ทั้งจากการทดลองและจากแบบจำลอง FEA ดังนั้น จึงอาจกล่าวได้ว่า แบบจำลอง FEA ที่ได้สามารถทำนายการกระจายตัวของอุณหภูมิได้ถูกยืนยันแล้ว สำหรับคุณภาพของอุณหภูมิ เสื่อมด้วยวิธีเสียบทาน แม้สิ่งของบนน้ำ ระบุเป็นวิธีในฟินิตี้เอลเม้นต์

### Abstract

This study is aimed to investigate the temperature distribution in steel rods welded by friction welding. The study is conducted by experiment and FEA simulation and conditions for calculations is

\* Corresponding author. Tel: 045 253 309; fax: 045 253 308  
Email address: chawalit@rockzmail.com

from 2D. The experiment is conducted using low carbon steel rods with a diameter 15 mm and 80 mm long. The temperature is measured at the distance of 3, 6 and 9 mm. The welding conditions are designed in 3 sets in order to compare. The experimental result is compared with FEA. It is found that the temperature archived from experiment is lower than that of FEA in the beginning of the welding process. However, the result from experiment is agreed very well with the FEA result after the welding process is steady. The average differences of maximum temperature between FEA and experiment from 3 sets are about 5.6%, 7.3% and 14% for group 1, 1.6%, 9.3% and 9.4% for group 2 and 0.3%, 0.4% and 0.9% for group 3 in averages. In addition it is revealed that when the friction process and friction temperature increases the temperature rise is also increased. This phenomena is similar for both FEA and experiment. This implies that the FEA model can be used to predict the temperature distribution in welding process.

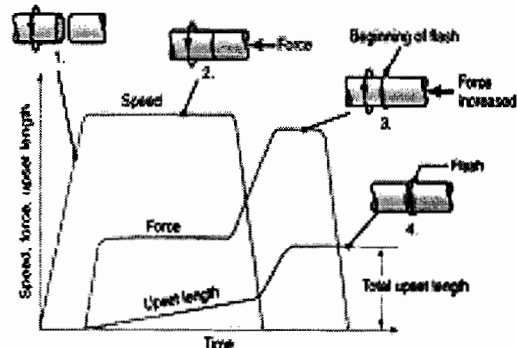
**Keywords :** Temperature distribution, Friction welding, Low carbon steel, Finite element analysis.

## 1. บทนำ

การเชื่อมด้วยวิธีเสียดทาน (Friction Welding) เป็นการเชื่อมที่ก้าวสู่ได้รับความนิยมในหลาย อุตสาหกรรม กระบวนการการเชื่อมสามารถทำได้โดย นำ ไฟฟ้าเพื่อเรียบเรียบหน้างานที่ต้องเชื่อมที่มีน้ำหนักตัว ความเร็ว (Speed) คงที่ก้าวหน้า จากนั้นเพิ่มน้ำหนักใน แรงดัน (Force) แล้วใช้เวลาที่อยู่บ้านที่ได้เสียดทาน กับชิ้นงานที่มีน้ำหนัก สุดท้ายให้เกิดความร้อนทั่วบริเวณ ที่น้ำหนักตัวที่จะเดินเป็นเวียนของความร้อนปฏิกัด รอบเชือดอย่างต่อเนื่อง จึงทำการตรวจสอบบุบพร่องที่ได้ แรงดันในแบบยกที่ไม่ค่อยทำกันหรือมากกว่าเดิม ซึ่ง ชิ้นงานไม่ติดกันอย่างรวดเร็ว ซึ่งในแต่ละขั้นตอนนี้จะมีขั้นตอนที่ ใช้เวลาเชื่อมตัวลงภายใต้แรงดันซึ่งจะถูกกำหนดไว้และ กีดกันการเชื่อมต่อที่ไม่ดี [1, 2] ดังแสดงในรูปที่ 1

อุปกรณ์ของวิธีเสียดทานที่เกี่ยวข้องใน กระบวนการการเชื่อมนั้นประกอบไปด้วยความเร็วที่สูง และ รีสูบกีดการเสียดทานแบบพลาสติก (Flash) บวิทยุ ร้อยละของการเชื่อมต่อจึงดีขึ้นซึ่ง ซึ่งในการเสียดทานนี้ จะก้านและกัดเสื่อนที่รองสารปูมเมื่อน เช่น หก หกไก่สักกิ้งวิถีน้อยเชื่อม และทำให้ลามาก ควบคุมดูดภาระของสายเชื่อมได้ [4, 5] สำหรับข้อดี ของการเชื่อมด้วยวิธีเสียดทานมีที่อยู่ระหว่างประการ

เห็นได้ชัดเจนในการเชื่อมต่อ ไม่ต้องใช้อุปกรณ์ ร้อยเชือดมีความแม่นยำสูงเพราะเชื่อมพานติดกัน ทันทีที่น้ำหนัก สามารถเชื่อมต่อหัวตัวห้องติดกันได้ ประหนึ่งหลังจาก รวมถึงเป็นวิธีลดต้นทุนต่อไปด้วย



รูปที่ 1 กระบวนการการเชื่อมด้วยวิธีเสียดทาน [3]

## 2. งานวิจัยที่เกี่ยวข้อง

ในระยะทางตามต้นฉบับฉบับที่ 1 ดำเนินการวิจัย และพัฒนาการเชื่อมด้วยวิธีเสียดทานได้รับความนิยม เป็นอย่างมากทั่วทั้งประเทศและต่างประเทศ ทั้งใน ประเทศและสาขาประดิษฐ์ ด้านนี้การน้าเจาขนาดใหญ่ที่ ตอบสนองได้ศึกษาและน้าเจาขนาดเล็ก ลั่นให้เกิดการ หักบานของโครงสร้างที่มีการเชื่อมด้วยวิธีเสียดทาน อย่างหลากหลาย ซึ่งจะยกตัวอย่างได้ดังต่อไปนี้

ENGINEERING JOURNAL 2015; 4(2):

เมื่อต้นงานบริษัทในประเทศไทยที่มีข่าวดีของและทดลองกับงานวิจัยนี้ได้แก่ การศึกษาดูดสืบจากน้ำในห้องร้านฯ ถูกการตรวจสอบเพื่อมองเรื่องเหล็กกลัง คานบันเดอร์ ที่ใช้มีด้าวหรือเสียดทาน ซึ่งค้นพบว่าผ่านการซื้อมาไม่ค่าความเสี่ยงแรงที่ร้ายเรื่องเดินมากกว่า 5% ของวัสดุเดิม [6] การศึกษาอิทธิพลของด้าวแบบ ร่อง ได้แก่ ใช้อิทธิพลของเวลาและความเร็วของในการเสียดทาน ที่มีผลต่อความเสี่ยงแรงของแรงเรื่องเหล็ก AISI 1015 จากการทดลองพบว่า ที่อุณหภูมิ 6 วินาที และความเร็วของ 1,300 rpm ให้ค่าความเสี่ยงแรงสูงสุด [7] นอกจากนี้ ยังได้ศึกษาอิทธิพลของเวลาเสียดทาน ที่มีผลต่อความเสี่ยงแรงของแรงเรื่อง โดยศึกษาเพิ่ม กับด้าวแบบร่องๆ เช่น เวลาในการซัด (Upset time) แรงที่นำไปการซัด (Upset pressure) และตัวไปการเสียดทาน (Friction pressure) และความเร็วของ (Speed) สำหรับผลการทดลองพบว่า เมื่อเพิ่ม แรงที่นำไปซัดสูงขึ้นแบบโน้มถ่วงความเสี่ยงแรงจะสูงขึ้น ความแรงดัน และเวลาซัดที่ 4 วินาที จะได้ค่าความเสี่ยงแรงสูงสุด [8]

สำหรับการศึกษาการกระจายตัวของอุณหภูมิ (Temperature distribution) การเสียกปะรองรัตตุ (Material deformation) ความดัน (Stress) ความเครียด (Strain) และพลังงาน (Energy) ที่เกิด จากการซื้อมาด้วยวิธีเสียดทานนี้มีนักวิจัยที่ ทำการศึกษาโดยใช้แบบจำลองทางคอมพิวเตอร์ เช่น Sizelibc ได้นำเสนอการรังสรรค์แบบจำลองแบบ 2 มิติ (2D Axisymmetry) โดยวิธี FEA ในกระบวนการการซื้อมา ห้องวิเคราะห์เสียดทาน และเป็นงานวิจัยมากที่น้ำหนัก กระบวนการการหางความร้อน (Heat treatment) ที่จะช่วย กระบวนการการหางความร้อน (Heat treatment) ที่จะช่วย กระบวนการหางความร้อนที่ทำกากาดล่อง ผลพบว่า แบบจำลองแบบ 2 มิติ (2D Axisymmetry) เหมาะสมและใช้ได้ กับกระบวนการการซื้อมาด้วยวิธีเสียดทาน [9] ต่อมา Sahin ได้ใช้ซอฟแวร์คอมพิวเตอร์รังสรรค์แบบจำลอง การซื้อมาด้วยวิธีเสียดทานที่มีพื้นที่น้ำหนักต่ำกว่า 5% ของอุณหภูมิของแรงเรื่องเสียดทานเปรียบเทียบผลกับ

การทดลอง ผลพบว่า การรังสรรค์แบบจำลองและการทดลองได้ผลที่ใกล้เคียงกัน และยังได้ความถูกต้องด้วย การก้าวหน้าอย่างมากเมื่อห้องวัดดูในซอฟแวร์ [10] นอกจากนี้ Li และคณะ ยังได้รังสรรค์แบบจำลองแบบ 2 มิติ (2D) ตามกระบวนการของการซื้อมาเสียดทานในแบบ ต่างๆ โดยทำการศึกษาด้วยการนิ่งและกระชาตต์ ของความร้อน ของการศึกษาพบว่า การซื้อมาเสียดทานแบบรังสรรค์ได้ผลดีที่สุดเมื่อเปรียบเทียบกับกระบวนการการเผาต่อ ที่ประมาณ 1,200°C สำหรับการซื้อมาที่แบบรังสรรค์ได้ผลดีที่สุด ใช้รัฐประสาท ถุปเปอร์ซิลิโตร์ (FGH96) พนบัว การกระเจิงตัวของอุณหภูมิจากที่หัวน้ำหัวดูด ระยะ 2 mm และ 4 mm ประมาณ 1,130°C, 1,030°C และ 750°C ตามลำดับ และการซื้อมาเสียดทานแบบรังสรรค์ได้ผลดีที่สุดเมื่อเปรียบเทียบกับ 18 mm, ยาน 45 mm พนบัว ที่อยู่ในกระบวนการเผา อุณหภูมิเพิ่มขึ้นอย่างรวดเร็วและหัวน้ำหัวดูดเพิ่มอุณหภูมิประมาณ 750°C แม้จะลดลงอย่างรวดเร็วเมื่อ หยุดกระบวนการเผา [11]

การวัดอุณหภูมิในกระบวนการซื้อมาด้วยวิธีเสียดทาน ในเมืองต้นนี้เมื่อครั้ง 2 วินาที ได้แก่ วิธีที่นิยมในการใช้ กับด้าวและอุณหภูมิอินฟาร์ด วิธีนี้จะสามารถตรวจ อุณหภูมิที่บริเวณหัวที่เสียดทานได้ ซึ่งอาจเป็นการ กระเจิงตัวของอุณหภูมิของหัวตัวต่อ [12] และวิธีที่ สอง คือ การวัดอุณหภูมิโดยใช้ตัวอุ่นคันบีช ซึ่งจะ ซื้อมาขายด้วยอุณหภูมิให้ติดกับหัวงานที่ไม่ให้หมุนได้ ให้ตัวหัวหางจากหัวที่หัวน้ำหัวดูดตั้งแต่ 2 mm ขึ้นไป ตาม ความยาวของแรงเรื่องเหล็ก เพื่อทำการเมื่อยันผล อุณหภูมิที่เกิดขึ้นตามระยะเวลาที่ทำการซัด [13] จาก การศึกษางานวิจัยที่ได้รับการเมื่อยัน พบว่า ยังไม่มี งานวิจัยใดที่ทำการทดสอบว่าอุณหภูมิในเหล็ก คานบันเดอร์ที่ซื้อมาด้วยวิธีเสียดทาน สำหรับงานวิจัยนี้ เป็นการศึกษาการรังสรรค์แบบจำลองโดยวิธี FEA ใน กระบวนการซื้อมาด้วยวิธีเสียดทานโดยใช้เหล็ก คานบันเดอร์ เพื่อศึกษาการกระเจิงตัวของอุณหภูมิ

ENGINEERING JOURNAL, 2015; 4(2):

จากเดิมสมดุลที่เกิดขึ้นจากการเสียดทาน สูบีวาน พื้นที่ที่ได้รับผลกระทบจากความร้อน ผลของอุณหภูมิ ที่ได้จากการสร้างแบบจำลองจะถูกเทียบกับผลการทดลองที่อุณหภูมิ เพื่อสูตรของความร้อนแบบที่มีผลการกระจายตัวของอุณหภูมิ

### 3. วิธีการวิจัย

ต่อไปนี้จะเป็นการอธิบายวิธีกระบวนการ การสร้างแบบจำลองและการทำการทดสอบของรากอุณหภูมิ ซึ่ง สามารถประเมินได้ดังนี้

#### 3.1 หลักการที่เกี่ยวข้อง

ตามมาตรฐานการถ่ายเทความร้อนที่สึกภาวะคงที่ของของแข็ง (Semi-Infinite Solid) เป็นการวิเคราะห์ที่มีอุปทานทางความร้อนเริ่มต้นที่คงที่ แต่เป็นการที่ควรทราบว่ามีอุปทานที่ต้านทานของเหลวที่มีความถาวรกันตัวหนึ่งไม่สามารถถ่ายเทความร้อนได้ และเปิดการถ่ายเทความร้อนไปยังปลายนิ้วที่ (Transient heat conduction) ซึ่งจะส่งผลต่อระบบ  $x$  ดังสมการ (1) [14]

$$x = 4\sqrt{at} \quad (1)$$

โดยที่  $a$  คือ ค่าประวัติการถ่ายเทความร้อน และ  $t$  คือ เวลา เพื่อประมาณค่าในความร้อนที่ได้รับผลกระทบ

การเกิดความร้อนในระหว่างการเสียดทาน จะทำให้เกิดการเสียบแบบพลาสติก (Plastic deformation) บริเวณรอยต่อ ซึ่งสามารถคำนวณได้จากสมการการกระจายตัวของความร้อน (Heat flux) ประมาณที่ได้รับได้ดังนี้ ดังสมการ (2)

$$q = \frac{\eta \tau \sigma r^2}{R} + (1 + \eta) \tau \sigma R \quad (2)$$

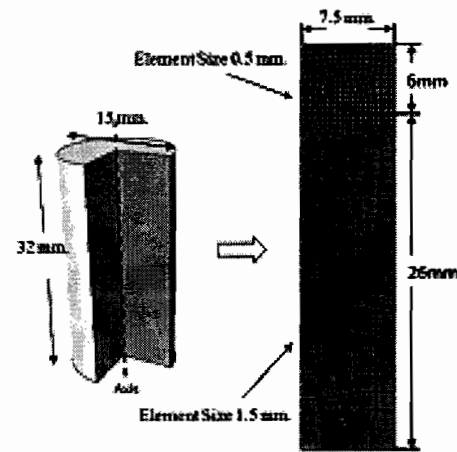
จากสมการ 4 ดัง ที่สึกภาวะคงที่อุณหภูมิ พื้นที่ที่มีตัวแปร  $\eta$  คือ ค่าประวัติที่มีความสัมพันธ์กับ การกระจายตัวของแรงดันภัยภัยที่มีตัวแปร  $\tau$  คือ ความต้านทาน  $\tau$  คือ ความถ่วง  $r$  คือ ระยะทาง ของความร้อนที่ต้องการ  $R$  คือ ห้องเชิง ชั้นงาน

#### 3.2 การสร้างแบบจำลอง

แบบจำลอง FEA ที่ใช้ในการศึกษาจะใช้ของตานที่ก่อตนของชิ้นงานจริง คือ มีความยาว 80 mm พื้นที่ที่มีตัวแปร 15 mm เพื่อใช้ที่รูปทรงของแบบจำลอง FEA ที่เหมาะสมและเพื่อลดจำนวนของเอกสารที่ ต้องใช้เวลาในการดำเนินงานของคอมพิวเตอร์ จึงทำการลดความยานของชิ้นงานลงกว่าครึ่งหนึ่ง ความยาวเดิม โดยลดความยาวลงให้เหลือ 32 mm และกว้างครึ่งหนึ่งของความกว้างเดิม คือ 7.5 mm ตัวบันทึกความร้อนที่ติดต่ออยู่บนผิวของชิ้นงาน ซึ่งไม่ส่งผลกระทบต่อการดำเนินงานใหญ่ ในแบบจำลอง เพราะส่วนที่ได้ความสนใจจะได้ ความสำคัญ คือ อุคติที่ทำรับน้ำที่อุณหภูมิความการทดลอง คือ ที่ระดับ 3, 6 และ 9 mm เพราะจะน้ำที่ระดับที่ต้องการจะไม่ใช่ระดับที่ต้องการศึกษา

แบบจำลอง FEA ที่สร้างขึ้นจะได้ผลิตเมนต์ ตัวยมหุ้นบาง (Shell element) ชนิด 2D Axisymmetric [11] แบบ CGAX4HT: A4-node วิธีทำการเมะ ชิ้นงานออกเป็นสองช่วง คือ ช่วงที่ความร้อนมีอิทธิพลมาก วิธีจะประมวล 0-6 mm จากน้ำที่สึกดัง จะได้ เอกสารที่จะอธิบายเพื่อความแม่นยำของตัวอย่าง สำน ช่วงที่ความร้อนมีอิทธิพลน้อย คือ ที่ระดับประมวล 6 mm เมื่อถูกนำไป จะได้ผลิตเมนต์ที่ทำงานดัง เพื่อ ประหนึ้นเวลาในการดำเนินงาน ทั้งนี้ สำน ที่เอกสารที่มีความแม่นยำ 0.5 mm สำนเอกสารที่มี ความแม่นยำ 0.2 mm รูปที่ 2 และการ กำหนดเอกสารที่ได้แบบจำลอง FEA

ENGINEERING JOURNAL, 2015; 4(2):



รูปที่ 2 การกำหนดค่าอิเล็กทรอนิกส์เพื่อแบบจำลอง FEA

ทั้งนี้จะสังเกตว่าถ้ากำหนดค่าอิเล็กทรอนิกส์ของชิ้นงานนี้จะต้องมีความเรียบและเส้นผ่านศูนย์กลางที่ต้องการให้มีขนาดเท่ากัน ซึ่งเกิดจากการเปลี่ยนแปลงขนาดของชิ้นงานโดยอิเล็กทรอนิกส์ ทำให้เกิดการไม่แนบกันในบางอิเล็กทรอนิกส์

หลังจากที่สร้างแบบจำลอง FEA ของหัวตอกชิ้นงานแล้ว จะถูกนำมารีเฟรชใหม่เพื่อตรวจสอบ ในรูปที่ 3 แล้วทำการประมวลผลเพื่อประเมินค่าแรงดึงดูด โดยแบบจำลอง FEA มีการกำหนดค่าอิเล็กทรอนิกส์ดังนี้

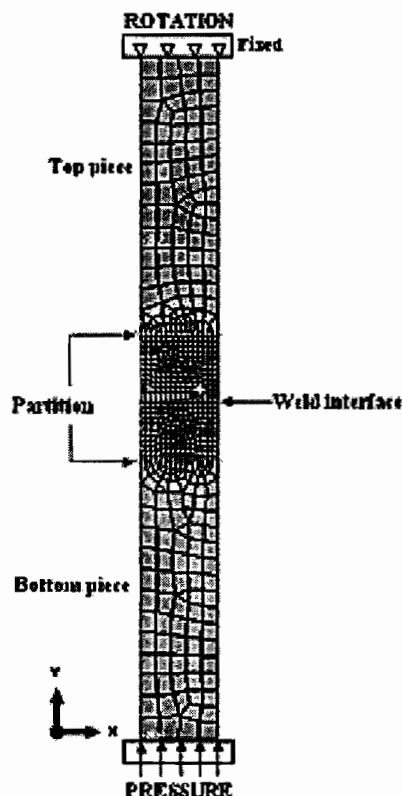
(1.) ชิ้นงานด้านบน (Top piece): กำหนดให้ขอบด้านบนเป็นฟลีฟรีจากเคลื่อนไหวในแนวแกน X และ Y fix (Fixed) และกำหนดให้ชิ้นงานหมุนรอบแกน Y ด้วยความเร็วคงที่กำหนด

(2.) ชิ้นงานด้านล่าง (Bottom piece): กำหนดให้รับแรงดัน (Pressure) ที่ขอบด้าน

ล่างๆ และเหลืออนที่ใช้งานสำหรับคำนวณภายใน  
Y ด้วยความเร็วคงที่

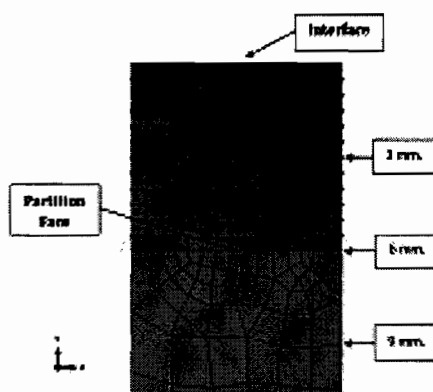
(3.) ที่วิ่งส่วนตัวระหว่างชิ้นส่วนและชิ้นงาน  
กำหนดให้มีสัมภาระติดตั้งเดียวกันสำหรับที่ยันแม่ป่อง  
ไปตามอุบัติภัยของแม่ป่องชัดเจนในตารางที่ 2

(4.) ความร้อนที่เกิดขึ้นที่ผิวน้ำมันสัก กำหนดใน  
รูปไฟล์ความร้อน (Heat flux) ซึ่งจะเปลี่ยนแปลงไป  
ตามอุบัติภัยที่เปลี่ยนแปลงไป เช่น กัน

รูปที่ 3 การกำหนดค่าอิเล็กทรอนิกส์ของชิ้นงาน  
(Boundary Condition, BC)

ENGINEERING JOURNAL 2015; 43(2):

สำหรับการนับที่ก่อผลลัพธ์ จำกแบบจำลอง FEA นั้น จะกำหนดให้นับที่กึ่งผลตัวโนด (Node) ซึ่งอยู่บริเวณขอบของชิ้นงาน ตามระยะห่างที่กำหนดและจะมีอุณหภูมิ ดัง ห่างจากหน้าตื้นผิวเป็นระยะ 3, 6 และ 9 mm ดังแสดงในรูปที่ 4



รูปที่ 4 การกำหนดอุดมับบีกอุณหภูมิในแบบจำลอง FEA

สำหรับการนับที่ก่อผลในสเกลบันน์ Selv H และ กะบ [15] ให้ทำการสร้างแบบจำลองการเผื่องเมือง หานะหัวใจ Mild Steel-Al6061-Aluminum ซึ่งมีอุณหภูมิ Al6061 จะอยู่ตรงกลาง ผลพบว่า การนับที่ก่อผลที่มีอุณหภูมิที่ให้บนชั้นล่างสามารถทำได้ และให้ผลที่อยู่บริเวณขอบชิ้นงานมีอุณหภูมิสูงกว่าในเขตที่อยู่บริเวณด้านใน ถึงก่อการซึ้งพันที่เมืองหาน

### 3.3 คุณสมบัติของวัสดุ

จากผลการวิเคราะห์ส่วนประกอบทางเคมีโดย เครื่อง Spectrometer พบว่า รังสีที่ใช้ทดสอบเรื่อง เป็นแม่สัการ์บอนเพาเดอร์ที่มีธาตุคาร์บอนเพียงๆ 0.12% ลักษณะในตารางที่ 1 ซึ่งมีความซึ้งพอเพียงกับ งานวิจัยของ Li และกะบ [16] ทั้ง Kimura และกะบ [17] ที่ได้สร้างแบบจำลองและคำนวณอุณหภูมิจากการเผื่องเมืองหานโดยใช้แม่สัการ์บอนเพาเดอร์ โดยใช้ค่า สัมประสิทธิ์เมืองเมืองหาน (Friction Coefficient) และค่าไฟฟ้าแรงดัน (Thermal properties) โดยมีค่าการนำความร้อน และ (Thermal conductivity) ค่าความร้อนจ้าหาด (Specific heat) ไม่แตกต่างไปในตารางที่ 3

ตารางที่ 1 ส่วนประกอบทางเคมีของเหล็ก (wt%)

Composition	C	Si	Mn	P	S	Cr	Mo	Ni	Al	Cu
Low carbon Steel	0.12	0.24	0.31	0.01	0.01	0.32	0.004	0.037	0.015	0.049

ตารางที่ 2 สัมประสิทธิ์แรงเมืองเมืองหานที่ใช้ในแบบจำลอง FEA

Temperature °C	20	200	400	600	800	1,000	1,200
Friciton Coefficient	0.4	0.577	0.577	0.577	0.4	0.2	0.1

ตารางที่ 3 คุณสมบัติทางความร้อนของแม่สัการ์บอนเพาเดอร์

Temperature °C	27	100	200	400	600	800	1000	1200
Thermal conductivity (W/mK)	51.6	51.1	49.0	42.7	33.6	26.0	5	0.6
Specific heat (J/kgK)	473	486	520	599	749	930	644	661

ENGINEERING JOURNAL, 2015; 42(2):

### 3.4 ฝึกหัดการทดสอบ

ผู้ฝึกหัดการทดสอบนี้ต้องฝึกหัดที่เป็นศักยภาพ และฝึกหัดที่เป็นพัฒนาที่ โดยฝึกหัดที่เป็นศักยภาพ ได้แก่ แรงดันเสียดทาน (Friction pressure) มีขนาด 20, 30 และ 40 bar เวลาเสียดทาน (Friction time) มีขนาด 15, 18 และ 21 วินาที ส่วนฝึกหัดที่เป็นพัฒนา ได้แก่ แรงดันอัปเซ็ต (Upset pressure) เวลาอัปเซ็ต (Upset time) และ ความเร็วรอบ (Speed) ค่าทั้งหมดนี้จะเป็นไปที่เป็นศักยภาพนี้ จะเป็นส่วนที่ใช้ในการทดสอบที่ต้องการ ดูในหน้าผู้ฝึกหัดที่ใช้แบบจำลอง FEA เป็นผู้ฝึกหัด ได้ยกเว้นการทดสอบ ดังแสดงไว้ในตารางที่ 4

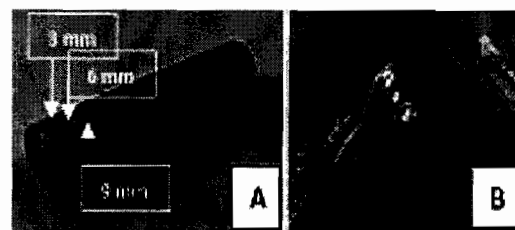
ตารางที่ 4 ฝึกหัดการทดสอบและแบบจำลอง FEA

Exp	Friction Pressure (bar)	Friction Time (sec)	Upset Pressure (bar)	Upset Time (sec)	Speed (rpm)
1	20	15	60	5	1,300
2	30	18	60	5	1,300
3	40	21	60	5	1,300

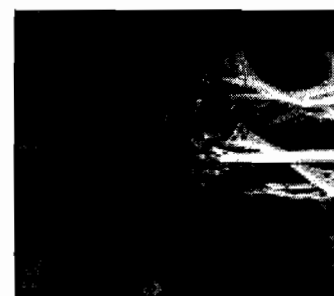
### 3.5 การติดอุณหภูมิ

ในการศึกษานี้ได้ทำการติดอุณหภูมิจากทำการทดสอบเพื่อเปรียบเทียบกับแบบจำลอง FEA โดยในส่วนของการทดสอบนั้น ทำการติดอุณหภูมิโดยการเจาะชิ้นงานให้ลึกประมาณ 3 mm หัวจaggerที่นำมาใช้ เป็นระยะ 3, 6 และ 9 mm ตามเป็น 3 จุด และเจาะเป็นแนวตรงกันจำนวน 3 แนว ห่างกันหนึ่งเป็น 9 จุด เพื่อทำการติดอุณหภูมิ สำหรับในรูปที่ 5A จากนั้นเรียงลำดับอุณหภูมิ (เกรดบีบบีบี ชนิด K) ตามรูปที่ทำการเจาะ ซึ่งชิ้นงานที่ติดตั้งอยู่ติดอุณหภูมิ จะเป็นชิ้นงานที่ไม่ได้บุน โดยจะทำการทดสอบว่า 3 ครั้งต่อหนึ่งผู้ฝึกหัดสามารถติดอุณหภูมิ ทำการบันทึกผลโดยเครื่องบันทึกอุณหภูมิ (Data logger)

สักษณะการติดตั้งอยู่ติดอุณหภูมิกับระบบ ที่ทำการติด แสดงในรูปที่ 5B และสักษณะของชิ้นงาน เมื่อเสร็จสิ้นกระบวนการติดตั้ง แสดงในรูปที่ 6



รูปที่ 5 สักษณะการติดตั้งอยู่ติดตั้งอยู่ติดอุณหภูมิ

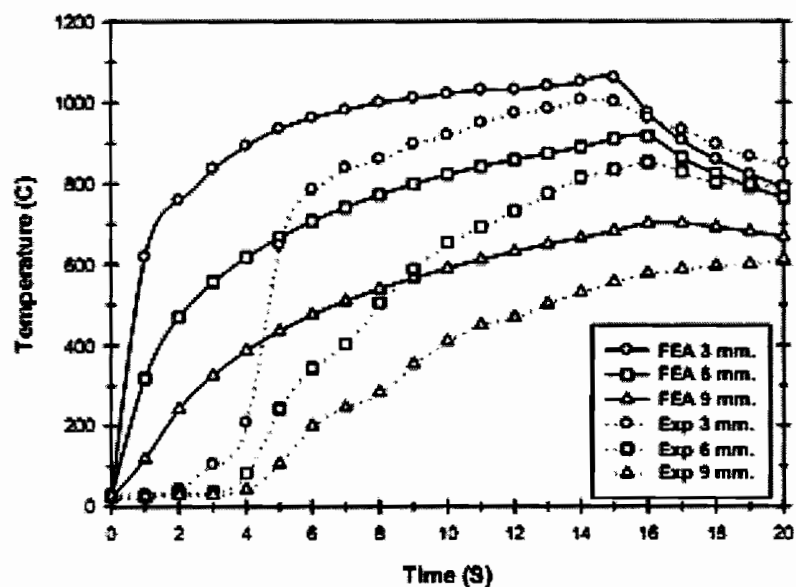


รูปที่ 6 สักษณะของชิ้นงานเมื่อเสร็จสิ้นกระบวนการติดตั้ง

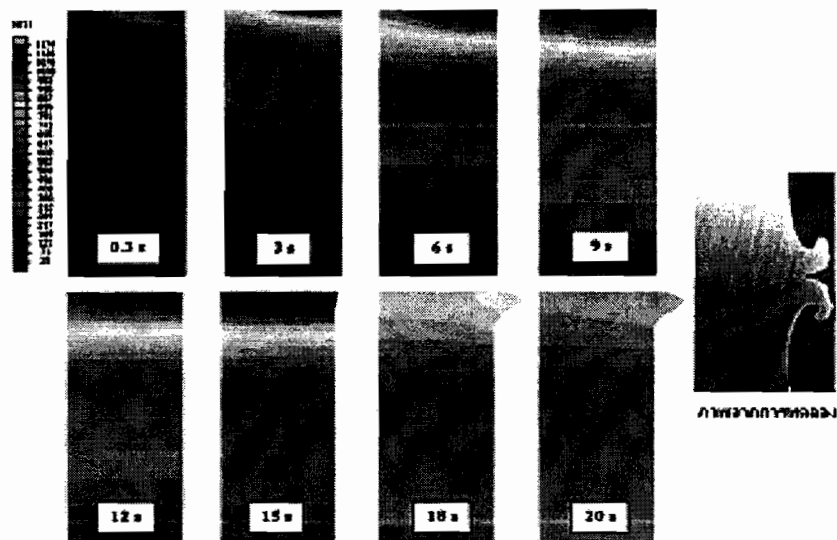
### 4. ผลการวิจัยและอภิปราย

การกระเจรษาด้วยของอุณหภูมิที่ได้จากการทดสอบ FEA และการทดสอบ จะได้รับอิทธิพล ภายใต้ผู้ฝึกหัดที่จะดำเนินการ ซึ่งได้แก่ แรงดันเสียดทาน (Friction pressure) เวลาเสียดทาน (Friction time) และอัปเซ็ต (Upset pressure) เวลาอัปเซ็ต (Upset time) และความเร็วรอบ (Speed) ซึ่งเมื่อผู้ฝึกหัด ออกเป็น 3 จุด ตามรายละเอียดในตารางที่ 4

ENGINEERING JOURNAL, 2015; 42(2):

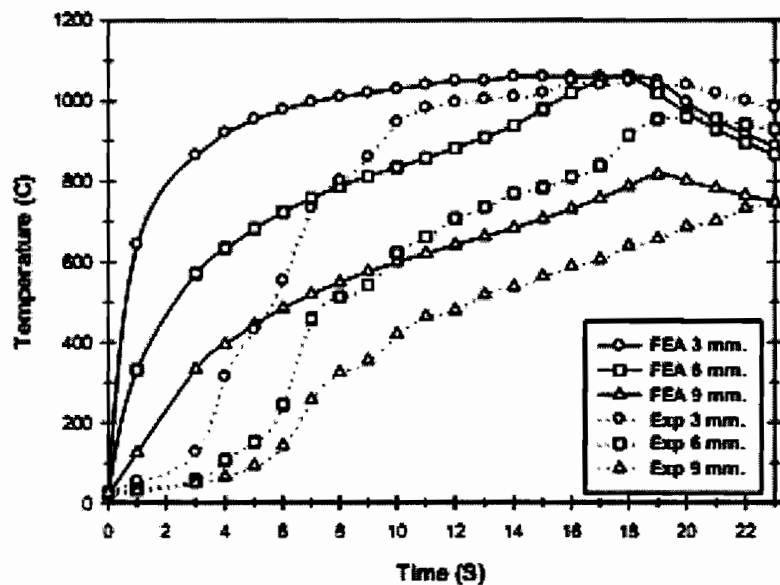


รูปที่ 7 ภาพเทียบผลการกระจายตัวของอุณหภูมิระหว่างแบบจำลอง FEA กับการทดลองในเฟอนไซด์ที่ 1

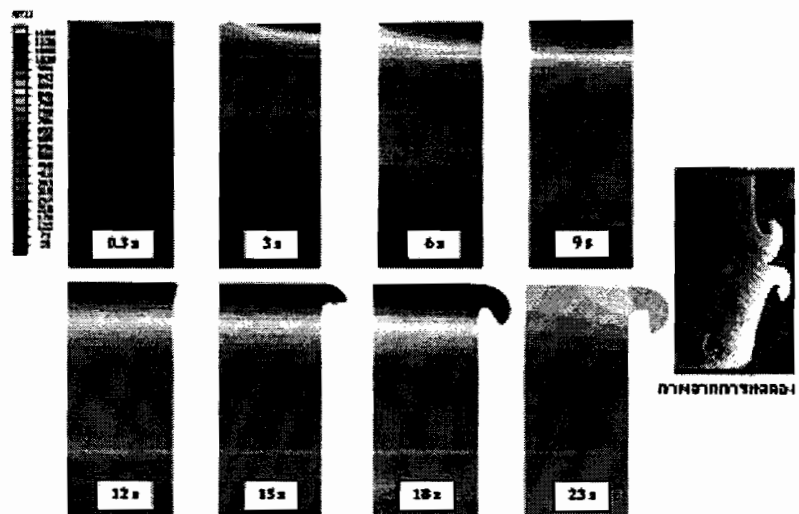


รูปที่ 8 การกระจายตัวของอุณหภูมิในแบบจำลอง FEA ของเฟอนไซด์ที่ 1

ENGINEERING JOURNAL 2015; 43(2):

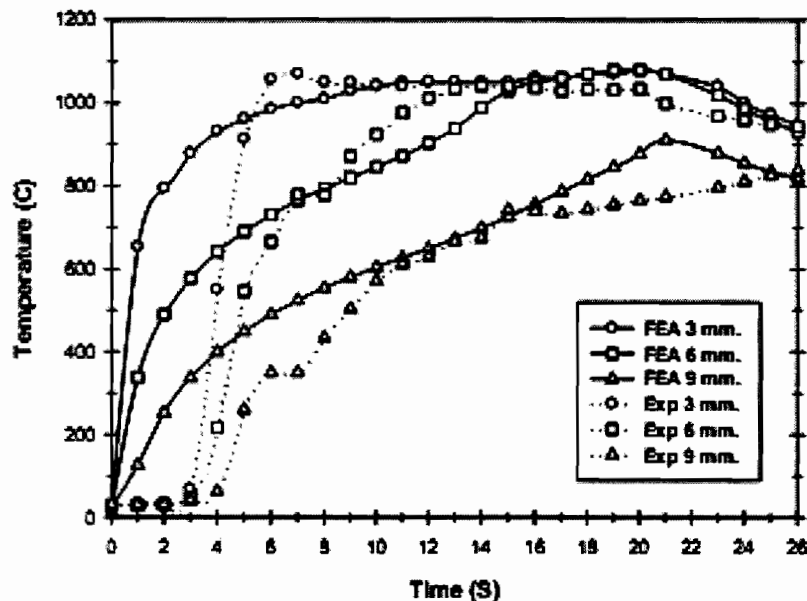


รูปที่ 9 กราฟเทียบผลการกระจายศักยภาพอุณหภูมิระหว่างแบบจำลอง FEA กับการทดลองในสื่อน้ำทุกที่ 2

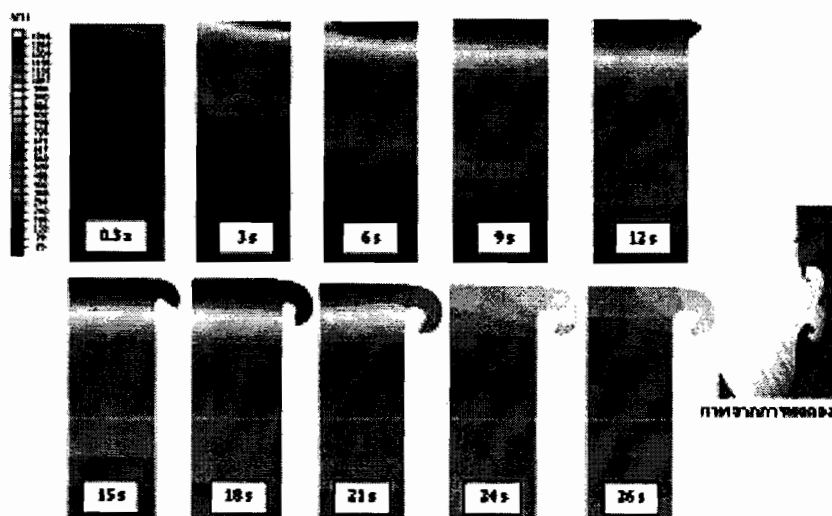


รูปที่ 10 การกระจายศักยภาพอุณหภูมิในแบบจำลอง FEA ของสื่อน้ำทุกที่ 2

ENGINEERING JOURNAL, 2015; 42(2):



รูปที่ 11 ผลการตีบยนผลการกระจายศักย์ของอุณหภูมิระหว่างแบบจำลอง FEA กับการทดลองในเงื่อนไขที่ 3



รูปที่ 12 การกระจายศักย์ของอุณหภูมิในแบบจำลอง FEA ของเงื่อนไขที่ 3

จากกราฟในรูปที่ 7, 9 และ 11 เมื่อพิจารณาเพื่อบอกว่า ระหว่างการทดสอบและแบบจำลอง FEA พนบ่า ในช่วงแรกของกระบวนการ ก.(0-5 วินาที) อุณหภูมิที่ได้จากการทดสอบและแบบจำลอง FEA นั้น มีผลต่อร้าน้ำที่จะแยกตัวกันเพื่อรวมตัว เมื่อจากในกระบวนการทดสอบและแบบจำลองดังนี้ ให้เห็นในการหักด้านน้ำที่จะแยกตัวกันเพื่อรวมตัวใน การหักด้านน้ำที่จะแยกตัวกันเพื่อรวมตัว ที่วิ่งผ่านตัว ดังนั้น ในช่วงแรกอุณหภูมิที่ได้จากการทดสอบ จึงมีค่าต่ำกว่าอุณหภูมิที่ได้จากการจำลอง FEA อย่างไรก็ตามทั้งจากผ่านช่วงและการของความเรื้อน ไม่ต่อ จะสังเกตได้ว่าอุณหภูมิที่ได้จากการทดสอบ ต่างจากอุณหภูมิที่ได้จากการจำลอง FEA โดยเฉพาะในช่วงท้ายของการเรือน โดยเฉพาะช่วงท้าย ในรูปที่ 3 ซึ่งเป็นรูปที่เพิ่มศักยภาพ แรงดันเสียงมากกว่ารูปที่ 1 และรูปที่ 2

นอกจากนี้ หากนำค่าอุณหภูมิสูงสุดที่ได้จากการทดสอบและแบบจำลอง FEA มาคำนวณหาค่าความแยกตัวของไนโตรเจนเป็นปริมาณรูบีน์ ระหว่าง ไม่ร้อนไปสูตรที่ 1 ความแยกตัวจะถูกอยู่ที่ 5.6%, 7.3% และ 14% ที่ระยะ 3, 6 และ 9 mm ตามลำดับ ไม่ร้อนไปสูตรที่ 2 ความแยกตัวจะถูกอยู่ที่ 1.6%, 9.3% และ 9.4% ที่ระยะ 3, 6 และ 9 mm ตามลำดับ ไม่ร้อนไปสูตรที่ 3 ความแยกตัวจะถูกอยู่ที่ 0.3%, 0.4% และ 9% ที่ระยะ 3, 6 และ 9 mm ตามลำดับ ซึ่งจาก ข้อมูลจะเห็นว่า อุณหภูมิสูงสุดที่ได้จากการทดสอบ และแบบจำลอง FEA มีความแยกตัวกันมากที่สุด 14%

จากรูปที่ 8, 10 และ 12 จะเห็นว่า เมื่อเริ่มงาน ที่มีการเสียดทาน แหล่งความร้อนจะเดินเข้าที่ร่อง ของรีบ้านงานก่อนแล้วจึงกระชากหัวเข้าสู่ภายในหลัง และกระชากหัวออกไปตามความยานของร่องร้านเมื่อ เหตุการณ์นั้น ให้อุณหภูมิสูงสุดจะเกิดทันที

ที่นี่ที่น้ำสักเสียดทาน และลักษณะของร่องเรียกว่าเมื่อ ชั้นงานอุณหภูมิ ให้พบว่า ไม่ร้อนไปสูตรที่ 1 อุณหภูมิ อุณหภูมิที่ 1,174 °C ที่เวลา 15 วินาที ไม่ร้อนไปสูตรที่ 2 อุณหภูมิสูงสุดอยู่ที่ 1,184 °C ที่เวลา 18 วินาที ไม่ร้อนไปสูตรที่ 3 อุณหภูมิสูงสุดอยู่ที่ 1,316 °C ที่เวลา 18 – 21 วินาที และเมื่อพิจารณาจากการกระชากหัว ของอุณหภูมิ จะเห็นว่า ในกรณีไม่ร้อนไปสูตรที่ 3 นั้นเกิด การกระชากหัวของอุณหภูมิที่ไม่สูงกว่า ร่องผล 1% หน้าสัมผัสร่องชั้นงานเมื่อการเสียดทานมากขึ้น ทำให้ ลักษณะเสียงเสียงเสียงทางน้ำที่จะลดลง และเกิดความร้อน มากขึ้น อาจทำให้แรงดันอัตโนมัติสูงสุดได้เกิดการไหล ของน้ำอิฐและมากขึ้น จึงเกิดการสูงต่อกำลังร้อนไป มากขึ้นจากการไหลของน้ำโดยธรรมชาติ

## 5. สรุป

งานวิจัยนี้เป็นการศึกษาการกระชากหัวของ อุณหภูมิในเหล็กกล้าบอนด์ (Low carbon steel) ที่ เริ่มน้ำที่เสียดทาน ทำการศึกษาการกระชาก แบบจำลอง FEA และเพิ่มผลลัพธ์การทดสอบ ไม่ร้อนไปสูตร เป็นเพื่อให้ได้รับอุณหภูมิที่ต้องการ ความเร็วของการกระชากเป็น 3 ชุด โดยเพิ่มอุณหภูมิความ แรงดันตัวกันที่แรงดันเสียดทาน (Friction pressure) และเวลาเสียดทาน (Friction time) ที่มีการเพิ่มร่อง ความลึกดับ ทั้งนี้ก็เพื่อให้ผลแบบจำลอง FEA และการ ทดสอบมีแนวโน้มที่ใกล้เคียงกันและมีพิเศษที่ ลดผลลัพธ์ลง

ผลการศึกษา พนบ่า แบบจำลอง FEA สามารถคำนวณผลการกระชากหัวของอุณหภูมิได้ ใกล้เคียงกับผลการทดสอบในระดับที่ยอมรับได้ และ ในช่วงแรกหน้า ผลแบบจำลอง FEA มีความ แยกตัวกันกับผลการทดสอบอยู่เพื่อรวมตัว เมื่อจาก ในการทดสอบนั้นเครื่องเรือนต้องได้ผลลัพธ์ในการเพิ่ม

ENGINEERING JOURNAL, 2012; 33(1):

การนําใช้ข้อมูลและแรงดัน อย่างไรก็ตาม เมื่อเดือน  
ธันวาคมปีก่อนทางภาครัฐได้เดินที่แม่ข่าย หน่วยงาน  
และการทดสอบและแบบจำลอง FEA ให้ห้าอุบลฯ ที่  
ไม่ต้องลงทุนมาก และมีความใกล้เคียงกับมากยิ่งขึ้น  
เมื่อแรงดันเดียวกันและเวลาเดียวกันเพิ่มขึ้น โดย  
การเพิ่มแรงดันเดียวกันจะสามารถนําผลการซึมเข้าสู่  
ความร้อนได้ถูกขึ้น และการเพิ่มนําเวลาเดียวกันเป็น  
การเพิ่มนําเวลาให้ความร้อนจากการซึมเข้าสู่ห้องเผาตัว  
ออกไปลดความความร้อนของชิ้นงานปืนหักและนานขึ้น

## 6. กิตติกรรมประการ

ขอขอบคุณ สำนักงานพัฒนาธุรกรรมการวิจัย  
แห่งชาติ ที่ได้สนับสนุนภารกิจชั้นนี้ และขอขอบคุณ  
ภาควิชาวิศวกรรมเครื่องกล คณะวิศวกรรมศาสตร์  
มหาวิทยาลัยอุบลราชธานี ที่ได้สนับสนุนทุนวิจัย  
และอุปกรณ์การทดลอง รวมถึงคอมพิวเตอร์ทุกท่าน ที่  
ให้คำปรึกษาและคำแนะนำในการวิจัยด้วย

## 7. เอกสารอ้างอิง

- [1] Arayagkun S, Boottarawong A, Thinvongpituk C. A study of properties of round steel rod joints welded by friction welding. Journal of Ubon Ratchathani University. 2009; 11(1) January-April. (In Thai)
- [2] D'Alvise L, Massoni E, Wallace S J. Finite element modelling of the inertia friction welding process between dissimilar materials. Journal of Materials Processing Technology. 2002; 125-126, 387-391.
- [3] Kalpakjian S, Steven R. Schmid. Solid - state welding processes. Manufacturing Engineering and Technology. 2006.
- [4] Richard T, Robert R. A Plastic model is designed to theoretically describe the movement of interface material during the forging phase of friction welding. Welding Research Supplement March 1971.
- [5] Sketchley P D, Threadgill P L, Wright I G. Rotary friction welding of an Fe3Al based ODS alloy. Presented at 5<sup>th</sup> International Conference on Structural and Functional Intermetallics, Vancouver, Canada, 17-19 July 2000 and to be published in Intermetallics Journal.
- [6] Arayagkun S, Thinvongpituk C, Payom C. Micro-structure characteristic of the low carbon steel jointed by friction welding. The 23<sup>rd</sup> Conference of the Mechanical Engineering Network of Thailand; 2009 November 4-7; Chiang Mai. Chiang Mai University; 2009. (In Thai)
- [7] Chuppava C, Thinvongpituk C. The influence of friction time and rotational speed on the strength of AISI 1015 steel rods welded by friction welding. Journal of Science and Technology Ubonratchathani University. 2011; 13(1): 73-81. (In Thai)
- [8] Chuppava C, Thinvongpituk C. Influence of friction time on the strength of AISI 1015 steel rods welded by friction welding. UBU Engineering Journal. 2010; 3(2): 17-21. (In Thai)
- [9] Sluzalec, A. Thermal effect in friction welding. Journal of Mechanical Science. 1990; Vol.32, No.6, pp 467-478.
- [10] Sahin M. Simulation of friction welding using a developed computer program. Journal of Materials Processing Technology. 2004; 153-154, 1011-1018.
- [11] Li W, Shi S, Wang F, Zhang Z, Ma T, Li J. Numerical simulation of friction welding

ENGINEERING JOURNAL. 2012; 39(1):

- process based on abaqus environment. Journal of Engineering and Technology Review. 2012; 5(3): 10-19.
- [12] Rud-di L, Jing-tong L, Jing-tao X, Fu-sheng Z, Ke Z, Zhong J C. Friction heat production and atom diffusion behaviors during Mg-Ti rotating friction welding process. Transactions of Nonferrous Metals Society of China. 2012; 22, 2665-2671.
- [13] Khany S E, Kashan K N, Wahed M A. Study of transient temperature distribution in a friction welding process and its effects on its joints. International Journal of Computational Engineering Research. 2012; Vol.2, Issue.5, ISSN 2250-3005.
- [14] Li W, Wang F. Modeling of continuous drive friction welding of mild steel. Materials Science and Engineering A. 2011; 528, 5921-5926.
- [15] Sali H, Awang M, Izani A, Ismail M D., Rachman E, Ahmad A. Evaluation of Properties and FEM Model of the Friction Welded Mild Steel-Al6061-Alumina. Materials Research. 2013; 16(2): 453-467.
- [16] Li W Y, Shi S X, Wang F F, Ma T J, Li J L, Gao D L, Vairis A. Heat reflux in flash and its effect on joint temperature history during linear friction welding of steel. International Journal of Thermal Sciences 67 (2013) 192-199.
- [17] Kimura M, Incue H, Kasaka M, Kaiju K, Fuji A. Analysis Method of Friction Torque and Weld Interface Temperature During Friction Process of Steel Friction Welding.
- Journal of Solid Mechanics and Materials Engineering. 2010; Vol.4, No.3.

## ประวัติผู้วิจัย

ชื่อ	นาย ปกรณ์ อุ่นไชสง
เกิดวันที่	15 มิถุนายน พ.ศ. 2530
ภูมิลำเนา	บ้านเลขที่ 78 หมู่ที่ 5 บ้านช่อง ตำบลนาแก อำเภอนาแก จังหวัดนครพนม 48130
ประวัติการศึกษา	พ.ศ. 2542-2548 นักเรียนศึกษาตอนต้นและตอนปลาย โรงเรียนนาแกพิทยาคม อำเภอนาแก จังหวัดนครพนม พ.ศ. 2549-2552 วิศวกรรมศาสตรบัณฑิต สาขาวิชาวิศวกรรมเครื่องกล คณะวิศวกรรมศาสตร์ มหาวิทยาลัยอุบลราชธานี พ.ศ. 2553-2557 วิศวกรรมศาสตรมหาบัณฑิต สาขาวิชาวิศวกรรมเครื่องกล คณะวิศวกรรมศาสตร์ มหาวิทยาลัยอุบลราชธานี

